

# КВАНТОВАЯ МЕХАНИКА, О КОТОРОЙ МЕЧТАЛ ЭЙНШТЕЙН

Геннадий Шипов

Академик РАН email: waprdrive09@gmail.com

## Введение

Прошло 45 лет с тех пор, как я опубликовал монографию [1], в которой впервые были получены динамические уравнения для полей инерции и было показано, что основное уравнение квантовой теории - уравнение Шредингера

$$i\hbar \frac{\partial}{\partial t} \psi + \frac{\hbar^2}{2m} \nabla^2 \psi - U\psi = 0, \quad (\text{в. 1})$$

описывает простейшую динамику поля инерции, связанного с квантовой частицей. При этом плотность частицы с массой  $m$  или плотность заряда с зарядом  $e$ , записывается в виде

$$\rho = m \psi^* \psi \text{ или } \rho = e \psi^* \psi, \quad (\text{в. 2})$$

где комплексная волновая функция  $\psi$  является нормированным на единицу полем инерции [1]. Важно отметить, что, в общем случае, в уравнении (в. 1) вместо постоянной Планка  $\hbar$  стоит произвольная константа  $C$  [2], что позволило использовать уравнение Шредингера для описания наблюдаемых макроквантовых явлений [3].

Начиная с 1979 г., эти революционные результаты опубликованы в бти монографиях автора, из которых 5 монографий изданы на русском языке [1, 4-7] и одна монография [8] переведена на английский язык. Только на доступном сайте Академии Тринитаризма опубликовано 29 статей [9-31], сделаны многочисленные научные доклады на эту тему на семинарах МГУ, МВТУ, РУДН, ИОФ АН и в других российских организациях, связанных с наукой.

Как известно, общепризнанная квантовая теория около сотни лет не воспринимается как окончательная теория ведущими физиками почти сразу после ее появления. Почему? Ответ на этот вопрос дают ее основоположники - М. Планк, Л. Де Бройль, А. Эйнштейн, Г. Лоренц, П. Ланжевен (он называл отказ от образного мышления в квантовой теории «интеллектуальным развратом»), Э. Шредингер, П. Дирак и многие другие известные физики. Приведем некоторые высказывания о квантовой теории Нобелевских лауреатов по физике.

*«Квантовая физика срочно нуждается в новых образах и идеях, которые могут возникнуть только при глубоком пересмотре принципов, лежащих в ее основе».*

Луи де Бройль

*«Квантовая механика, это полная загадок и парадоксов дисциплина, которую мы не понимаем до конца, но умеем применять».*

М. Гелл-Манн

Сам создатель квантовой электродинамики П. Дирак в работе [32] пишет об ее уравнениях (уравнениях Дирака):

*«Правильный вывод состоит в том, что основные уравнения неверны...»*

Точка зрения Эйнштейна сводилась к тому, что квантовая механика в современном ее состоянии не является фундаментальной теорией, поскольку в ней потеряно образное мышление, так необходимое для понимания природы и, кроме того, она не согласуется с общим принципом относительности. А. Эйнштейн приходит к выводу, что квантовая механика *не может служить отправной точкой для дальнейшего развития физики*. В одной из последних работ, которую необходимо рассматривать как его «научное завещание», А. Эйнштейн писал:

*«Еще одно последнее замечание: мои усилия пополнить общую теорию относительности путем обобщения уравнений гравитации были предприняты отчасти в связи с предположением о том, что, по-видимому, разумная общая релятивистская теория поля, возможно, могла бы дать ключ к более совершенной квантовой теории [33].»*

В настоящей работе дается краткий обзор детерминированной квантовой теории, обладающей всеми физическими свойствами, о которых мечтал А. Эйнштейн.

Прежде всего, в основе новой квантовой теории используется принцип Всеобщей относительности [4, 9,17,21,26,31], который объединяет трансляционную относительность теории Эйнштейна, использующую голономные трансляционные координаты  $x, y, z, ct$ , с вращательной относительностью, использующей дополнительно б неголономных вращательных координат  $\varphi_1, \varphi_2, \varphi_3, \theta_1, \theta_2, \theta_3$  [13,15,16,18,25,27].

Далее, принцип Всеобщей относительности привел к открытию поля инерции- третьего фундаментального поля, которое дано каждому из нас в ощущениях в повседневной жизни, при этом оказалось, что детерминированная квантовая механика, о которой мечтал Эйнштейн, описывает простейшим образом динамику реального физического поля - поля инерции [1,5-8,10,20,25,27]. Все эти свойства новой квантовой теории позволяют:

- восстановить образное мышление в физике микромира, потерянное в традиционной квантовой теории;
- распространить квантовую механику на описание квантовых явлений в макромире;
- полностью отказаться в физике от понятия инерциальной системы отсчета;
- обобщить некоторые фундаментальные законы сохранения в физике, которые до сих пор не учитывают взаимодействие макроматерии с Физическим Вакуумом.

## 1. Основные понятия квантовой механики

В основе современной квантовой механики лежит понятие волны де Бройля

$$\psi = \psi_0 \exp\left\{-\frac{i}{\hbar}(p_n x^n)\right\} = \psi_0 \exp\{-i(k_n x^n)\}, \quad (1.1)$$

$$\psi^* = \psi_0 \exp\left\{\frac{i}{\hbar}(p_n x^n)\right\} = \psi_0 \exp\{i(k_n x^n)\}, \quad (1.2)$$

в которой используются найденные из эксперимента соотношения Планка-Эйнштейна

$$p_n = \hbar k_n, \quad n = 0,1,2,3 \quad \text{или} \quad E = \hbar\omega, \quad \vec{p} = \hbar \vec{k}. \quad (1.3)$$

Волновая функция (1.1) находится из решения уравнения Шредингера (в. 1), при этом плотность массивной или заряженной частицы определяется соотношениями (в. 2). Если разделить соотношения на массу  $m$  или заряд  $e$ , то мы получаем

$$W = \psi^* \psi = |\psi|^2 > 0 \quad (1.4)$$

- плотность вероятности, нормированную на единицу

$$\int W dV = \int \psi^* \psi dV = 1. \quad (1.5)$$

В отличие, от соотношений (в. 2), плотность вероятности (1.4) не является физической величиной, измеряемой в эксперименте. Реальные измерительные приборы работают с плотностями (в. 2), а не с плотностью вероятности (1.4). Например, классическое определение координаты центра масс протяженного объекта массы  $m$  с плотностью  $\rho$  записывается в виде

$$\bar{x}^i = \frac{\int_{-\infty}^{\infty} \rho x^i dV}{\int_{-\infty}^{\infty} \rho dV} = \frac{1}{m} \int_{-\infty}^{\infty} \rho x^i dV = \int_{-\infty}^{\infty} \psi^* \psi x^i dV = \int_{-\infty}^{\infty} W x^i dV, \quad (1.6)$$

при этом, для описания протяженного объекта с плотностью  $\rho = m \psi^* \psi$  (или  $\rho = e \psi^* \psi$ ) оказалось удобным использовать плотность вероятности  $W$ , рассчитывая классические измеряемые величины, такие как координата центра масс протяженного объекта  $x_c^i$  и его импульс  $p_c^i = m u_c^i$  в соответствии с формулами

$$x_c^i = \bar{x}^i = \int_{-\infty}^{\infty} W(x^i) x^i dV = \int_{-\infty}^{\infty} \psi^* \psi x^i dV, \quad (1.7)$$

$$p_c^i = \bar{p}^i = \int_{-\infty}^{\infty} W(x^i) p^i dV = \int_{-\infty}^{\infty} \psi^* \psi p^i dV. \quad (1.8)$$

Из формул (1.7), (1.8) следует, квантовая механика описывает не точечные объекты, а объекты, занимающие некий конечный объем  $\Delta V = \Delta x \Delta y \Delta z$  с малой массой

$$\Delta m = \rho \Delta V. \quad (1.9)$$

Поэтому в квантовой механике возникли дискуссии, в которых квантовый объект интерпретировался как ансамбль «точечных» частиц. На самом деле, это одна протяженная частица (полевой клубок поля  $\psi$ ), меняющая свою форму, но оставаясь при этом единым целым подобно капле жидкости в гидродинамике.

### 1.1 Корпускулярно-волновой дуализм и принцип неопределенности Гейзенберга

Одним из основных уравнений физики, которое описывает движение сплошной среды с плотностью  $\rho$ , является уравнение непрерывности

$$(\rho u^i) = 0, \quad i = 0, 1, 2, 3, \quad (1.10)$$

которое в нерелятивистском приближении записывается в виде

$$\frac{\partial \rho}{\partial t} + \text{div } \vec{j} = 0, \quad \vec{j} = \rho \vec{v}, \quad (1.11)$$

где  $\vec{v}$  - скорость. Теория поля рассматривает уравнение (1.11) как закон сохранения массы  $m$  или заряда  $e$  для точечной частицы, например [34]

$$\frac{de}{dt} = \frac{d}{dt} \int \rho dV = \int \left( \frac{\partial \rho}{\partial t} + \text{div } \vec{j} \right) = 0, \quad \rho = e \delta(\vec{r}), \quad (1.12)$$

где  $\delta(\vec{r})$  — дельта функция Дирака. В квантовой механике рассматривается «точечная» частица, поэтому в ней справедливы равенства

$$\rho = m \delta(\vec{r}) = m \psi^* \psi \quad \text{и} \quad \rho = e \delta(\vec{r}) = e \psi^* \psi, \quad (1.13)$$

которые аналитически описывают дуализм волна-частица. Соотношения (1.13) следуют из представления квантовой частицы в виде волнового пакета, состоящего из волн де Бройля.

В приближении слабых полей  $\psi$ , мы можем использовать для поля  $\psi$  принцип суперпозиции и Фурье анализ. Для этого разложим поле  $\psi(\vec{r}, t)$  по плоским волнам

$$\psi(\vec{r}, t) = \int_{-\infty}^{\infty} C(\vec{k}, t) \psi_{\vec{k}}(\vec{r}, t) d^3k, \quad (1.14)$$

где

$$C(\vec{k}, t) = \int_{-\infty}^{\infty} \psi_{\vec{k}}^*(\vec{r}, t) \psi_{\vec{k}}(\vec{r}, t) dV \quad (1.15)$$

и

$$\psi_{\vec{k}}(\vec{r}, t) = N e^{i(\vec{k} \vec{r} - \omega t)}. \quad (1.16)$$

Функции  $\psi_{\vec{k}}(\vec{r}, t)$  удовлетворяют условию нормировки

$$\int_{-\infty}^{\infty} \psi_{\vec{k}}^*(\vec{r}, t) \psi_{\vec{k}'}(\vec{r}, t) dV = \delta(\vec{k} - \vec{k}'), \quad (1.17)$$

что позволяет определить множитель  $N$  в (1.16) как

$$N = (2\pi)^{-3/2}. \quad (1.18)$$

Соотношение (1.14) представляет поле  $\psi(\vec{r}, t)$  как бесконечный набор плоских волн. В реальности мы имеем дело с конечной группой волн (волновым пакетом), для которого поле  $\psi(\vec{r}, t)$  представляется в виде

$$\psi(\vec{r}, t) = \int_{\vec{k}_0 - \Delta \vec{k}}^{\vec{k}_0 + \Delta \vec{k}} C(\vec{k}) e^{i(\omega t - \vec{k} \vec{r})} d^3k, \quad (1.19)$$

где  $\vec{k}_0$  – волновой вектор, около которого лежат волновые вектора волн, образующих группу. Предполагая  $\Delta \vec{k}$  малым, можно разложить частоту  $\omega$  как функцию  $\vec{k}$  по степеням

$$\omega = \omega_0 + \left( \frac{d\omega}{d\vec{k}} \right)_0 (\vec{k} - \vec{k}_0) \dots$$

и проинтегрировать соотношение (1.19). В одномерном случае результат интегрирования запишется как [35]

$$\psi(x, t) = 2C(k_0) \frac{\sin \left\{ \left[ \left( \frac{d\omega}{dk} \right)_0 t - x \right] \Delta k \right\}}{\left[ \left( \frac{d\omega}{dk} \right)_0 t - x \right]} e^{i(\omega_0 t - k_0 x)}. \quad (1.20)$$

Известно следующее представление функции Дирака

$$\delta(x) = \lim_{A \rightarrow \infty} \delta(x, A) = \pi \lim_{A \rightarrow \infty} \frac{\sin^2 Ax}{\pi^2 x^2} = \pi \lim_{A \rightarrow \infty} \phi * (A, x) \phi(A, x) = \psi^*(x) \psi(x), \quad (1.21)$$

где

$$\phi(A, x) = \frac{\sin Ax}{\pi x} = \frac{1}{2\pi} \int_{-A}^A e^{ikx} dk, \quad \phi^*(A, x) = \frac{\sin Ax}{\pi x} = \frac{1}{2\pi} \int_{-A}^A e^{-ikx} dk, \quad (1.22)$$

$$\psi = \sqrt{\pi} \phi. \quad (1.23)$$

На рис. 1 представлено распределение плотности вероятности (1.21) волнового пакета,

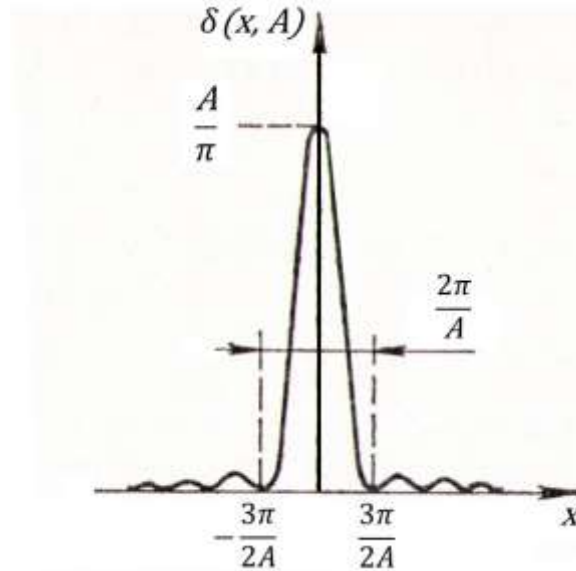


Рис.1 Квантовая частица как волновой пакет, состоящий из волн де Бройля.

Функция (1.20) достигает максимума в точке

$$x = \left( \frac{d\omega}{dk} \right)_0 t = x_c,$$

совпадающей с координатой центра масс группы волн, а, поскольку плотность частицы определена соотношением  $\rho = m\psi^*\psi$ , то и с центром масс частицы. Поэтому в нашем случае имеет место равенство

$$x_c = \bar{x} = x = \left( \frac{d\omega}{dk} \right)_0 t. \quad (1.24)$$

Скорость центра масс волнового пакета  $v$  мы находим путем дифференцирования (1.24) по времени

$$v = \frac{dx}{dt} = \left( \frac{d\omega}{dk} \right)_0. \quad (1.25)$$

Параметр  $A$  в (1.20) определяет разброс волнового вектора  $\Delta k$ , поэтому, когда  $A = \Delta k \rightarrow \infty$ , волновой пакет ведет себя как точечная частица и координата (1.24) точно определена, поскольку ее плотность описывается дельта-функцией Дирака (1.21). Наоборот,  $A = \Delta k \rightarrow 0$ , точно определен волновой вектор  $k$ . В этом предельном случае волновой пакет на рис.1 вырождается в плоскую волну с бесконечно малой амплитудой. Для волнового пакета существует закон сохранения «фазового объема»

$$\Delta x \Delta k = 1. \quad (1.26)$$

Умножая это соотношение справа и слева на постоянную Планка  $\hbar$ , получаем известное соотношение неопределенности Гейзенберга

$$\Delta x \Delta p = \hbar. \quad (1.27)$$

## 1.2 Оптико-механическая аналогия и операторное представление физических величин

Из определения волны де Бройля (1.1) и (1.2) следуют физические параметры для плоской волны и точечной частицы, а именно:

- Эйконал  $f$  для плоской волны

$$f = -k_n x^n = -\frac{i}{2} \ln \left( \frac{\psi}{\psi^*} \right); \quad (1.28)$$

- Действие  $S$  для точечной частицы

$$S = -p_n x^n = -\frac{i\hbar}{2} \ln \left( \frac{\psi}{\psi^*} \right). \quad (1.29)$$

Через скаляры  $f$  и  $S$  определяются: а) волновой вектор

$$k_n = -\frac{\partial f}{\partial x^n} = -\frac{i}{2} \frac{\partial}{\partial x^n} \left( \ln \frac{\psi}{\psi^*} \right) \quad (1.30)$$

и б) импульс частицы

$$p_n = -\frac{\partial S}{\partial x^n} = -\frac{i\hbar}{2} \frac{\partial}{\partial x^n} \left( \ln \frac{\psi}{\psi^*} \right). \quad (1.31)$$

Волновой вектор  $k_n$  характеризует распространение классической безмассовой электромагнитной волны по поверхности светового конуса, поэтому он изотропен  $k_n k^n = 0$  и его уравнение Гамильтона-Якоби запишется как

$$\eta^{ni} k_n k_i = \eta^{ni} \frac{\partial f}{\partial x^n} \frac{\partial f}{\partial x_n} = 0. \quad (1.32)$$

С другой стороны, для массивной частицы массы  $m$  классическое уравнение Гамильтона-Якоби имеет вид

$$\eta^{ni} p_n p_i = \eta^{ni} \frac{\partial S}{\partial x^n} \frac{\partial S}{\partial x_n} = m^2 c^2. \quad (1.33)$$

По структуре уравнений (1.32) и (1.33) видно, что в классической физике никакой аналогии между реальной волной и частицей не существует. При переходе к квантовому описанию такая аналогия возникает, если представить, что волновой пакет (1.14) состоит из набора частиц с бесконечно малой массой (1.9)

$$\eta^{ni} p_n p_i = \eta^{ni} \frac{\partial S}{\partial x^n} \frac{\partial S}{\partial x_n} = (\Delta m)^2 c^2, \quad (1.34)$$

при этом уравнение (1.32) можно рассматривать как предел уравнения (1.34) при  $\Delta m \rightarrow 0$

$$\lim_{\Delta m \rightarrow 0} \left( \frac{\eta^{ni} k_n k_i}{\eta^{ni} p_n p_i} \right) = \lim_{\Delta m \rightarrow 0} \left( \frac{\eta^{ni} \frac{\partial f}{\partial x^n} \frac{\partial f}{\partial x_n}}{\eta^{ni} \frac{\partial S}{\partial x^n} \frac{\partial S}{\partial x_n}} \right) = const = c^{-2}. \quad (1.34a)$$

Это соотношение сводится к следующему уравнению

$$\left(\frac{\partial S}{\partial f}\right)^2 = C^2, \quad (1.35)$$

решение которого имеет вид

$$S = Cf + c_1, \quad c_1 = const. \quad (1.36)$$

Подставляя соотношения (1.28) и (1.29) в (1.36), получим из (1.36) соотношения Планка-Эйнштейна  $p_n = \hbar k_n$ . В общем случае, «квантовая постоянная»  $C$  может принимать произвольные значения.

Учитывая (1.7), представим координату центра масс в виде

$$x^i_c = \bar{x}^i = \int_{-\infty}^{\infty} \psi^* \psi x^i dV = -\frac{i}{2} \int_{-\infty}^{\infty} \left( \psi^* \frac{\partial}{\partial k^i} \psi - \psi \frac{\partial}{\partial k^i} \psi^* \right) dV. \quad (1.37)$$

Поскольку для плоских волн справедливо равенство

$$\psi^* \frac{\partial}{\partial k^i} \psi = -\psi \frac{\partial}{\partial k^i} \psi^*,$$

то (1.37) можно записать как

$$x^i_c = \bar{x}^i = i \int_{-\infty}^{\infty} \psi^* \frac{\partial}{\partial k^i} \psi dV = \int_{-\infty}^{\infty} \psi^* \hat{x}^i \psi dV, \quad (1.38)$$

где мы ввели оператор координаты

$$\hat{x}^i = i \frac{\partial}{\partial k^i}. \quad (1.39)$$

Поступая подобным образом, находим для импульса центра масс (1.8)

$$p^i_c = \bar{p}^i = i\hbar \int_{-\infty}^{\infty} \psi^* \frac{\partial}{\partial x^i} \psi dV = \int_{-\infty}^{\infty} \psi^* \hat{p}^i \psi dV, \quad (1.40)$$

где

$$\hat{p}^i = i\hbar \frac{\partial}{\partial x^i} \quad (1.41)$$

- оператор импульса центра масс.

Расписывая (1.31), получим

$$p_n = -i \frac{\hbar}{2} \frac{\partial}{\partial x^n} \left( \ln \frac{\psi}{\psi^*} \right) = -i \frac{\hbar}{2} \frac{\partial}{\partial x^n} (\ln \psi - \ln \psi^*) = i \frac{\hbar}{2} \left( \frac{1}{\psi^*} \nabla_n \psi^* - \frac{1}{\psi} \nabla_n \psi \right).$$

Используя трехмерную часть этой формулы, запишем ток  $\vec{j} = \rho \vec{v} = e\psi^* \psi \vec{v}$  в уравнении непрерывности (1.11) как

$$\vec{j} = i \frac{e\hbar}{2m} \psi^* \psi \left( \frac{1}{\psi^*} \vec{\nabla} \psi^* - \frac{1}{\psi} \vec{\nabla} \psi \right) = -\frac{ie\hbar}{2m} (\psi^* \vec{\nabla} \psi - \psi \vec{\nabla} \psi^*). \quad (1.42)$$

Расписывая (1.11), с учетом (1.42) и (1.13), получим (после сокращения на  $e$ )

$$\psi \frac{\partial (\psi^*)}{\partial t} + \psi^* \frac{\partial (\psi)}{\partial t} - \frac{i\hbar}{2m} \text{div} (\psi^* \vec{\nabla} \psi - \psi \vec{\nabla} \psi^*) = 0$$

или, после деления на  $\psi^* \psi$  и умножения на  $i\hbar$ , находим

$$i\hbar \left( \frac{1}{\psi^*} \frac{\partial \psi^*}{\partial t} + \frac{1}{\psi} \frac{\partial \psi}{\partial t} \right) + \frac{\hbar^2}{2m} \left( \frac{1}{\psi} \nabla^2 \psi - \frac{1}{\psi^*} \nabla^2 \psi^* \right) = 0$$

откуда

$$i\hbar \frac{1}{\psi} \left( \frac{\partial \psi}{\partial t} - \frac{i\hbar}{2m} \nabla^2 \psi \right) = i\hbar \frac{1}{\psi^*} \left( \frac{\partial \psi^*}{\partial t} + \frac{i\hbar}{2m} \nabla^2 \psi^* \right) = \phi(t) = \phi^*(t).$$

Это нелинейное уравнение распадается на два линейных уравнения следующего вида:

$$i\hbar \left( \frac{\partial \psi}{\partial t} - \frac{i\hbar}{2m} \nabla^2 \psi \right) = \phi(t) \psi \quad (1.43)$$

$$i\hbar \left( \frac{\partial \psi^*}{\partial t} - \frac{i\hbar}{2m} \nabla^2 \psi^* \right) = \phi(t) \psi^* \quad (1.44)$$

С помощью подстановок

$$\Psi(\vec{x}, t) = \psi(\vec{x}, t) \exp\left(\frac{i}{\hbar} \int_0^t \phi(t') dt'\right),$$

$$\Psi^*(\vec{x}, t) = \psi^*(\vec{x}, t) \exp\left(\frac{i}{\hbar} \int_0^t \phi^*(t') dt'\right).$$

Соотношения (1.43) и (1.44) сводятся к уравнениям Шредингера для свободной частицы

$$i\hbar \frac{\partial \psi}{\partial t} + \frac{\hbar^2}{2m} \nabla^2 \psi = 0, \quad (1.45)$$

$$i\hbar \frac{\partial \psi^*}{\partial t} + \frac{\hbar^2}{2m} \nabla^2 \psi^* = 0. \quad (1.46)$$

Таким образом нелинейное относительно  $\psi$  и  $\psi^*$  уравнение непрерывности (1.11) распадается на два линейных относительно  $\psi$  и  $\psi^*$  уравнений Шредингера (1.45) и (1.46).

## 2. Взаимодействие квантовой частицы с электромагнитным полем

Уравнения Шредингера (1.45) и (1.46), в конечном итоге, описывают движение свободной квантовой частицы. Они содержат физическую информацию о плотности масс  $\rho = m \psi^* \psi$  или о плотности заряда  $\rho = e \psi^* \psi$ , хотя заряд  $e$  в эти уравнения явным образом не входит. Уравнения содержат информацию о координате, скорости центра масс частицы, о ее энергии и импульсе. В явном виде уравнения (1.45) и (1.46) содержат две физических константы: массу частицы  $m$  и постоянную Планка  $\hbar$ . Таким образом уравнения (1.45) и (1.46) описывают квантовую механику свободной нерелятивистской частицы, энергия которой, выраженная через импульс  $\vec{p}$  известным образом

$$E = \frac{p^2}{2m}. \quad (2.0)$$

Учитывая (1.41), из которого следует



$$\hat{E} = i\hbar \frac{\partial}{\partial t}, \quad \hat{p} = i\hbar \frac{\partial}{\partial \vec{x}}, \quad (2.1)$$

запишем классическое соотношение (2.0) в виде оператора, действующую на волновую функцию  $\psi$ .

$$\hat{E}\psi = \frac{\hat{p}^2}{2m}\psi \quad \text{или} \quad i\hbar \frac{\partial}{\partial t}\psi + \frac{\hbar^2}{2m}\nabla^2\psi = 0 \quad (2.2)$$

В результате опять получаем уравнения Шредингера (1.45) и (1.46).

Если квантовая частица движется в гравитационном или электромагнитном поле с потенциальной энергией  $U_g$  или  $U_e$ , то, полагая, что  $\hat{U} = U$ , мы будем иметь два физически разных уравнения Шредингера

$$i\hbar \frac{\partial}{\partial t}\psi + \frac{\hbar^2}{2m}\nabla^2\psi = U_g\psi, \quad U_g = -mMG/r = m\varphi_N = -mc^2 r_g/2r, \quad (2.3)$$

и

$$i\hbar \frac{\partial}{\partial t}\psi + \frac{\hbar^2}{2m}\nabla^2\psi = U_e\psi, \quad U_e = -Ze^2/r = e\varphi_C = -mc^2 r_e/2r. \quad (2.4)$$

Эти уравнение описывают движение квантовой частицы в статических гравитационных и электромагнитных полях, при этом  $r_g = 2MG/c^2$  – гравитационный радиус,  $r_e = 2Ze^2/mc^2$ ,  $Z = 1,2,3 \dots$  – электромагнитный радиус [7] частицы.

В уравнения (1.32) и (1.33) входит метрика пространства Минковского

$$ds^2 = \eta_{ik} dx^i dx^k, \quad \eta_{ik} = \text{diag}(1 - 1 - 1 - 1), \quad i, k, \dots = 0,1,2,3. \quad (2.5)$$

Разделим правую и левую части равенства (2.5) на  $ds^2$

$$\eta_{ik} \frac{dx^i}{ds} \frac{dx^k}{ds} - 1 = 0.$$

Умножая это уравнение на  $m^2 c^2$ , получим

$$\eta_{ik} p^i p^k - m^2 c^2 = 0, \quad (2.6)$$

где  $p^i$  – импульс частицы. Поскольку импульс частицы определяется через действие  $S$  как  $p^i = \partial S / \partial x^i$ , (смотри формулу (1.31)), то мы можем записать (2.6) в виде уравнения Гамильтона-Якоби

$$\frac{\partial S}{\partial x_i} \frac{\partial S}{\partial x_k} - m^2 c^2 = 0. \quad (2.7)$$

Используя (1.31), получим из (2.7) известное релятивистское обобщение уравнения Шредингера

$$\frac{\hbar^2}{c^2} \frac{\partial^2 \psi}{\partial t^2} = [\hbar^2 \nabla^2 - m^2 c^2] \psi \quad (2.8)$$

–уравнение Кляйна-Гордона. Это уравнение описывает свободную релятивистскую квантовую частицу.

## 2.1 Обобщенный импульс

Классическое действие  $S$ , описывающее электромагнитное взаимодействие квантовой частицы, имеет известный вид [34]

$$S = \int_a^b \left( -mc ds - \frac{e}{c} A_i dx^i \right), \quad A^i = (\varphi_C, \vec{A})$$

или

$$S = \int_a^b \left( -mc ds + \frac{e}{c} \vec{A} d\vec{r} - e\varphi_C \right), \quad A^i = (\varphi_C, \vec{A}). \quad (2.9)$$

Переходя в (2.9) к дифференцируемости по времени  $t$ , имеем

$$S = \int_{t_1}^{t_2} \left( -mc \sqrt{1 - \frac{v^2}{c^2}} + \frac{e}{c} \vec{A} \vec{v} - e\varphi_C \right) dt = \int_{t_1}^{t_2} L dt,$$

откуда находим Лагранжиан

$$L = -mc \sqrt{1 - \frac{v^2}{c^2}} + \frac{e}{c} \vec{A} \vec{v} - e\varphi_C \quad (2.10)$$

и обобщенный импульс

$$\vec{P} = \frac{\partial L}{\partial \vec{v}} = \frac{m\vec{v}}{\sqrt{1 - \frac{v^2}{c^2}}} + \frac{e}{c} \vec{A}. \quad (2.11)$$

Используя (2.11), запишем (2.7) в виде

$$\left( \frac{E}{c} \right)^2 = m^2 c^2 + \vec{p}^2 = \left( \frac{H - e\varphi_C}{c} \right)^2 = m^2 c^2 + \left( \vec{P} - \frac{e}{c} \vec{A} \right)^2, \quad (2.12)$$

где

$$E = T = H - U_e = H + e\varphi_C \quad (2.13)$$

- кинетическая и

$$H = \sqrt{m^2 c^2 + c^2 \left( \vec{P} - \frac{e}{c} \vec{A} \right)^2} + e\varphi_C \quad (2.14)$$

– полная энергия (Гамильтониан) системы частица-поле. В нерелятивистском приближении имеем

$$H = \frac{1}{2m} \left( \vec{P} - \frac{e}{c} \vec{A} \right)^2 + e\varphi_C = E + U_e. \quad (2.15)$$

Теперь для случая движения заряженной частицы с зарядом  $e$  и массой  $m$  в полях  $\vec{E}$  и  $\vec{H}$ , уравнение Шредингера в операторном виде запишется как

$$\left\{ i\hbar \frac{\partial}{\partial t} - \hat{H} \right\} \psi = 0 \quad \text{или} \quad \left\{ i\hbar \frac{\partial}{\partial t} - \frac{1}{2m} \left( \hat{\vec{P}} - \frac{e}{c} \vec{A} \right)^2 - U_e \right\} \psi = 0, \quad (2.16)$$

где

$$\hat{H} = \frac{1}{2m} (\hat{\vec{P}} - \frac{e}{c} \vec{A})^2 + e\varphi_c \quad (2.17)$$

- оператор Гамильтона.

### 3. «Гидродинамическая» модель Маделунга

Почти сразу после публикации Э. Шредингером его знаменитого уравнения [36], Э. Маделунг получает «гидродинамическое» представление уравнения Шредингера [37]. Подставляя в уравнение Шредингера волну де Бройля в виде

$$\psi(\vec{x}, t) = \sqrt{\rho(\vec{x}, t)} \exp(iS(\vec{x}, t)/\hbar), \quad (3.1)$$

где  $S$  – действие, и обозначая плотности вероятности  $\rho_W = W = \psi^* \psi = |\psi|^2$ , получим

$$\begin{aligned} -\frac{\partial S}{\partial t} \psi + i\hbar \frac{1}{2\rho_W} \frac{\partial \rho_W}{\partial t} \psi - \frac{1}{2m} (\vec{\nabla} S)^2 \psi - U\psi + \frac{i\hbar}{2m} \vec{\nabla}^2 S \psi + \frac{i\hbar}{2m} \left( \frac{1}{\rho_W} \vec{\nabla} \rho_W \right) (\vec{\nabla} S) \psi + \\ + \frac{\hbar^2}{2m} \left( \frac{1}{2\rho_W} \vec{\nabla}^2 \rho_W \right) \psi - \frac{\hbar^2}{2m} \left( \frac{1}{2\rho_W} \vec{\nabla} \rho_W \right)^2 \psi = 0 \end{aligned} \quad (3.2)$$

или

$$\begin{aligned} \left( -\frac{\partial S}{\partial t} - \frac{1}{2m} (\vec{\nabla} S)^2 - U + \frac{\hbar^2}{2m} \left( \frac{1}{2\rho_W} \vec{\nabla}^2 \rho_W \right) - \frac{\hbar^2}{2m} \left( \frac{1}{2\rho_W} \vec{\nabla} \rho_W \right)^2 \right) \psi + \\ + i \left( \hbar \frac{1}{2\rho_W} \frac{\partial \rho_W}{\partial t} + \frac{\hbar}{2m} \vec{\nabla}^2 S + \frac{\hbar}{2m} \left( \frac{1}{\rho_W} \vec{\nabla} \rho_W \right) (\vec{\nabla} S) \right) \psi = 0. \end{aligned} \quad (3.3)$$

Приравнивая реальную часть этого соотношения к нулю, находим уравнение, подобное уравнению Гамильтона-Якоби для функции действия  $S$

$$\frac{\partial S}{\partial t} + \frac{(\vec{\nabla} S)^2}{2m} + U + Q = 0, \quad (3.4)$$

где

$$\begin{aligned} Q = \frac{\hbar^2}{2m} \left( \left( \frac{\vec{\nabla} \rho_W}{2\rho_W} \right)^2 - \frac{\vec{\nabla}^2 \rho_W}{2\rho_W} \right) = -\frac{\hbar^2}{4m} \left( \frac{\Delta \rho_W}{\rho_W} - \frac{(\vec{\nabla} \rho_W)^2}{2\rho_W^2} \right) = -\frac{\hbar^2}{2m} \frac{\Delta |\psi|}{|\psi|} = \\ -\frac{\hbar^2}{2m} \frac{\Delta \sqrt{\rho_W}}{\sqrt{\rho_W}} \end{aligned} \quad (3.5)$$

- квантовая потенциальная энергия. Приравнивая мнимую часть (3.3) к нулю, имеем

$$\frac{\partial \rho_W}{\partial t} + \frac{1}{m} \rho_W \vec{\nabla}^2 S + \frac{1}{m} (\vec{\nabla} \rho_W) (\vec{\nabla} S) = 0 \quad (3.6)$$

или, учитывая известное соотношение для скорости  $\vec{v}$

$$\vec{v} = \vec{\nabla} S / m, \quad (3.7)$$

получаем из (3.6) уравнение неразрывности для плотности  $\rho_W$

$$\frac{\partial \rho_W}{\partial t} + \vec{\nabla} (\rho_W \vec{v}) = 0. \quad (3.8)$$

Применяя к уравнениям (3.4) оператор  $\vec{\nabla}$ , и опять учитывая (3.7), получаем уравнения движения «квантовой жидкости» с плотностью с плотностью вероятности (9)

$$\rho_W \frac{d\vec{v}}{dt} = \rho_W \left( \frac{\partial \vec{v}}{\partial t} + \vec{v} \vec{\nabla} \vec{v} \right) = -\frac{\rho_W}{m} \vec{\nabla} U - \frac{\rho_W}{m} \vec{\nabla} Q. \quad (3.9)$$

Таким образом, в модели Маделунга одно комплексное линейное по  $\psi$  уравнение (в.1) эквивалентно двум уравнениям (3.8) и (3.9) для действительных функций  $\rho_W$  и  $\vec{v}$ .

Если мы умножим уравнения (3.8) и (3.9) на массу  $m = const$  и введем плотность материи

$$\rho_m = m\psi^*\psi = m\rho_W, \quad (3.10)$$

то мы получим уравнения «квантовой гравитирующей жидкости»

$$\frac{\partial \rho_m}{\partial t} + \nabla(\rho_m \vec{v}) = 0, \quad (3.11)$$

$$\rho_m \frac{d\vec{v}}{dt} = -\rho_W \nabla U_g - \rho_W \nabla Q, \quad (3.12)$$

где  $U_g = -mMG/r$  - потенциальная энергия Ньютона. Разделив обе части уравнений (3.12) на  $\rho_W$ , получим уравнения движения «точечной» массы в виде

$$m \frac{d\vec{v}}{dt} = m \left( \frac{\partial \vec{v}}{\partial t} + \vec{v} \nabla \vec{v} \right) = -\nabla \left( U_m + \frac{\hbar^2 \Delta \sqrt{\rho_m}}{2m\sqrt{\rho_m}} \right) = -\nabla \left( U_m + \frac{\hbar^2}{2} \frac{\Delta |\psi|}{|\psi|} \right). \quad (3.13)$$

Эти уравнения можно интерпретировать как движение центра масс «капли квантовой гравитирующей жидкости» в гравитационном поле центральных сил.

Сделав в 1926 г. формальный вывод уравнений (3.11) и (3.12), Э. Маделунг не дал физической интерпретации потенциальной энергии (3.5), которой не содержится в исходном уравнении Шредингера (2.3). В последствии, физики стали интерпретировать энергию (3.5) как внутреннюю энергию Физического Вакуума.

Для заряженной «квантовой жидкости» уравнения Маделунга, следующие из уравнения Шредингера (2.4), имеют вид

$$\frac{\partial \rho_e}{\partial t} + \nabla(\rho_e \vec{v}) = 0, \quad (3.14)$$

$$\rho_m \frac{d\vec{v}}{dt} = -\rho_e \nabla U_e - \rho_W \nabla Q, \quad (3.15)$$

В этих уравнениях плотность вероятности и плотность заряда запишутся как

$$\rho_e = e \rho_W, \quad \rho_W = W = \psi^*\psi = |\psi|^2, \quad (3.16)$$

а плотность тока получит выражение вида

$$\vec{j} = \rho_e \vec{v} = \frac{ie\hbar}{2m} (\psi \vec{\nabla} \psi^* - \psi^* \vec{\nabla} \psi). \quad (3.17)$$

Из этого соотношения находим скорость центра масс  $\vec{v}$

$$\vec{v} = \frac{\vec{j}}{\rho_e} = \frac{i\hbar}{2m} \frac{(\psi \vec{\nabla} \psi^* - \psi^* \vec{\nabla} \psi)}{\psi^*\psi}. \quad (3.18)$$

#### 4. Уравнения Паули и Дирака. Спинорная система отсчета

В классической механике описание собственного вращения пластичных материальных тел предполагает их протяженную структуру. Это отображено, например, в аналитическом определении тензора инерции

$$J_{\alpha\beta} = \int_{(m)} (\delta_{\alpha\beta} r^2 - r_\alpha r_\beta) dm = \int_{(V)} \rho (\delta_{\alpha\beta} r^2 - r_\alpha r_\beta) dV, \quad \alpha, \beta \dots = 1, 2, 3 \quad (4.1)$$

и псевдовектора углового момента

$$L_\alpha = \int_{(m)} [\vec{r}(\vec{v}dm)]_\alpha = \int_{(V)} \rho [\vec{r} \times [\vec{\omega} \times \vec{r}]]_\alpha dV = J_{\alpha\beta} \omega^\beta. \quad (4.2)$$

Здесь  $dm = \rho dV$  - бесконечно малый элемент протяженного объекта,  $\vec{r}$  - радиус вектор его вращения с угловой скоростью  $\vec{\omega}$  и  $\vec{v} = [\vec{\omega} \times \vec{r}]$  - его линейная скорость. Как обычно, полная масса объекта определяется через интеграл

$$m = \int_{(m)} dm = \int_{(V)} \rho dV, \quad (4.1a)$$

а полный импульс в виде

$$p_\alpha = \int_{(m)} v_\alpha dm = \int_{(V)} \rho v_\alpha dV. \quad (4.2a)$$

Если пластичный объект движется поступательно под действием внешней силы  $F_\alpha$  и изменяет собственное вращение под действием внешнего момента  $M_\alpha$ , то его движение описывается поступательными уравнениями

$$\frac{d}{dt} p_\alpha = F_\alpha, \quad (4.1b)$$

и вращательными уравнениями

$$\frac{d}{dt} L_\alpha = \frac{d}{dt} (J_{\alpha\beta} \omega^\beta) = M_\alpha. \quad (4.2b)$$

Приближенно, эти уравнения в полной мере относятся к трехмерному волновому пакету, состоящему из волн де Бройля (1.1), (1.2), если он вращается как единое целое. Тем не менее, квантовые свойства вещества расширяют уравнения (4.1b) и (4.2b) специфическим образом.

Механическое вращение квантового электрона как единого целого было открыто экспериментально и названо спином (от английского слова spin - вращение). Еще в 1909 г. С. Барнет обнаружил, что механическое вращение железного цилиндра порождает у него магнитное поле [38]. Объясняется этот эффект тем, что на собственное и орбитальное механическое вращение электронов внутри вращающегося цилиндра действуют гироскопические (чисто механические) силы, которые выстраивают оси вращающихся электронов параллельно оси вращения цилиндра. В это время уже был известен магнетон Бора [39]

$$\mu_B = \frac{e}{mc} M_M, \quad (4.3)$$

который связывает магнитный момент электрона  $\mu_B$  с его механическим моментом  $M_M$ . В 1915 г. А. Эйнштейном и В. де Гаазом был проведен эксперимент, в котором ферромагнетик, подвешенный на тонкой стеклянной нити во внешнем магнитном поле, испытывал вращение и закручивал нить [40], т.е. наблюдалась связь между механическим  $M_M$  и магнитным  $M_H$  моментами ферромагнетика. А. Эйнштейн пытался доказать в этих экспериментах существование токов Ампера внутри ферромагнетика, вызванных орбитальным движением электронов в атоме. Было известно теоретически вычисленное отношение магнитного момента  $M_H$  к механическому моменту  $M_M$  при движении электрона по орбите в атоме

$$\gamma_1 = \frac{M_H}{M_M} = \frac{e}{2mc}, \quad (4.4)$$

где  $e$  и  $m$  – заряд и масса электрона, что и получилось в эксперименте Эйнштейна-де Гааза. Однако, позже было экспериментально установлено, что магнитное поле ферромагнетика порождено суммарным собственным вращением (спином) (4.3) свободных электронов внутри ферромагнетика.

Эксперименты О. Штерна и В. Герлаха [41] с пучками атомов водорода, проходящих в неоднородном магнитном поле, обнаружили расщепление пучка. Эти эксперименты показали, что у атомов водорода в  $s$  состоянии, когда механический, а вместе с ним и магнитный орбитальный момент, равны нулю, существует магнитный момент  $\vec{M}_H$ , проекция которого на направление магнитного поля принимает лишь два значения  $M_H = \pm \mu_B$ . При анализе результатов их опыта было получено отношение

$$\gamma_2 = \frac{M_H}{M_M} = \frac{e}{mc}, \quad (4.5)$$

что в 2 раза больше значения (4.4).

Используя результаты опытов Штерна-Герлаха и эксперименты Зеемана по расщеплению спектра атомов во внешнем магнитном поле, Уленбек и Гаудсмит выдвинули в 1925 г. две гипотезы относительно строения электрона [42]:

- 1) электрон обладает внутренним механическим моментом импульса (спином)

$$s = \frac{\hbar}{2}; \quad (4.6)$$

- 2) он обладает магнитным моментом, равным магнетону Бора (4.3)

$$\vec{\mu}_B = \frac{e}{mc} \vec{s}. \quad (4.3)$$

#### 4.1 Уравнение Паули

Уравнение Шредингера (в.1) содержит константу  $\hbar$ , которая имеет размерность углового момента, но не содержит в явном виде информации о спине (4.6), поэтому, для описания этой зависимости, В. Паули предложил в 1927 г. обобщенное уравнение Шредингера

$$\left( i\hbar \frac{\partial}{\partial t} + \frac{\hbar^2}{2m} \nabla^2 - U \right) \Psi = 0, \quad (4.4)$$

где волновая функция представлена  $\Psi$  представлена в виде произведения

$$\Psi(\vec{r}, t) = \psi(\vec{r}, t) s(\vec{r}, t), \quad (4.5)$$

при этом волновая функция  $\psi(\vec{r}, t)$  удовлетворяет уравнению Шредингера (в.1), а

$$s(\vec{r}, t) = \begin{pmatrix} s_1 \\ s_2 \end{pmatrix} \quad (4.6)$$

- двухкомпонентная спин-функция, описывающая движение электрона во внешнем магнитном поле  $\vec{H}$ , находится из решения «спинового» уравнения Шредингера

$$i\hbar \frac{\partial}{\partial t} s = - \frac{e\hbar}{2mc} (\vec{\sigma} \vec{H}) s, \quad (4.7)$$

которое представляет собой квантовый аналог уравнений (4.2b). В (4.7)  $\vec{\sigma}$  - (псевдо)вектор Паули, компоненты которого образуют 2x2 комплексные матрицы Паули

$$\sigma_x = \begin{bmatrix} 0 & 1 \\ 1 & 0 \end{bmatrix}, \quad \sigma_y = \begin{bmatrix} 0 & -i \\ i & 0 \end{bmatrix}, \quad \sigma_z = \begin{bmatrix} 1 & 0 \\ 0 & -1 \end{bmatrix}. \quad (4.8)$$

С учетом спина уравнение Шредингера (2.16) запишется в виде уравнение Паули в виде

$$\left\{ \frac{\hbar}{i} \frac{\partial}{\partial t} + \frac{1}{2m} \left( \vec{p} - \frac{e}{c} \vec{A} \right)^2 + eA_0 - \frac{\hbar e}{2mc} (\vec{H} \vec{\sigma}) \right\} \Psi = 0, \quad (4.9)$$

#### 4.2 Уравнение Дирака и спинорная система отсчета

Уравнение Паули (4.9) не является релятивистски инвариантным, поэтому П. Дирак в 1928 г. предложил релятивистское квантовое уравнение движения свободного электрона вида

$$[\gamma^n \hat{p}_n - imc] \Psi = 0, \quad \hat{p}_n = -i\hbar \frac{\partial}{\partial x_n}, \quad (4.10)$$

Здесь  $\gamma^n$  - спиновые матрица Дирака, связанные с метрическим тензором  $\eta_{kn}$  пространства Минковского соотношением

$$\eta_{kn} = \{\gamma_k, \gamma_n\} / 2 = (\gamma_k \gamma_n + \gamma_n \gamma_k) / 2, \quad (4.11)$$

Компоненты спинорной матрицы  $\gamma_k$  в (4.11) имеют следующий вид

$$\gamma_0 = \begin{bmatrix} 0 & \sigma_0 \\ \sigma_0 & 0 \end{bmatrix}, \quad \gamma_1 = \begin{bmatrix} 0 & \sigma_x \\ \sigma_x & 0 \end{bmatrix}, \quad \gamma_2 = \begin{bmatrix} 0 & \sigma_y \\ -\sigma_y & 0 \end{bmatrix}, \quad \gamma_3 = \begin{bmatrix} 0 & \sigma_z \\ -\sigma_z & 0 \end{bmatrix}, \quad (4.12)$$

где  $\sigma_0 = I$  - 2x2 единичная матрица, а  $\sigma_x, \sigma_y, \sigma_z$  - 2x2 спиновые 3D матрицы Паули (4.8), поэтому имеем

$$\sigma_0 = I = \begin{bmatrix} 1 & 0 \\ 0 & 1 \end{bmatrix}, \quad \sigma_x = \begin{bmatrix} 0 & 1 \\ 1 & 0 \end{bmatrix}, \quad \sigma_y = \begin{bmatrix} 0 & -i \\ i & 0 \end{bmatrix}, \quad \sigma_z = \begin{bmatrix} 1 & 0 \\ 0 & -1 \end{bmatrix}, \quad (4.13)$$

Для частицы спина 1/2 имеем соотношение

$$\vec{s} = \frac{\hbar}{2} \vec{\sigma}, \quad (4.14)$$

где  $\vec{\sigma}$  - (псевдо)вектор Паули.

Соотношения (4.11)-(4.14) показывают, что спинор (4.13) и, следовательно, спин (4.14) имеют геометрическую природу, поскольку определяют метрику и сигнатуру базового пространства Минковского. Кроме того, матрицы (4.13) задают совершенно новый вид системы отсчета, а именно, спинорную систему отсчета.

Поскольку спин  $\vec{s}$  ориентирован в пространстве, то четырехкомпонентная комплексная волновая функция  $\Psi$  в уравнении Дирака (4.11) зависит как от трансляционных координат  $x, y, z, ct$ , так и спина (4.14) (т.е. углов Эйлера  $\varphi, \theta, \chi$ )

$$\Psi = \begin{pmatrix} \Psi_1 \\ \Psi_2 \\ \Psi_3 \\ \Psi_4 \end{pmatrix} = \Psi(x, y, z, ct, \vec{s}) = \Psi(x(t), y(t), z(t), ct, \varphi(t), \theta(t), \chi(t)). \quad (4.15)$$

Четыре эрмитовых  $2 \times 2$  матриц (4.13) определены на двумерном комплексном пространстве, касательным в каждой точке  $M$  координатного (базового) пространства с координатами  $x, y, z, ct$ . Четырехкомпонентный спинор (4.15) можно записать в виде столбца

$$\Psi = \begin{pmatrix} \Psi_1 \\ \Psi_2 \\ \Psi_3 \\ \Psi_4 \end{pmatrix} = \begin{pmatrix} \Psi_1 \\ \Psi_2 \\ 0 \\ 0 \end{pmatrix} + \begin{pmatrix} 0 \\ 0 \\ \Psi_3 \\ \Psi_4 \end{pmatrix} = \Psi_L + \Psi_R = \begin{pmatrix} o_A \\ 0 \end{pmatrix} + \begin{pmatrix} 0 \\ \iota_{\dot{B}} \end{pmatrix} = \begin{pmatrix} o_A \\ \iota_{\dot{B}} \end{pmatrix}, \quad (4.15a)$$

где  $o_A$  и  $\iota_{\dot{B}}$  – двухкомпонентные спиноры

$$\Psi_L = \begin{pmatrix} \Psi_1 \\ \Psi_2 \end{pmatrix} = o_A, \quad \Psi_R = \begin{pmatrix} \Psi_3 \\ \Psi_4 \end{pmatrix} = \iota_{\dot{B}}, \quad (4.15b)$$

с правым  $\Psi_R$  и левым  $\Psi_L$  вращением. Используя (4.12) и (4.13), можно записать уравнения Дирака (4.10) в виде пары уравнений для двухкомпонентных спиноров  $o_A$  и  $\iota_{\dot{B}}$

$$\gamma^n \hat{p}_n o_A - imc o_A = 0, \quad n = 0, 1, 2, 3, \quad A, \dot{B} \dots = 0, \dot{1}, \quad (4.15c)$$

$$\gamma^n \hat{p}_n \iota_{\dot{B}} - imc \iota_{\dot{B}} = 0, \quad (4.15d)$$

при этом спинор  $\iota_{\dot{B}}$  преобразуется по  $D(1/2, 0)$  неприводимому представлению группы  $SL(2, C)$ , а спинор  $o_A$  по  $D(0, 1/2)$  представлению этой же группы. Поскольку матрицы  $o_A$  и  $\iota_{\dot{B}}$  эрмитовы, то

$$\bar{o}_\alpha = o_{\dot{\alpha}}. \quad (4.15e)$$

В ковариантном виде 4D матрицы Паули (4.13) записываются как

$$\sigma_i^{A\dot{B}}, \quad (4.16)$$

где координатный индекс  $i$  пробегает значения  $0, 1, 2, 3$ , а спинорные индексы  $A, \dot{B}$  пробегают значения  $0, 1$  и  $\dot{0}, \dot{1}$  соответственно. В спинорном представлении метрический тензор пространства Минковского (4.11) запишется в виде [43]



$$\eta_{kn} = \sigma_k^{A\dot{B}} \sigma_n^{C\dot{D}} \varepsilon_{AC} \varepsilon_{\dot{B}\dot{D}}, \quad (4.17)$$

где

$$\varepsilon^{AC} = \varepsilon_{AC} = \varepsilon^{\dot{B}\dot{D}} = \varepsilon_{\dot{B}\dot{D}} = \begin{pmatrix} 0 & 1 \\ -1 & 0 \end{pmatrix}. \quad (4.18)$$

- фундаментальный спинор  $\sigma_{A\dot{B}}^i$  и  $\sigma_{A\dot{B}}^i$  - 4D – комплексные эрмитовы матрицы Дирака-Паули (или матрицы Пенроуза [43]). Окончательно спинор Дирака (4.15) представляется в виде

$$\Psi = \begin{pmatrix} o_\alpha \\ l_\alpha \end{pmatrix}. \quad (4.19)$$

Спинорные матрицы  $\sigma_{A\dot{B}}^i$  и  $\gamma^k$ , образующие спинорную систему отсчета, представляют собой изотропные вектора, лежащие на световом конусе. Для связи двухкомпонентных спиноров  $l^\beta, o^\beta, \alpha, \beta \dots = 0, 1$  с обычной тетрадой  $e_b^k$  вводится комплексная световая тетрада  $z^i_a = (l_a, n_a, m_a, \bar{m}_a)$ , две компоненты которой  $l_a$  и  $n_a$  действительные изотропные вектора и две компоненты  $m_a$  и  $\bar{m}_a$  комплексные вектора, при этом  $\bar{m}_a = \overline{m_a}$ . Вектора  $l_a, n_a, m_a, \bar{m}_a$  комплексной световой тетрады связаны векторами вещественной тетрады  $e_b^k$  и со двухкомпонентными спинорами  $l^\beta, o^\beta$  соотношениями [43].

$$e^k_0 = \frac{1}{\sqrt{2}}(l^k + n^k) = \frac{1}{\sqrt{2}}\sigma_{\alpha\dot{\beta}}^i(o^\alpha \bar{o}^{\dot{\beta}} + l^\alpha \bar{l}^{\dot{\beta}}), \quad (4.20)$$

$$e^k_1 = \frac{1}{\sqrt{2}}(m^k + \bar{m}^k) = \frac{1}{\sqrt{2}}\sigma_{\alpha\dot{\beta}}^i(o^\alpha \bar{l}^{\dot{\beta}} + l^\alpha \bar{o}^{\dot{\beta}}), \quad (4.21)$$

$$e^k_2 = \frac{1}{\sqrt{2}}(m^k - \bar{m}^k) = \frac{1}{\sqrt{2}}\sigma_{\alpha\dot{\beta}}^i(o^\alpha \bar{l}^{\dot{\beta}} - l^\alpha \bar{o}^{\dot{\beta}}), \quad (4.22)$$

$$e^k_3 = \frac{1}{\sqrt{2}}(l^k - n^k) = \frac{1}{\sqrt{2}}\sigma_{\alpha\dot{\beta}}^i(o^\alpha \bar{o}^{\dot{\beta}} - l^\alpha \bar{l}^{\dot{\beta}}), \quad (4.23)$$

$$i, j, k \dots = 0, 1, 2, 3, \quad \alpha, \gamma, \dots = 0, 1, \quad \dot{\beta}, \dot{\mu}, \dots = \dot{0}, \dot{1}$$

Из (4.20) следует

$$l^a = \sigma_{\alpha\dot{\beta}}^a o^\alpha \bar{o}^{\dot{\beta}}, \quad n^a = \sigma_{\alpha\dot{\beta}}^a l^\alpha \bar{l}^{\dot{\beta}}, \quad a, b, c \dots = 0, 1, 2, 3, \quad (4.24)$$

что позволяет интерпретировать спиноры  $o^\beta$  ( $l^\beta$ ) как «корень квадратный» из вектора  $l^a$  ( $n^a$ ). В (4.24) спинорные матрицы  $\sigma_{\alpha\dot{\beta}}^a$  удовлетворяют условиям ортогональности

$$\sigma_{\alpha\dot{\beta}}^a \sigma_b^{\alpha\dot{\beta}} = \delta_b^a, \quad (4.25)$$

$$\sigma_{\alpha\dot{\beta}}^a \sigma_a^{\rho\dot{\mu}} = \delta_\alpha^\rho \delta_{\dot{\beta}}^{\dot{\mu}}, \quad (4.26)$$

На рис. 2 спинор  $o^\beta$  изображен в интерпретации Роджера Пенроуза в виде флага, флажок которого равен изотропному вектору  $l^a$  а полотнище флага направлено от этой линии в направлении оси  $x$ . Флажок спинора  $l^\beta$  равен изотропному вектору  $n^a$ , а полотнище флага отходит от этой линии в направлении  $-x$  (рис. 2). Флажок и полотнище флага вместе образуют изотропный флаг. При умножении, например, вектора  $o^\beta$  на  $re^{i\theta}$ , где  $r$  и  $\theta$  действительные величины, длинная флажтока увеличивается в  $r^2$  раз, а полотнище флага поворачивается на угол  $2\theta$ . Существенное отличие спинора от вектора заключается

в том, что вектор совпадает сам с собой при повороте на угол  $2\pi$ , в то время как спинор  $o^\beta$  – на угол  $4\pi$ . Таким же свойством обладает движение ортогонального вектора  $\vec{n}$  по листу Мебиуса, представляющего собой двумерную одностороннюю поверхность. При движении вектора  $\vec{n}$ , он совпадает сам с собой после поворота в пространстве на угол  $4\pi$ .

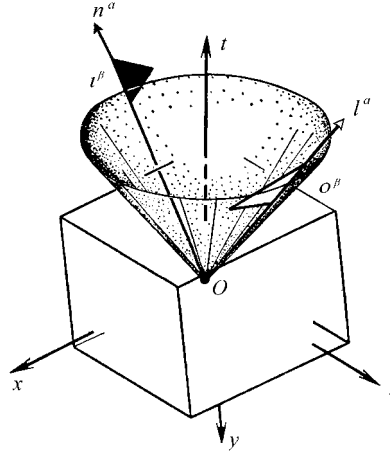


Рис. 2. Геометрическая интерпретация спинора (Р. Пенроуз [43])

### 4.3 Уравнения Дирака - Такабаяши

При движении во внешнем электромагнитном поле уравнение Дирака запишется как

$$\left[ \gamma^n \left( \hat{p}_n - \frac{e}{c} A_n \right) - imc \right] \Psi = 0, \quad \hat{p}_n = -i\hbar \frac{\partial}{\partial x_n}, \quad (4.27)$$

где  $e$  - заряд электрона,  $m$  - его масса,  $A_n$  - 4D потенциал электромагнитного поля,  $c$  - скорость света. Через  $\Psi$  функцию определяется плотность вероятности

$$\rho = \Psi^+ \Psi, \quad (4.28)$$

при этом плотность заряда  $\rho_e$  и массы  $\rho_m$  записываются в виде

$$\rho_e = e\Psi^+ \Psi, \quad \rho_m = m\Psi^+ \Psi, \quad (4.29)$$

Теперь скорость центра масс квантового электрона, определяемая как

$$\vec{v} = \frac{\vec{j}}{\rho} = \frac{1}{m} \left( \vec{P} - \frac{e}{c} \vec{A} \right) = -\frac{i\hbar}{2m\rho} \left[ \Psi^+ (\vec{\nabla} \Psi) - \Psi (\vec{\nabla} \Psi^+) \right] - \frac{e}{mc} \vec{A} + \frac{\hbar}{2m\rho} \text{rot}(\Psi^+ \vec{\sigma} \Psi), \quad (4.30)$$

где

$$\vec{j} = -\frac{i\hbar}{2m} \left[ \Psi^+ (\vec{\nabla} \Psi) - \Psi (\vec{\nabla} \Psi^+) \right] - \frac{e}{mc} \vec{A} (\Psi^+ \Psi) + \frac{\hbar}{2m} \text{rot}(\Psi^+ \vec{\sigma} \Psi) \quad (4.31)$$

- вектор 3D тока. В нерелятивистском приближении слабых полей уравнение Дирака (4.27) переходит в уравнение Паули (4.9).

Используя процедуру Маделунга [37], Т. Такабаяши представил уравнение Паули (4.9) в виде системы двух уравнений следующего вида [44-48]

$$\rho \frac{dv_\alpha}{dt} = \frac{\rho}{m} \left\{ e\vec{E} + \frac{e}{c} [\vec{v}\vec{H}] \right\}_\alpha + \frac{\rho e}{m^2 c} S_\beta \partial_\alpha H_\beta + \partial_\beta T_{\alpha\beta}, \quad (4.32)$$

$$\rho \frac{dS_\alpha}{dt} = \rho \frac{e}{mc} [\vec{S}\vec{H}]_\alpha + \partial_\alpha T^{(S)}_{\alpha\beta}, \quad \alpha, \beta, \gamma \dots = 1, 2, 3, \quad (4.33)$$

где  $\rho = \Psi^+\Psi$  - плотность вероятности,

$$\vec{S} = \frac{\Psi^+ \hat{S} \Psi}{\Psi^+ \Psi} = \frac{\hbar}{2} \frac{\Psi^+ \hat{\sigma} \Psi}{\Psi^+ \Psi} \quad (4.34)$$

- вектор спина частицы и

$$T_{\alpha\beta} = \left( \frac{\hbar}{2m} \right)^2 \left\{ \left( \frac{\partial^2 \rho}{\partial x_\alpha \partial x_\beta} - \frac{1}{\rho} \frac{\partial \rho}{\partial x_\alpha} \frac{\partial \rho}{\partial x_\beta} \right) - 4\rho \frac{\partial S_\gamma}{\partial x_\alpha} \frac{\partial S^\gamma}{\partial x_\beta} \right\}, \quad (4.35)$$

$$T^{(S)}_{\alpha\beta} = - \left( \frac{\hbar}{m} \right)^2 \left\{ \rho \frac{\partial S_\gamma}{\partial x_\alpha} \frac{\partial S^\gamma}{\partial x_\beta} \right\} \quad (4.35a)$$

- потенциальные энергии вакуумных полей (вакуумных флуктуаций). Эти энергии не входят в гамильтониан уравнения Дирака и появляются в уравнениях (4.32), (4.33) в результате применения процедуры Маделунга к уравнению Дирака.

Следует отметить, что при отсутствии полей  $\vec{E}$  и  $\vec{H}$  в уравнениях (4.32), (4.33) центр масс и спин частицы испытывают действие со стороны тензорной вакуумной энергии (4.35), принуждая их к постоянному движению. *Этот факт заставляет нас отказаться от инерциальной системы отсчета как основополагающего понятия при построении более совершенной квантовой теории поля [35].*

Если умножить уравнения (4.32) справа и слева на массу частицы  $m$ , то первый член в правой части представляет собой силу Лоренца, второй силу Штерна-Герлаха [41], а третий – вакуумную силу, под действием которой частица находится в постоянном ускоренном движении. После деления (4.33) справа и слева на  $\rho$  мы получаем обобщенное уравнение Паули (4.7), которое Ф. Блох использовал (без учета вакуумной энергии) для описания движения спина в ферромагнетиках [49].

Уравнения (4.32), (4.33) фактически представляют собой обобщение уравнений для поступательного движения (4.1b) и для вращательного движения (4.2b), при этом оказалось, что уравнение Паули (4.9), следующее из уравнения Дирака (4.27), объединяют в себе поступательное (4.32) и вращательное (4.33) уравнения движения.

## 5. Пространство событий уравнений Паули и Дирака

Волновая функция (4.5), удовлетворяющая уравнению Паули (4.9) и Дирака (4.27) зависит не только от трансляционных координат  $x, y, z$  и времени  $t$ , но и от координат псевдовектора спина  $\vec{S}$ , а именно, от неголономных вращательных координат  $\varphi_1, \varphi_2, \varphi_3$ , в качестве которых, например, могут использоваться углы Эйлера. Более того, из представления волновой функции (4.19) через двухкомпонентные спиноры  $\iota^\beta, o^\beta$  следует, что трансляционная метрика пространства является изотропной

$$ds^2 = \eta_{kn} dx^k dx^n = \sigma_k^{AB} \sigma_n^{CD} \varepsilon_{AC} \varepsilon_{BD} dx^k dx^n = 0. \quad (5.1)$$

Эта метрика описывает наблюдателя, находящегося на световом конусе, поскольку записана в спинорном базисе. Она конформно инвариантна, что позволяет рассматривать бесконечно удаленную точку пространства наравне с конечными. Действительно, рассмотрим пространство событий наблюдателя, который движется со скоростью света. Его возможные траектории движения находятся на поверхности светового конуса. Изотропные направления будущего образуют на световом конусе пространство, сечение которого гиперплоскостью  $T = 1$  представляет собой абстрактную сферу  $S^+$  (рис. 3), описываемую уравнением

$$T = x^2 + y^2 + z^2 = 1. \quad (5.2)$$

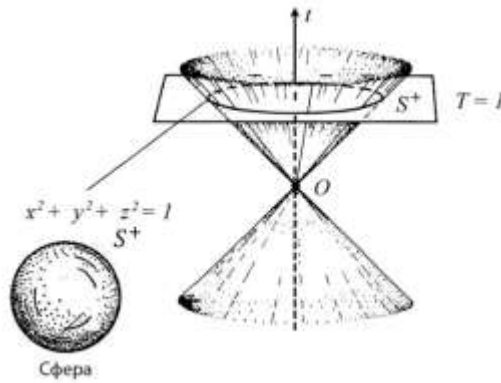


Рис. 3. Сечение светового конуса будущего гиперплоскостью  $T = 1$  представляет собой сферу  $S^+$

Сферу  $S^+$  можно рассматривать как *риманову сферу (или сферу Блоха)* плоскости Агранда-Бесселя Гаусса [43]. Расширенная риманова сфера (сфера, включающая северный и южный полюса) в трехмерном пространстве  $x, y, z$  является представлением комплексных чисел, *включающим конформную бесконечность* (конформная бесконечность Пенроуза). На рис. 4 представлена стереографическая проекция точек сферы единичного радиуса  $S^+$  на комплексную плоскость  $\Sigma$ , рассекающую сферу по экватору. Точка  $P$  на сфере в пространстве  $T = 1, x, y, z$  определяется как  $P(1, x, y, z)$ . Проекцией точки  $P(1, x, y, z)$  из северного полюса  $N(1, 0, 0, 1)$  является точка  $P'(1, X', Y', 0)$  на комплексной плоскости  $\Sigma$ .

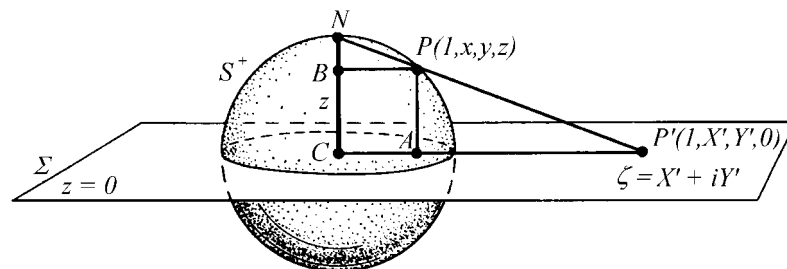


Рис. 4. Стереографическая проекция сферы  $S^+$  на комплексную плоскость

Центр сферы расположен в точке  $C$  ( $z=0$ ). Опуская перпендикуляры из точки  $P(1, x, y, z)$  в точки  $A$  и  $B$ . Вводя на плоскости  $\Sigma$  один комплексный параметр

$$\zeta = X' + iY', \quad (5.3)$$

находим из рис. 4

$$h\zeta = x + iy, \quad (5.4)$$

где

$$h = 1 - z = \frac{CA}{CP'} = \frac{NP}{NP'} = \frac{NB}{NC}. \quad (5.5)$$

Из соотношений (5.4) и (5.5) следует связь между комплексным параметром  $\zeta$  пространственными координатами точки  $P(1, x, y, z)$

$$\zeta = \frac{x + iy}{1 - z}. \quad (5.6)$$

Умножая (5.6) на  $\bar{\zeta}$  и учитывая (5.2), находим

$$\zeta\bar{\zeta} = \frac{x^2 + y^2}{(1 - z)^2} = \frac{1 + z}{1 - z}. \quad (5.7)$$

Решая это уравнение относительно  $z$  и подставляя полученное выражение в (5.6), получаем

$$x = \frac{\zeta + \bar{\zeta}}{\zeta\bar{\zeta} + 1}, \quad y = \frac{\zeta - \bar{\zeta}}{i(\zeta\bar{\zeta} + 1)}, \quad z = \frac{\zeta\bar{\zeta} - 1}{\zeta\bar{\zeta} + 1}. \quad (5.8)$$

Соотношения (5.6) и (5.8) устанавливают стереографическое соответствие между комплексной аграндовой плоскостью  $\Sigma$  и единичной сферой  $S^+$  в пространстве  $x, y, z$  с центром сферы в точке  $(0,0,0)$ .

По мере приближения точки  $P(1, x, y, z)$  к точке  $N$  точка  $P'(1, x', y', 0)$  стремится к бесконечности. Чтобы включить точку  $N$  сферы в рассмотрение, необходимо добавить к аграндовой плоскости одну точку  $\zeta = \infty$ , при этом между сферой и аграндовой плоскостью устанавливается однозначное соответствие, а сама аграндова плоскость  $\Sigma$  превращается в риманову сферу  $S^+$ .

Известно, что на комплексной плоскости Агранда  $z = x + iy$  все допустимые преобразования (преобразования Мебиуса) заданы дробно-линейными преобразованиями вида

$$f(z) = \frac{az + b}{cz + d}, \quad (5.9)$$

где  $a, b, c, d$  – комплексные числа, причем  $ad - bc \neq 0$  и множество комплексных чисел включает бесконечно удаленную точку. Преобразования Мебиуса (5.9) представляют собой композицию: трансляций  $f_1(z) = z + d/c$ , инверсий  $f_2(z) = 1/z$ , вращений  $f_3(z) = [-(ad - bc)/c^2]z$  и растяжений  $f_4(z) = z + a/c$  или

$$f(z) = f_4 \left( f_3 \left( f_2 \left( f_1(z) \right) \right) \right). \quad (5.10)$$

Преобразование инверсии  $f_2(z) = 1/z$  плоскости Агранда  $z = x + iy$  позволяют вернуть плоскость  $z = x + iy$  «наизнанку», при этом получается плоскость Агранда  $w = u + iv$ , на которой прямые плоскости  $z = x + iy$  выглядят как окружности (рис.5). Удивительным фактом на плоскости Агранда является возможность деления на ноль. Действительно, при обратной инверсии  $w = 1/z$  точке  $z = 0$  соответствует бесконечность  $\infty_w$  плоскости  $w = u + iv$  и наоборот. Такое соответствие мы будем обозначать как  $0_z \leftrightarrow \infty_w$ . Это означает, что на аграндовой плоскости бесконечность  $\infty_w$  можно рассматривается как «изнанка» нуля  $0_z$ , нуль  $0_w$  как «изнанку» бесконечности  $\infty_z$ , а саму бесконечность наравне с обычной конечной точкой.

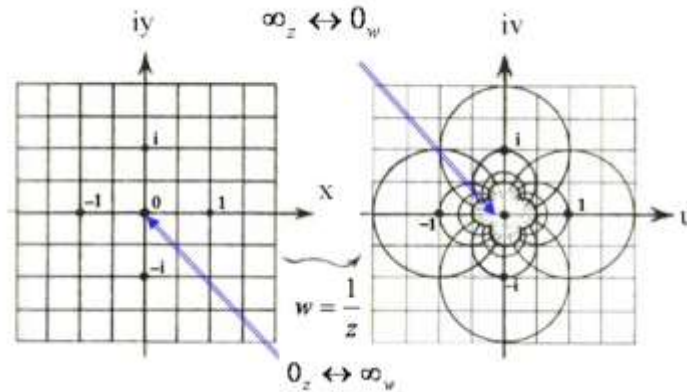


Рис. 5. Слева комплексная плоскость Агранда  $z = x + iy$ , справа изнанка  $w = u + iv$  комплексной плоскости Агранда

На рис. 4 мы присоединили к точке  $z = 0$  сферу единичного радиуса (сферу Римана) и спроектировали все точки плоскости, включая бесконечно удаленную точку  $\infty_z$ , на сферу, при этом точке  $\infty_z$  будет соответствовать северный полюс  $N$  сферы.

Если на рис. 3 мы возьмем сечение конуса прошлого гиперплоскостью  $T = x^2 + y^2 + z^2 = -1$ , то получим сферу Пенроуза-Римана  $S^-$ . Используя комплексный параметр

$$\eta = V' + iU' \quad (5.11)$$

для описания координат  $V$  и  $U$  «изнанки» плоскости Агранда, можно получить для координат  $u, v$  и  $z$  сферы  $S^-$  соотношения, подобные (5.8), но для параметра  $\eta$ .

Равенства (5.8) позволяют нам выразить трехмерные координаты пространства  $x, y, z$  через комплексный параметр  $\zeta$  без учета бесконечно удаленной точки  $\zeta = \infty_z$  (на «изнанке» плоскости ей соответствует точка  $\zeta = \infty_z$ ).

Для того, чтобы добавить точки  $\eta = 0_w, \zeta = \infty_z, \eta = \infty_w$  плоскости Агранда при ее стереографической проекции на сферу Пенроуза-Римана, вводятся спинорные (проективные) комплексные координаты  $\xi, \eta$  (не равные нулю одновременно), связанные с  $\zeta$  как

$$\zeta = \frac{\xi}{\eta}. \quad (5.12)$$

Учитывая (5.2) и (5.8), запишем четырехмерные координаты сферы  $S^+$  Пенроуза-Римана как

$$T = 1, \quad x = \frac{\zeta + \bar{\zeta}}{\zeta\bar{\zeta} + 1}, \quad y = \frac{\zeta - \bar{\zeta}}{i(\zeta\bar{\zeta} + 1)}, \quad z = \frac{\zeta\bar{\zeta} - 1}{\zeta\bar{\zeta} + 1}. \quad (5.13)$$

Используя (5.12), перепишем эти соотношения в спинорных координатах в виде

$$T = 1, \quad x = \frac{\xi\bar{\eta} + \eta\bar{\xi}}{\xi\bar{\xi} + \eta\bar{\eta}}, \quad y = \frac{\xi\bar{\eta} - \eta\bar{\xi}}{i(\xi\bar{\xi} + \eta\bar{\eta})}, \quad z = \frac{\xi\bar{\xi} - \eta\bar{\eta}}{\xi\bar{\xi} + \eta\bar{\eta}}. \quad (5.14)$$

Напомним, что точка  $P(1, x, y, z)$  представляет собой некоторое изотропное направление, исходящее из начала  $O$ . Можно выбрать любую другую точку на  $OP$ . Спинорные координаты произвольной точки в четырехмерном пространстве мы получаем после умножения (5.14) на  $(\xi\bar{\xi} + \eta\bar{\eta})/\sqrt{2}$

$$T = \frac{\xi\bar{\xi} + \eta\bar{\eta}}{\sqrt{2}}, \quad X = \frac{\xi\bar{\eta} + \eta\bar{\xi}}{\sqrt{2}}, \quad Y = \frac{\xi\bar{\eta} - \eta\bar{\xi}}{i\sqrt{2}}, \quad Z = \frac{\xi\bar{\xi} - \eta\bar{\eta}}{\sqrt{2}}. \quad (5.15)$$

Пусть мы имеем произвольный вектор  $X_i$  ( $i = 0, 1, 2, 3$ ) с локальными индексами

$$X_a = X_i e^i_a, \quad a = 0, 1, 2, 3. \quad (5.16)$$

Здесь  $e^a_i$  - 4-мерная система отсчета, представленная в виде тетрады, у которой  $i = 0, 1, 2, 3$  – координатные индексы и  $a = 0, 1, 2, 3$  – локальные (внутренние) индексы и которая удовлетворяет условиям нормировки

$$e^j_a e^a_i = \delta^j_i, \quad e^i_a e^b_i = \delta_a^b, \quad (5.17)$$

Используя (5.17), можно разложить 4D вектор  $X_i$  по базису  $e^a_i$  как

$$X_i = X_a e^a_i = X_0 e^{(0)}_i + X_1 e^{(1)}_i + X_2 e^{(2)}_i + X_3 e^{(3)}_i,$$

где локальные (внутренние) координаты вектора  $X_a$ , записанные через спинорные координаты (пару комплексных чисел  $\xi, \eta$ ) имеют вид

$$X_0 = \frac{\xi\bar{\xi} + \eta\bar{\eta}}{\sqrt{2}}, \quad X_1 = \frac{\xi\bar{\eta} + \eta\bar{\xi}}{\sqrt{2}}, \quad X_2 = \frac{\xi\bar{\eta} - \eta\bar{\xi}}{i\sqrt{2}}, \quad X_3 = \frac{\xi\bar{\xi} - \eta\bar{\eta}}{\sqrt{2}}. \quad (5.18)$$

Задание (5.18) локальных (внутренних) координат вектора  $X_i$  через спиноры  $\xi, \eta$  означает, что пространство событий спиноров комплексно, расслоено и представляет собой базу с координатами  $x, y, z, ct$ , в каждой точке  $X_i$  которого определено внутреннее пространство спиноров  $\xi, \eta$  (слой). Поскольку спин связан с вращением элементарных частиц в пространственных углах  $\varphi_1, \varphi_2, \varphi_3$ , то 4D обобщение спина – спинор описывает вращение в 6 углах  $\varphi_1, \varphi_2, \varphi_3, \theta_1, \theta_2, \theta_3$ , где  $\theta_1, \theta_2, \theta_3$  – три пространственно-временных угла. Как известно, вращение в углах  $\theta_1, \theta_2, \theta_3$  связано с физикой поступательного ускорения начала ускоренной системы отсчета [7].

Таким образом, для более последовательного описания спинурующих физических объектов уравнением Паули (4.9) и уравнением Дирака (4.27) необходимо изменить наши представления о пространстве событий, лежащем в основе квантовой теории. Из проведенного краткого анализа следует, что пространство должно быть 10-ти мерным и расслоенным, при этом 4 голономных трансляционных координаты  $x, y, z, ct$ , образуют его базу, а 6 неголономных (безразмерных) вращательных координат  $\varphi_1, \varphi_2, \varphi_3, \theta_1, \theta_2, \theta_3$  образуют слой.

На множестве вращательных координат  $\varphi_1, \varphi_2, \varphi_3, \theta_1, \theta_2, \theta_3$  действует комплексная группа Мебиуса  $M(2.C)$ , которая может быть представлена как матричная группа *унимодулярной специальной линейной группы*  $SL(2.C)$  [50]. Группа Мебиуса изоморфна группе  $SL(2.C)$

$$M(2.C) = SL(2.C)/\{\pm I\}, \quad (5.19)$$

где

$$I = \begin{pmatrix} 1 & 0 \\ 0 & 1 \end{pmatrix} \quad (5.20)$$

Соотношения (5.19) и (5.20) формально отображают тот факт, что группу  $SL(2.C)$  можно рассматривать как двулистное накрытие группы  $M(2.C)$ .

В терминах однородных координат можно выразить  $w = f(z)$  матричным уравнением

$$\begin{pmatrix} w_1 \\ w_2 \end{pmatrix} = \begin{pmatrix} a & b \\ c & d \end{pmatrix} \begin{pmatrix} z_1 \\ z_2 \end{pmatrix}, \quad (5.21)$$

при этом выполняется условие нормировки

$$ad - bc = 1 \quad (5.22)$$

и  $f(z) = -\bar{f}(z)$ .

### 5.1 Модель поляризации Вакуума по спину

По определению, «Абсолютным Вакуумом» мы будем рассматривать 10ти мерное расслоенное пространство с 4мя трансляционными координатами  $x, y, z, ct$  и 6тью вращательными координатами  $\varphi_1, \varphi_2, \varphi_3, \theta_1, \theta_2, \theta_3$ . Среднее значение всех физических характеристик пространства до и поле рождения материи из Вакуума должно быть равно нулю в силу Общего Закона Сохранения.

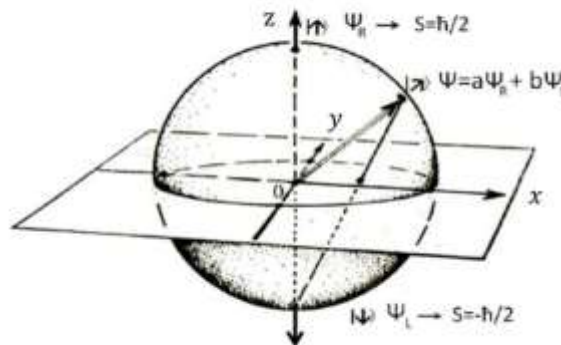


Рис. 6. Поляризация Вакуума по спину на сфере Блоха-Пенроуза-Римана



Будем обозначать среднее значение вакуумного состояния по спину как  $\langle \uparrow | \downarrow \rangle = 0$ , считая, что  $\langle \uparrow |$  означает спинор

$$\Psi_R = \begin{pmatrix} \Psi_3 \\ \Psi_4 \end{pmatrix} = \iota_{\dot{B}} \quad , \quad \dot{B} = \dot{0}, \dot{1} \quad (5.23)$$

со спином  $s = \hbar/2$ , а  $|\downarrow\rangle$  обозначает спинор

$$\Psi_L = \begin{pmatrix} \Psi_1 \\ \Psi_2 \end{pmatrix} = o_A \quad , \quad A = 0, 1, \quad (5.24)$$

имеющий спин  $s = -\hbar/2$  (рис. 6). В чисто вакуумном состоянии спиноры (5.23) и (5.24) компенсируют друг друга в каждой точке пространства событий. При возбуждении вакуума по спину (спонтанном или вынужденном) возникает общая волновая функция

$$\Psi = a\Psi_R + b\Psi_L \quad , \quad (5.25)$$

при этом выполняется условие нормировки  $a^2 + b^2 = 1$ . Таким образом, при возбуждении вакуума по спину сразу возникают правые и левые спинорные поля. Эти поля распространяются в пространстве, но их сумма (в среднем) всегда равна нулю.

## 6. Уравнения спинорных полей, рожденных из Вакуума

Результаты, которые были получены в квантовой электродинамике с использованием уравнений Дирака (4.27), позволяют (с общепринятой точки зрения) исследовать явления вплоть до расстояний  $10^{-17} \div 10^{-18}$  см. Несмотря на это, П. Дирак считает, что уравнение (4.27) «неверно» [32]. Он считал, что перенормировки уравнений электродинамики, направленные на устранения бесконечно больших величин, появляющихся при вычислениях с использованием ее уравнений, имеют искусственную природу и противоречат правилам, принятым в математике. Кроме того, спинорные уравнения (4.27) не инвариантны относительно преобразований Мебиуса (5.10), которая действует на 10ти мерном многообразии координат  $x, y, z, ct$  и  $\varphi_1, \varphi_2, \varphi_3, \theta_1, \theta_2, \theta_3$ , и на котором, в общем случае заданы две метрики:

а) метрика внешнего пространства (базы) [7,8]

$$ds^2 = g_{ik} dx^i dx^k, \quad g_{jk} = \eta_{ab} e^a_j e^b_k, \quad \eta_{ab} = \eta^{ab} = \text{diag}(1 - 1 - 1 - 1), \quad (6.1)$$

$$i = 0, 1, 2, 3, \quad a = 0, 1, 2, 3,$$

которая в спинорном  $\Delta$  - базисе запишется как [7,8]

$$ds^2 = \varepsilon_{AC} \varepsilon_{\dot{B}\dot{D}} \sigma_i^{A\dot{B}} \sigma_k^{C\dot{D}} dx^i dx^k \quad ; \quad (6.2)$$

б) вращательная метрика внутреннего пространства (слоя) ) [7,8]

$$d\tau^2 = d\chi^a_b d\chi^b_a = T^a_{bk} T^b_{an} dx^k dx^n, \quad (6.3)$$

которая в спинорном  $\Delta$  - базисе запишется как [7,8]

$$d\tau^2 = T^{A\dot{B}}_{C\dot{D}k} T^{C\dot{D}}_{A\dot{B}n} dx^k dx^n, \quad (6.4)$$

где  $T^{A\dot{B}}_{C\dot{D}k}$  – калибровочное поле преобразований Мебиуса (5.10), известное в физике как коэффициенты Фока-Иваненко [51], а в математике как коэффициенты вращения Риччи

[7,8]. Используя комплексную световую тетраду  $z^i_a = (l_a, n_a, m_a, \bar{m}_a)$ , Э. Ньюмен и Р. Пенроуз в работе [52] называют  $T^{AB}_{CDK}$  спиновыми коэффициентами. Используя принцип соответствия, автор дал физическую интерпретацию поля  $T^{AB}_{CDK}$  в неголономном базисе, показав, что этот математический объект  $T^{AB}_{CDK}$  соответствует третьему фундаментальному физическому полю – *полю инерции*, данному каждому из нас в повседневном ощущении [53].

### 6.1 Структурные уравнения Картана геометрии Мебиуса $A_4(6)$ как уравнения Физического Вакуума

В качестве уравнений Физического Вакуума, мы будем рассматривать структурные уравнения Картана геометрии Мебиуса  $A_4(6)$  [7,8]. В самом общем виде уравнения Физического Вакуума представляются в виде системы нелинейных спинорных уравнений, в которую входят:

- 1) геометризованные нелинейные спинорные уравнения Гейзенберга с кубической нелинейностью по спинорам  $o_\alpha$  и  $\bar{l}_\chi$

$$\begin{aligned} \nabla_{\beta\dot{\chi}}\iota_\alpha &= \nu o_\alpha o_\beta \bar{o}_{\dot{\chi}} - \lambda o_\alpha o_\beta \bar{l}_{\dot{\chi}} - \mu o_\alpha \iota_\beta \bar{o}_{\dot{\chi}} + \pi o_\alpha \iota_\beta \bar{l}_{\dot{\chi}} - \\ &\quad - \gamma \iota_\alpha o_\beta \bar{o}_{\dot{\chi}} + \alpha \iota_\alpha o_\beta \bar{l}_{\dot{\chi}} + \beta \iota_\alpha \iota_\beta \bar{o}_{\dot{\chi}} - \varepsilon \iota_\alpha \iota_\beta \bar{l}_{\dot{\chi}}, \end{aligned} \quad (A_{s+}.1)$$

$$\begin{aligned} \nabla_{\beta\dot{\chi}}o_\alpha &= \gamma o_\alpha o_\beta \bar{o}_{\dot{\chi}} - \alpha o_\alpha o_\beta \bar{l}_{\dot{\chi}} - \beta o_\alpha \iota_\beta \bar{o}_{\dot{\chi}} + \varepsilon o_\alpha \iota_\beta \bar{l}_{\dot{\chi}} - \\ &\quad - \tau \iota_\alpha o_\beta \bar{o}_{\dot{\chi}} + \rho \iota_\alpha o_\beta \bar{l}_{\dot{\chi}} + \sigma \iota_\alpha \iota_\beta \bar{o}_{\dot{\chi}} - \kappa \iota_\alpha \iota_\beta \bar{l}_{\dot{\chi}}, \end{aligned} \quad (A_{s+}.2)$$

$$\alpha, \beta, \dots = 0, 1, \quad \dot{\chi}, \dot{\gamma}, \dots = \dot{0}, \dot{1},$$

- 2) геометризованные спинорные уравнения Эйнштейна

$$2\Phi_{AB\dot{C}\dot{D}} + \Lambda \varepsilon_{AB} \varepsilon_{\dot{C}\dot{D}} = \nu T_{A\dot{C}B\dot{D}}; \quad (B_{s+}.1)$$

- 3) геометризованные спинорные уравнения Янга-Миллса с калибровочной группой  $SL(2.C)$

$$\begin{aligned} C_{A\dot{B}C\dot{D}} - \partial_{C\dot{D}} T_{A\dot{B}} + \partial_{A\dot{B}} T_{C\dot{D}} + (T_{C\dot{D}})_A{}^F T_{F\dot{B}} + (T^+_{\dot{D}C})_B{}^F T_{A\dot{F}} - \\ - (T_{A\dot{B}})_C{}^F T_{F\dot{D}} - (T^+_{\dot{B}A})_{\dot{D}}{}^F T_{C\dot{F}} - [T_{A\dot{B}} T_{C\dot{D}}] = -\nu J_{A\dot{C}B\dot{D}}, \end{aligned} \quad (B_{s+}.2)$$

$$A, B, \dots = 0, 1 \quad \dot{B}, \dot{D}, \dots = \dot{0}, \dot{1}$$

плюс уравнения  $\bar{A}_{s+}, \bar{B}_{s+}$  материи левого Мира, плюс уравнения антиматерии  $\bar{A}_{s-}, \bar{B}_{s-}$  правого Мира и антиматерии  $\bar{A}_{s-}, \bar{B}_{s-}$  левого Мира [7,8].

Двухкомпонентные спиноры  $o_\alpha$  и  $\bar{l}_\chi$  в обобщенных уравнениях Гейзенберга  $(A_{s+}.1)$  и  $(A_{s+}.2)$  образуют 4 компонентный спинор Дирака (4.19) обычной квантовой теории. Они преобразуются по  $D(\frac{1}{2}, \frac{1}{2})$  неприводимому представлению группы  $SL(2.C)$ . Спинорная

запись уравнений Эйнштейна  $(B_{s+}^+ . 1)$  содержит в правой части геометризованный тензор энергии-импульса  $T_{ACBD}$  материи. В свою очередь, тензор  $T_{ACBD}$  определяется через спинтензор конторсии  $T_{FB}^+$  (через матрицы Кармели) геометрии  $A_4(6)$ . Спинорное представление уравнений Янга-Миллса  $(B_{s+}^+ . 2)$  с калибровочной группой  $SL(2,C)$  содержит в правой части тензор тока  $J_{ACBD}$ , который определяется через тензор энергии-импульса  $T_{ACBD}$ . Согласно уравнениям  $(A_{s+}^+ . 1) - (B_{s+}^+ . 2)$  мы можем рассматривать Физический Вакуум как сплошную среду, обладающую упругими свойствами. Любое возмущение такой среды описывается совокупностью нелинейных спинорных уравнений Гейзенберга-Эйнштейна-Янга-Миллса. Эти уравнения описывают три фундаментальных поля: гравитационное, электромагнитное и поле инерции.

В общем случае, вакуумное возбуждение - «элементарная частица» описывается сразу всеми этими уравнениями одновременно. Если риманова кривизна Физического Вакуума равна нулю, то для таких объектов остаются лишь уравнения  $(A_{s+}^+ . 1)$  и  $(A_{s+}^+ . 2)$ , которые описывают «первичные поля инерции», не обладающие энергией, но переносящие информацию [7,8].

В правом Мире, в котором построены все современные теории поля, стрела времени направлена из настоящего в будущее, поэтому для уравнений правого Мира выполняется классический принцип причинности. В левом Мире стрела времени направлена из настоящего в прошлое, поэтому в левом Мире существуют отрицательные энергии и следствие предшествует причине (рис.7.) Таким образом, уравнения Физического Вакуума покрывают все области пространства, а их решения носят триплетный характер.

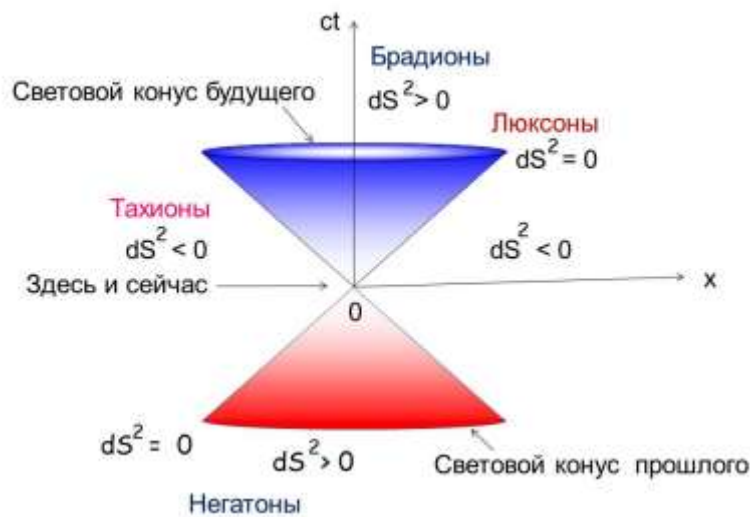


Рис.7. Решения уравнений Физического Вакуума покрывают все области пространства

Например, решение уравнений правого Мира  $(A_{s+}^+ . 1)$ ,  $(A_{s+}^+ . 2)$ ,  $(B_{s+}^+ . 1)$ ,  $(B_{s+}^+ . 2)$  с трансляционной метрикой Шварцшильда описывает триплет, состоящий из брадиона (досветовые скорости движения), люксона (световые скорости движения) и тахиона (сверхсветовые скорости движения) [7,8]. Решения уравнений левого Мира дополнительно описывают брадионы, люксоны с отрицательной массой или энергией, а также тахионы, движущиеся вспять по времени – из будущего в прошлое.

Уравнения  $(A_{s^+}^+. 1), (A_{s^+}^+. 2)$  представляют собой нелинейные спинорные уравнения с нелинейностью порядка  $\psi^3$ , поскольку  $\psi = \psi(\iota_\alpha, o_\alpha)$ . Пытаясь обобщить уравнение Дирака, В. Гейзенберг предложил использовать нелинейное спинорное уравнение следующего вида [54,55]

$$\gamma^k \partial_k \Psi + l^2 \gamma_k \gamma_5 \Psi (\Psi^* \gamma_k \gamma_5 \Psi) = 0. \quad (6.5)$$

Это была попытка преодолеть трудности электродинамики, связанные с расходимостями в ее уравнениях и определить спектра масс элементарных частиц путем конструирования их конструирования из частиц спина  $s = \hbar/2$ . Он полагал, что весь материальный мир можно описать универсальным спинорным полем спина  $s = \hbar/2$ . Нелинейное уравнение Гейзенберга (6.5) описывает элементарные частицы как сгустки спинорного поля. Устойчивые состояния такого сгустка представляют собой полевой солитон с фиксированной массой, зарядом, спином. Программа Гейзенберга не увенчалась успехом потому, что для поставленной им задачи, необходимо было дополнительно использовать спинорные уравнения Эйнштейна  $(B_{s^+}^+. 1)$  и спинорные (калибровочные) уравнения Янга-Миллса  $(B_{s^+}^+. 2)$ . Действительно, если все элементарные частицы рождены из вакуума, то они должны описываться всей системой уравнений  $(A), (B)$ , т.е. системой спинорных уравнений Гейзенберга-Эйнштейна-Янга-Миллса.

## 6.2 Структурные уравнения Картана геометрии Мебиуса $A_4(6)$ и матрицы Кармели

Используя спинорные матрицы Кармели [56-60], автор впервые представил систему уравнений Физического Вакуума  $(A_{s^+}^+. 1), (A_{s^+}^+. 2), (B_{s^+}^+. 1), (B_{s^+}^+. 2)$  в виде [61]

$$\nabla_{[k} \sigma^{i]} - T_{[k} \sigma^{i]} - \sigma^{[i} T^+_{k]} = 0, \quad (A^s)$$

$$R_{kn} + 2\nabla_{[k} T_{n]} - [T_k, T_n] = 0, \quad (B^{s+})$$

$$R^+_{kn} + 2\nabla_{[k} T^+_{n]} - [T^+_k, T^+_n] = 0. \quad (B^{s-})$$

В этих уравнениях  $i, k, n, \dots = 0, 1, 2, 3$  - координатные индексы,  $\sigma^i_{AB}$  - спинорные матрицы (спинорные индексы  $A = 0, 1, \dot{B} = \dot{0}, \dot{1}$  в уравнениях  $(A^s), (B^{s+})$  и  $(B^{s-})$  опущены), обобщающие матрицы Паули на случай искривленного и закрученного пространства Мебиуса  $A_4(6)$ . Матрицы  $R_{ACKn}, R^+_{BDkn}$  представляют собой спинорные матрицы Кармели римановой кривизны (знак + означает эрмитово сопряжение), а матрицы  $T_{kCE}, T^+_{k\dot{B}\dot{D}}$  - спинорные торсионные матрицы, из которых одна из трех неприводимых частей описывает спинорное поле Дирака.

Любой антисимметричный вещественный тензор  $F_{ab}$ , который преобразуется инвариантным образом в группе вращений  $O(3,1)$ , в спинорном базисе  $\sigma^i_{AB}$  преобразуется в спинорной группе  $SL(2, C)$  и расщепляется на пару симметричных спинтензора по правилу  $F_{ab} \leftrightarrow F_{A\dot{B}C\dot{D}} = (\varepsilon_{\dot{B}\dot{D}} F_{AC} + \varepsilon_{AC} \bar{F}_{\dot{B}\dot{D}})/2$ , при этом  $\bar{F}_{BD} = F_{\dot{B}\dot{D}} = F_{\dot{B}\dot{D}}$ . Используя это свойство, можно представить спинтензоры  $T_{A\dot{B}C\dot{D}k}$  и  $R_{A\dot{B}C\dot{D}kn}$  в виде [7,8]

$$T_{A\dot{B}C\dot{D}k} = \frac{1}{2} (\varepsilon_{\dot{B}\dot{D}} T_{ACK} + \varepsilon_{AC} T^+_{\dot{B}\dot{D}k}), \quad (6.6)$$

$$R_{A\dot{B}C\dot{D}kn} = \frac{1}{2} (\varepsilon_{\dot{B}\dot{D}} R_{ACKn} + \varepsilon_{AC} R^+_{\dot{B}\dot{D}kn}), \quad (6.7)$$

где комплексные  $T_{ACK}, R_{ACKn}$  и комплексно-сопряженные  $T^+_{\dot{B}\dot{D}k}, R^+_{\dot{B}\dot{D}kn}$  матрицы Кармели [56-60]

$$T^E_C{}^k = (T_{A\dot{B}})_C{}^E \sigma^k{}^{A\dot{B}}, \quad (6.8)$$

$$R_{A\dot{B}C\dot{D}} = R_{kn}\sigma_{A\dot{B}}^k\sigma_{C\dot{D}}^n . \quad (6.9)$$

Опуская подробности, о которых можно прочитать в математической части книги [7,8], запишем первые структурные уравнения Картана геометрии  $A_4(6)$  в спинорном базисе  $\sigma_{A\dot{D}}^k$  в виде

$$\begin{aligned} & \partial_{C\dot{D}}\sigma^i_{A\dot{B}} - \partial_{A\dot{B}}\sigma^i_{C\dot{D}} = \\ & = (T_{C\dot{D}})_A{}^P \sigma^i_{P\dot{B}} + \sigma^i_{A\dot{R}}(T^+_{\dot{D}C})^{\dot{R}}_{\dot{B}} - (T_{A\dot{B}})_C{}^P \sigma^i_{P\dot{D}} - \sigma^i_{C\dot{R}}(T^+_{\dot{B}A})^{\dot{R}}_{\dot{D}} , \quad (A^S) \\ & A, B, C \dots = 0, 1, \quad \dot{D}, \dot{E}, \dot{F} \dots = \dot{0}, \dot{1} , \end{aligned}$$

где комплексные спинорные матрицы Кармели [7,8]  $(T_{C\dot{D}})_A{}^P$  и комплексно-сопряженные матрицы  $(T^+_{\dot{D}C})^{\dot{R}}_{\dot{B}}$  описывают поле инерции в спинорной системе отсчета.

Вторые структурные уравнения Картана геометрии  $A_4(6)$  в спинорной системе отсчета с использованием матриц Кармели записываются как

$$\begin{aligned} R_{A\dot{B}C\dot{D}} = & \partial_{C\dot{D}}T_{A\dot{B}} - \partial_{A\dot{B}}T_{C\dot{D}} - (T_{C\dot{D}})_A{}^F T_{F\dot{B}} - (T^+_{\dot{D}C})^{\dot{F}}_{\dot{B}} T_{A\dot{F}} + \\ & + (T_{A\dot{B}})_C{}^F T_{F\dot{D}} + (T^+_{\dot{B}A})^{\dot{F}}_{\dot{D}} T_{C\dot{F}} + [T_{A\dot{B}}T_{C\dot{D}}] \quad (B^{S+}) \end{aligned}$$

+ комплексно-сопряженные уравнения.

В обозначениях, принятых в работе Ньюмена-Пенроуза [78], компоненты спинорной производной и спиноров в уравнениях  $(A^S)$  и  $(B^S)$  имеют вид:

1. Для компонент спинорной производной  $\partial_{A\dot{B}}$

$$\partial_{A\dot{B}} = A \begin{pmatrix} 0 \\ 1 \end{pmatrix} \overbrace{\begin{bmatrix} D & \delta \\ \bar{\delta} & \Delta \end{bmatrix}}^{\dot{B}} ; \quad (6.10)$$

2. Для компонент спинорного базиса  $\sigma^i_{A\dot{B}}$

$$\sigma^i_{A\dot{B}} = A \begin{pmatrix} 0 \\ 1 \end{pmatrix} \overbrace{\begin{bmatrix} l^i = (Y^0, V, Y^2, Y^3) & m^i = (\xi^0, \omega, \xi^2, \xi^3) \\ \bar{m}^i = (\bar{\xi}^0, \bar{\omega}, \bar{\xi}^2, \bar{\xi}^3) & n^i = (X^0, U, X^2, X^3) \end{bmatrix}}^{\dot{B}} ; \quad (6.11)$$

3. Для спинорных компонент матриц Кармели  $T_{A\dot{B}}$  и  $T_{A\dot{B}C\dot{D}}$

$$\begin{aligned} T_{0\dot{0}} &= \begin{pmatrix} \varepsilon & -\kappa \\ \pi & -\varepsilon \end{pmatrix}, & T_{0\dot{1}} &= \begin{pmatrix} \beta & -\sigma \\ \mu & -\beta \end{pmatrix}, \\ T_{1\dot{0}} &= \begin{pmatrix} \alpha & -\rho \\ \lambda & -\alpha \end{pmatrix}, & T_{1\dot{1}} &= \begin{pmatrix} \gamma & -\tau \\ \nu & -\gamma \end{pmatrix} \end{aligned} \quad (6.12)$$

и

$$(T_{A\dot{B}})_C{}^D = A\dot{B} \begin{array}{c} \overbrace{\begin{array}{cccc} 00 & 01 & 10 & 11 \\ \varepsilon & -\kappa & \pi & -\varepsilon \\ \beta & -\sigma & \mu & -\beta \\ \alpha & -\rho & \lambda & -\alpha \\ \gamma & -\tau & \nu & -\gamma \end{array}}^{CD} \\ \left( \begin{array}{c} 0\dot{0} \\ 0\dot{1} \\ 1\dot{0} \\ 1\dot{1} \end{array} \right) \end{array}; \quad (6.13)$$

4. Для спинорных компонент тензора Римана  $R_{A\dot{B}C\dot{D}}$

$$\begin{aligned} R_{0i0\dot{0}} &= \begin{pmatrix} \Psi_1 & -\Psi_0 \\ \Psi_2 + 2\Lambda & -\Psi_1 \end{pmatrix}, & R_{1\dot{0}0\dot{0}} &= \begin{pmatrix} \Phi_{10} & -\Phi_{00} \\ \Phi_{20} & -\Phi_{10} \end{pmatrix}, \\ R_{1i1\dot{1}\dot{0}} &= \begin{pmatrix} \Psi_3 & -\Psi_2 - 2\Lambda \\ \Psi_4 & -\Psi_3 \end{pmatrix}, & R_{1\dot{1}0i} &= \begin{pmatrix} \Phi_{12} & -\Phi_{02} \\ \Phi_{22} & -\Phi_{12} \end{pmatrix}, \\ R_{1i0\dot{0}} &= \begin{pmatrix} \Psi_2 + \Phi_{11} - \Lambda & -\Psi_1 - \Phi_{01} \\ \Psi_3 + \Phi_{21} & -\Psi_2 - \Phi_{11} + \Lambda \end{pmatrix}, & R_{1\dot{0}0i} &= \begin{pmatrix} -\Psi_2 + \Phi_{11} + \Lambda & \Psi_1 - \Phi_{01} \\ -\Psi_3 + \Phi_{21} & \Psi_2 - \Phi_{11} - \Lambda \end{pmatrix}. \end{aligned} \quad (6.14)$$

### 6.3 Покомпонентная запись уравнений Физического Вакуума

Процедура решения уравнений  $(A^S)$  и  $(B^{S+})$  начинается с их покомпонентной записи. Для удобства, запишем уравнения  $(A^S)$  в виде

$$\begin{aligned} A^i{}_{C\dot{D}A\dot{B}} &= \partial_{C\dot{D}}\sigma^i{}_{A\dot{B}} - \partial_{A\dot{B}}\sigma^i{}_{C\dot{D}} = \\ &= (T_{C\dot{D}})_A{}^P \sigma^i{}_{P\dot{B}} + \sigma^i{}_{A\dot{R}}(T^+{}_{\dot{D}C})^{\dot{R}}{}_{\dot{B}} - (T_{A\dot{B}})_C{}^P \sigma^i{}_{P\dot{D}} - \sigma^i{}_{C\dot{R}}(T^+{}_{\dot{B}A})^{\dot{R}}{}_{\dot{D}}, \end{aligned} \quad (6.15)$$

Для компоненты  $A^i{}_{0\dot{0}0i}$  этих уравнений, имеем

$$\begin{aligned} A^i{}_{0\dot{0}0i} &= \partial_{0\dot{0}}\sigma^i{}_{0i} - \partial_{0i}\sigma^i{}_{0\dot{0}} = \\ &= (T_{0\dot{0}})_0{}^P \sigma^i{}_{Pi} + \sigma^i{}_{0\dot{R}}(T^+{}_{\dot{0}0})^{\dot{R}}{}_i - (T_{0i})_0{}^P \sigma^i{}_{P\dot{0}} - \sigma^i{}_{0\dot{R}}(T^+{}_{i0})^{\dot{R}}{}_{\dot{0}}, \end{aligned} \quad (6.16)$$

или

$$\begin{aligned} A^i{}_{0\dot{0}0i} &= \partial_{0\dot{0}}\sigma^i{}_{0i} - \partial_{0i}\sigma^i{}_{0\dot{0}} = \\ &= \{ (T_{0\dot{0}})_0{}^0 \sigma^i{}_{0i} + (T_{0\dot{0}})_0{}^1 \sigma^i{}_{1i} \} + \{ \sigma^i{}_{0\dot{0}}(T^+{}_{\dot{0}0})^{\dot{0}}{}_i + \sigma^i{}_{0i}(T^+{}_{\dot{0}0})^{\dot{1}}{}_i \} \\ &\quad - \{ (T_{0i})_0{}^0 \sigma^i{}_{0\dot{0}} + (T_{0i})_0{}^1 \sigma^i{}_{1\dot{0}} \} - \{ \sigma^i{}_{0\dot{0}}(T^+{}_{i0})^{\dot{0}}{}_{\dot{0}} + \sigma^i{}_{0i}(T^+{}_{i0})^{\dot{1}}{}_{\dot{0}} \}. \end{aligned} \quad (6.17)$$

Используя обозначения (6.10)- (6.14), (и комплексно-сопряженных к ним), распишем уравнения (6.17) покомпонентно. В результате получим четыре уравнения

$$\delta V - D\omega = (\bar{\alpha} + \beta - \bar{\pi})V + \kappa U - \sigma\bar{\omega} - (\bar{\rho} + \varepsilon - \bar{\varepsilon})\omega, \quad (6.18)$$

$$\delta Y^\alpha - D\xi^\alpha = (\bar{\alpha} + \beta - \bar{\pi})Y^\alpha + \kappa X^\alpha - \alpha\bar{\xi}^\alpha - (\bar{\rho} + \varepsilon - \bar{\varepsilon})\xi^\alpha. \quad (6.19)$$

$$\alpha = 0, 2, 3.$$

Действуя подобным образом, находим следующую покомпонентную запись первых структурных уравнений Картана геометрии  $A_4(6)$ :

$$\delta V - D\omega = (\bar{\alpha} + \beta - \bar{\pi})V + \kappa U - \sigma\bar{\omega} - (\bar{\rho} + \varepsilon - \bar{\varepsilon})\omega, \quad (A^S.1)$$

$$\delta Y^\alpha - D\xi^\alpha = (\bar{\alpha} + \beta - \bar{\pi})Y^\alpha + \kappa X^\alpha - \alpha \bar{\xi}^\alpha - (\bar{\rho} + \varepsilon - \bar{\varepsilon})\xi^\alpha, \quad (A^s.2)$$

$$\Delta Y^\alpha - DX^\alpha = (\gamma + \bar{\gamma})Y^\alpha + (\varepsilon + \bar{\varepsilon})X^\alpha - (\tau + \bar{\pi})\xi^\alpha - (\bar{\tau} + \pi)\bar{\xi}^\alpha, \quad (A^s.3)$$

$$\Delta C - DU = (\gamma + \bar{\gamma})V + (\varepsilon + \bar{\varepsilon})U - (\tau + \bar{\pi})\bar{\omega} - (\bar{\tau} + \pi)\omega, \quad (A^s.4)$$

$$\delta U - \Delta\omega = -\bar{\nu}V + (\tau - \bar{\alpha} - \beta)U + \bar{\lambda}\bar{\omega} + (\mu - \gamma + \bar{\gamma})\omega, \quad (A^s.5)$$

$$\delta X^\alpha - \Delta\xi^\alpha = -\bar{\nu}Y^\alpha + (\tau - \bar{\alpha} - \beta)X^\alpha + \bar{\lambda}^\alpha \bar{\xi}^\alpha + (\mu - \gamma + \bar{\gamma})\xi^\alpha, \quad (A^s.6)$$

$$\bar{\delta}\omega - \Delta\bar{\omega} = (\bar{\mu} - \mu)V + (\bar{\rho} - \rho)U - (\bar{\alpha} - \beta)\bar{\omega} - (\bar{\beta} - \alpha)\omega, \quad (A^s.7)$$

$$\bar{\delta}\xi^\alpha - \delta\bar{\xi}^\alpha = (\bar{\mu} - \mu)Y^\alpha + (\bar{\rho} - \rho)X^\alpha - (\bar{\alpha} - \beta)\bar{\xi}^\alpha - (\bar{\beta} - \alpha)\xi^\alpha, \quad (A^s.8)$$

$$\alpha = 0, 2, 3.$$

Распишем теперь покомпонентно вторые структурные уравнения Картана ( $B^{s+}$ ). Вычислим, например,  $R_{0i0\dot{0}}$  компоненту этих уравнений

$$\begin{aligned} R_{0i0\dot{0}} = & \partial_{0\dot{0}}T_{0i} - \partial_{0i}T_{0\dot{0}} - (T_{0\dot{0}})_0^0 T_{0i} - (T_{0\dot{0}})_0^1 T_{1i} + (T^+_{\dot{0}0})^0_1 T_{0\dot{0}} - (T^+_{\dot{0}0})^1_1 T_{0i} \\ & + (T_{0i})_0^0 T_{0\dot{0}} + (T_{0i})_0^1 T_{1\dot{0}} + (T^+_{i0})^0_{\dot{0}} T_{0\dot{0}} + (T^+_{i0})^1_{\dot{0}} T_{0i} + T_{0i} T_{0\dot{0}} \\ & - T_{0\dot{0}} T_{0i}. \end{aligned} \quad (6.20)$$

Используя обозначения , запишем (6.20) в виде

$$\begin{aligned} \begin{pmatrix} \Psi_1 & -\Psi_0 \\ \Psi_2 + 2\Lambda & -\Psi_1 \end{pmatrix} = & D \begin{pmatrix} \beta & -\sigma \\ \mu & -\beta \end{pmatrix} - \delta \begin{pmatrix} \varepsilon & -\kappa \\ \pi & -\varepsilon \end{pmatrix} - \varepsilon \begin{pmatrix} \beta & -\sigma \\ \mu & -\beta \end{pmatrix} + \kappa \begin{pmatrix} \gamma & -\tau \\ \nu & -\gamma \end{pmatrix} - \bar{\pi} \begin{pmatrix} \varepsilon & -\kappa \\ \pi & -\varepsilon \end{pmatrix} + \\ & + \bar{\varepsilon} \begin{pmatrix} \beta & -\sigma \\ \mu & -\beta \end{pmatrix} + \beta \begin{pmatrix} \varepsilon & -\kappa \\ \pi & -\varepsilon \end{pmatrix} - \sigma \begin{pmatrix} \alpha & -\rho \\ \lambda & -\alpha \end{pmatrix} + \bar{\alpha} \begin{pmatrix} \varepsilon & -\kappa \\ \pi & -\varepsilon \end{pmatrix} - \bar{\rho} \begin{pmatrix} \beta & -\sigma \\ \mu & -\beta \end{pmatrix} + \\ & + \begin{pmatrix} \beta & -\sigma \\ \mu & -\beta \end{pmatrix} \begin{pmatrix} \varepsilon & -\kappa \\ \pi & -\varepsilon \end{pmatrix} - \begin{pmatrix} \varepsilon & -\kappa \\ \pi & -\varepsilon \end{pmatrix} \begin{pmatrix} \beta & -\sigma \\ \mu & -\beta \end{pmatrix}. \end{aligned}$$

Эти матричные уравнения распадаются на три независимых уравнения

$$(D - \rho - \bar{\rho} - 3\varepsilon + \bar{\varepsilon})\sigma - (\delta - \tau + \bar{\pi} - \bar{\alpha} - 3\beta)\kappa - \Psi_0 = 0,$$

$$(D - \bar{\rho} + \bar{\varepsilon})\beta - (\delta - \bar{\alpha} + \bar{\pi})\varepsilon - (\alpha + \pi)\sigma + (\mu + \gamma)\kappa - \Psi_1 = 0,$$

$$(D - \bar{\rho} + \varepsilon + \bar{\varepsilon})\mu - (\delta + \bar{\pi} - \bar{\alpha} + \beta)\pi - \sigma\lambda + \nu\kappa - 2\Lambda - \Psi_2 = 0.$$

Действуя подобным образом, получаем следующие независимые уравнения ( $B^{s+}$ )

$$(D - \rho - \varepsilon - \bar{\varepsilon})\rho - (\bar{\delta} - 3\alpha - \bar{\beta} + \pi)\kappa - \sigma\bar{\sigma} + \tau\bar{\kappa} - \Phi_{00} = 0, \quad (B^{s+}.1)$$

$$(D - \rho - \bar{\rho} - 3\varepsilon + \bar{\varepsilon})\sigma - (\delta - \tau + \bar{\pi} - \bar{\alpha} - 3\beta)\kappa - \Psi_0 = 0, \quad (B^{s+}.2)$$

$$(D - \bar{\rho} - \varepsilon + \bar{\varepsilon})\tau - (\Delta - 3\gamma - \bar{\gamma})\kappa - \rho\bar{\pi} - \sigma\bar{\tau} - \pi\sigma - \Psi_1 - \Phi_{10} = 0, \quad (B^{s+}.3)$$

$$(D - \rho - \bar{\varepsilon} + 2\varepsilon)\alpha - (\bar{\delta} - \bar{\beta} + \pi)\varepsilon - \beta\bar{\sigma} + \kappa\lambda + \kappa\bar{\gamma} - \pi\rho - \Phi_{10} = 0, \quad (B^{s+}.4)$$

$$(D + \varepsilon + \bar{\varepsilon})\gamma - (\Delta - \gamma - \bar{\gamma})\varepsilon - (\tau + \bar{\pi})\alpha - (\pi + \bar{\tau})\beta - \pi\tau + \nu\kappa + \Lambda - \Psi_2 - \Phi_{11} = 0, \quad (B^{s+}.5)$$

$$(D - \rho + 2\varepsilon - \bar{\varepsilon})\lambda - (\bar{\delta} + \pi + \alpha - \bar{\beta})\pi - \mu\bar{\sigma} + \nu\bar{\kappa} - \Phi_{20} = 0, \quad (B^{s+}.6)$$

$$(D - \bar{\rho} + \bar{\varepsilon})\beta - (\delta - \bar{\alpha} + \bar{\pi})\varepsilon - (\alpha + \pi)\sigma + (\mu + \gamma)\kappa - \Psi_1 = 0, \quad (B^{s+}.7)$$

$$(D - \bar{\rho} + \varepsilon + \bar{\varepsilon})\mu - (\delta + \bar{\pi} - \bar{\alpha} + \beta)\pi - \sigma\lambda + \nu\kappa - 2\Lambda - \Psi_2 = 0, \quad (B^{s+}.8)$$

$$(D + 3\varepsilon + \bar{\varepsilon})\nu - (\Delta + \mu + \gamma - \bar{\gamma})\pi - \mu\bar{\tau} - (\bar{\pi} + \tau)\lambda - \Psi_3 - \Phi_{21} = 0, \quad (B^{s+}.9)$$

$$(\Delta + \mu + \bar{\mu} + 3\gamma - \bar{\gamma})\lambda - (\bar{\delta} + 3\alpha + \bar{\beta} + \pi - \bar{\tau})\nu + \Psi_4 = 0, \quad (B^{s+}.10)$$

$$(\delta - \bar{\alpha} - \beta - \tau)\rho - (\delta - 3\alpha + \bar{\beta})\sigma + \tau\bar{\rho} - (\mu - \bar{\mu})\kappa + \Psi_1 - \Phi_{01} = 0, \quad (B^{s+}.11)$$

$$(\delta - \bar{\alpha} + 2\beta)\alpha - (\bar{\delta} + \bar{\beta})\beta - \mu\rho + \sigma\lambda - (\rho - \bar{\rho})\gamma - (\mu - \bar{\mu})\varepsilon - \Lambda + \Psi_2 - \Phi_{11}, \quad (B^{s+}.12)$$

$$(\delta - \bar{\alpha} + 3\beta)\lambda - (\bar{\delta} + \pi + \alpha + \bar{\beta})\mu - (\rho - \bar{\rho})\nu + \pi\bar{\mu} + \Psi_3 - \Phi_{21} = 0, \quad (B^{s+}.13)$$

$$(\delta - \tau + \bar{\alpha} + \beta)\gamma - (\Delta - \gamma + \bar{\gamma} + \mu)\beta - \mu\tau + \sigma\nu + \varepsilon\bar{\nu} - \alpha\bar{\lambda} - \Phi_{12} = 0, \quad (B^{s+}.14)$$

$$(\delta - \tau + 3\beta + \bar{\alpha})\nu - (\Delta + \gamma + \bar{\gamma} + \mu)\mu - \lambda\bar{\lambda} + \pi\bar{\nu} - \Phi_{22} = 0, \quad (B^{s+}.15)$$

$$(\delta - \tau - \beta + \bar{\alpha})\tau - (\Delta + \mu - 3\gamma + \bar{\gamma})\sigma - \bar{\lambda}\rho + \kappa\bar{\nu} - \Phi_{02} = 0, \quad (B^{s+}.16)$$

$$(\Delta + \bar{\mu} - \gamma - \bar{\gamma})\rho - (\bar{\delta} + \bar{\beta} - \alpha - \bar{\tau})\tau + \sigma\lambda - \nu\kappa + 2\Lambda + \Psi_2 = 0, \quad (B^{s+}.17)$$

$$(\Delta + \bar{\mu} - \bar{\gamma})\sigma - (\bar{\delta} + \bar{\beta} - \bar{\tau})\gamma - (\rho + \varepsilon)\nu + (\tau + \beta)\lambda + \Psi_3 = 0. \quad (B^{s+}.18)$$

Комплексно-сопряженные уравнения ( $B^{s-}$ ) могут быть получены путем замены уравнений ( $B^{s+}.1$ ) – ( $B^{s+}.18$ ) на комплексно-сопряженные.

Уравнения ( $A^s$ ) и ( $B^{s+}$ ), как мы видим, представляют собой дифференциальные нелинейные уравнения первого порядка в частных производных. При решении этих уравнений часто *используют уравнения связи*, в качестве которых выступают вторые тождества Бианки геометрии  $A_4(6)$ . В спинорном  $\Delta$  – базисе эти уравнения расщепляются на следующие уравнения [7,8]

$$\nabla^n R_{ACkn}^* - R_{Eckn}^* T_A^E{}^n + R_{EAkn}^* T_C^E{}^n = 0, \quad (D^{s+})$$

$$\nabla^n R_{BDkn}^{*+} - R_{FDkn}^{*+} T_B^{+F}{}^n + R_{FBDk}^{*+} T_D^{+F}{}^n = 0. \quad (D^{s-})$$

В спинорных матрицах Кармели тождества ( $D^{s+}$ ) представляются в виде

$$\partial^{C\dot{D}} R_{E\dot{F}C\dot{D}}^* + \sigma^n{}_{E\dot{F}} (\partial^{C\dot{D}} \sigma_n^{A\dot{B}}) R_{A\dot{B}C\dot{D}}^* + (\nabla_k \sigma^{kC\dot{D}}) R_{E\dot{F}C\dot{D}}^* - [T^{C\dot{D}} R_{E\dot{F}C\dot{D}}^*] = 0, \quad (6.21)$$

$$A, B, C \dots = 0, 1, \quad \dot{D}, \dot{E}, \dot{F} \dots = \dot{0}, \dot{1}.$$

Легко проверить, что первые структурные уравнения Картана ( $A^s$ ) представляют собой разность двух соотношений

$$\partial_{C\dot{D}} \sigma^i{}_{A\dot{B}} = (T_{C\dot{D}})_A{}^P \sigma^i{}_{P\dot{B}} + \sigma^i{}_{A\dot{R}} (T^+{}_{\dot{D}C})^{\dot{R}}{}_{\dot{B}}, \quad (6.22)$$

$$\partial_{A\dot{B}} \sigma^i{}_{C\dot{D}} = (T_{A\dot{B}})_C{}^P \sigma^i{}_{P\dot{D}} + \sigma^i{}_{C\dot{R}} (T^+{}_{\dot{B}A})^{\dot{R}}{}_{\dot{D}}. \quad (6.23)$$

Подставляя (6.22) в (6.21), получим окончательно тождества ( $D^{s+}$ ) в виде

$$\begin{aligned} \partial^{C\dot{D}} R_{E\dot{F}C\dot{D}}^* - (T^{C\dot{D}})_E{}^A R_{A\dot{F}C\dot{D}}^* - (T^{+D\dot{C}}) R_{E\dot{B}C\dot{D}}^* + (T_P^{\dot{D}})^{CP} R_{E\dot{F}C\dot{D}}^* + (T_{\dot{Q}}^{+C})^{\dot{Q}\dot{D}} R_{E\dot{F}C\dot{D}}^* \\ + [T^{C\dot{D}} R_{E\dot{F}C\dot{D}}^*] = 0 \end{aligned} \quad (D^{s+})$$

$$A, B, C \dots = 0, 1, \quad \dot{D}, \dot{E}, \dot{F} \dots = \dot{0}, \dot{1}.$$

#### 6.4 Некоторые физически значимые решения уравнений Физического Вакуума и классификация решений по группам изометрий.

В книге [7,8] доказана теорема, согласно которой структурные уравнения ( $A$ ), ( $B$ ) геометрии  $A_4(6)$  совпадают с уравнениями формализма Ньюмена-Пенроуза (НП-формализм) [52], поэтому технология решения уравнений ( $A$ ), ( $B$ ) полностью совпадает с методом решения уравнений НП-формализма. В качестве независимых переменных в системе уравнений ( $A$ ), ( $B$ ), в общем случае, выступают 20 независимых компонент тензора Римана (6.14), 24 компоненты коэффициентов вращения Риччи (6.12) и 6 независимых компонент обобщенных матриц Паули (6.11).



Представим решение уравнений (A), (B), содержащее две константы интегрирования  $\Psi^0$  и  $\Lambda$ . В обозначениях, принятых в НП – формализме, это решение с метрикой, подобной метрике Шварцшильда-де Ситтера уравнений Эйнштейна [62], записанное в трансляционных координатах  $x^0 = u$ ,  $x^1 = r$ ,  $x^2 = \theta$ ,  $x^3 = \varphi$ , имеет вид:

1. Для компонент обобщенных матриц Паули (6.11):

$$\begin{aligned} \sigma^i{}_{0\dot{0}} &= (0,1,0,0), & \sigma^i{}_{1\dot{1}} &= (1, U, 0,0), & \sigma^i{}_{0\dot{1}} &= \rho(0, \vec{\alpha}, 0, P, iP), & \sigma^i{}_{1\dot{0}} &= \bar{\sigma}^i{}_{0\dot{1}}, \\ \sigma_i{}^{0\dot{0}} &= (1,0,0,0), & \sigma_i{}^{1\dot{1}} &= (-U, 1,0,0), & \sigma_i{}^{0\dot{1}} &= -\frac{1}{2\rho P}(0,0,1, i), & \sigma_i{}^{1\dot{0}} &= \bar{\sigma}_i{}^{0\dot{1}} \end{aligned} \quad (6.24)$$

где

$$\begin{aligned} U &= -\frac{1}{2} + \frac{2\Psi^0}{r} + \tilde{\Lambda}r^2, & P &= (2)^{-\frac{1}{2}}(1 + \zeta\bar{\zeta}/4), & \zeta &= x^2 + ix^3, \\ \Psi^0 &= \text{const}, & \tilde{\Lambda} &= 6\Lambda = \frac{R}{4} = \text{const}. \end{aligned}$$

2. Для спинорных компонент матриц Кармели (6.12):

$$\rho = -\frac{1}{r}, \quad \alpha = -\bar{\beta} = \frac{\alpha^0}{r}, \quad \gamma = \frac{\rho^2\Psi^0}{2} - \tilde{\Lambda}r, \quad (6.25)$$

$$\mu = \frac{\rho}{2} + \frac{2\Psi^0}{r^2}, \quad \alpha^0 = \frac{\zeta}{4}.$$

3. Для спинорных компонент тензора Римана (6.14):

$$\Psi_2 = \Psi = -\frac{\Psi^0}{r^3}, \quad \tilde{\Lambda} = 6\Lambda = \frac{R}{4} = \text{const}. \quad (6.26)$$

Трансляционная метрика (6.2) этого решения имеет вид

$$\begin{aligned} ds^2 &= \left(1 - \frac{2\Psi^0}{r} - \frac{\Lambda r^2}{3}\right) c^2 dt^2 - \left(1 - \frac{2\Psi^0}{r} - \frac{\Lambda r^2}{3}\right)^{-1} dr^2 - \\ &\quad - r^2(d\theta^2 + \sin^2\theta d\varphi^2) \end{aligned} \quad (6.27)$$

и содержит две произвольных константы интегрирования  $\Psi^0$  и  $\Lambda$ .

Заметим, что уравнения Физического Вакуума  $(A_{s^+}^+, 1)$ ,  $(A_{s^+}^+, 2)$ ,  $(B_{s^+}^+, 1)$ ,  $(B_{s^+}^+, 2)$ , так же, как и вакуумные уравнения Эйнштейна  $R_{ik} = 0$ , не содержат никаких заранее определенных физических констант. Поэтому уравнения Физического Вакуума необходимо рассматривать как «матрицу возможного». Решения уравнений Физического Вакуума, например решение (6.24)-(6.27), содержат константы (а, в других решениях, и функции) интегрирования, физическое значение которых находится посредством использования принципа соответствия полученных решений с решениями уравнений фундаментальных физических

теорий. В данном случае, сравнивая решение (6.24)-(6.27) с решениями вакуумных уравнений теорией гравитации Эйнштейна  $R_{ik} = -\Lambda g_{ik}$ , находим

$$2\Psi^0 = r_g = \frac{2MG}{c^2}, \quad (6.28)$$

где  $r_g$  – гравитационный радиус и

$$\Lambda < 0 = const \quad (6.29)$$

- космологическая константа, которая из астрофизических данных имеет следующее значение

$$|\Lambda| \approx 1/R_0^2 \approx 10^{-56} (m)^{-2}. \quad (6.30)$$

Здесь  $R_0 \approx 10^{26+30} m$  – радиус Вселенной.

Следующим физически важным решением уравнений Физического Вакуума, полученным с использованием формализма Ньюмена-Пенроуза оказывается решение Вайдя-Керра [64,65]. В трансляционных координатах  $x^0 = u$ ,  $x^1 = r$ ,  $x^2 = \theta$ ,  $x^3 = \varphi$  это решение имеет вид:

1. Для компонент обобщенных матриц Паули (6.11):

$$\begin{aligned} \sigma^{i_{00}} &= (0,1,0,0), & \sigma^{i_{11}} &= \rho\bar{\rho}(\Omega, -Y, 0, a), & \sigma^{i_{01}} &= -\frac{\bar{\rho}}{\sqrt{2}}(ia \sin \theta, 0, 1, i \operatorname{cosec} \theta), \\ \sigma^{i_{10}} &= \overline{\sigma^{i_{01}}}, & \sigma_i^{00} &= (1,0,0, -a \sin^2 \theta), & \sigma_i^{11} &= \rho\bar{\rho}(Y, (\rho\bar{\rho})^{-1}, 0, -a \sin^2 \theta Y), \\ \sigma_i^{01} &= -\frac{\bar{\rho}}{\sqrt{2}}(ia \sin \theta, 0, -(\rho\bar{\rho})^{-1}, -i\Omega \sin \theta), & \sigma_i^{10} &= \overline{\sigma_i^{01}}, \end{aligned} \quad (6.31)$$

где

$$\Omega = r^2 + a^2, \quad Y = \frac{r^2 + a^2 - 2\Psi^0(u)r}{2}, \quad a = const, \quad \Psi^0 = \Psi^0(u).$$

2. Для спинорных компонент матриц Кармели (6.12) (поля инерции):

$$\begin{aligned} \rho &= -\frac{1}{r - ia \cos \theta}, & \beta &= -ctg\theta \frac{\bar{\rho}}{2\sqrt{2}}, & \pi &= ia \sin \theta \frac{\rho^2}{\sqrt{2}}, & \alpha &= \pi - \bar{\beta}, \\ \mu &= Y\rho^2\bar{\rho}, & \nu &= -i\Psi^0 ra \sin \theta \frac{\rho^2\bar{\rho}}{\sqrt{2}}, & \gamma &= \mu + [r + \Psi^0] \frac{\rho\bar{\rho}}{2}, & \tau &= -ia \sin \theta \frac{\rho\bar{\rho}}{\sqrt{2}} \end{aligned} \quad (6.32)$$

3. Для спинорных компонент тензора Римана (6.14):

$$\begin{aligned} \Psi_2 &= \Psi^0 \rho^3, & \Psi_3 &= -i\Psi^0 a \sin \theta \frac{\rho^2\bar{\rho}}{2\sqrt{2}} - i2\Psi^0 ra \sin \theta \frac{\rho^3\bar{\rho}}{\sqrt{2}}, \\ \Psi_4 &= \Psi^0 ra^2 \sin^2 \theta \frac{\rho^3\bar{\rho}}{2} + \Psi^0 ra^2 \sin^2 \theta \rho^4 \bar{\rho}, \end{aligned} \quad (6.33)$$

$$\Phi_{12} = -i\dot{\Psi}^0 a \sin \theta \frac{\rho^2 \bar{\rho}}{2\sqrt{2}}, \quad \Phi_{22} = -\ddot{\Psi}^0 r a^2 \sin^2 \theta \frac{\rho^2 \bar{\rho}^2}{2} - \dot{\Psi}^0 r^2 \rho^2 \bar{\rho}^2.$$

В этом решении  $\Psi^0(u)$  - функция источника, зависящая от времени  $u$  и  $a = const$  - параметр Керра, описывающий вращение источника. Трансляционная метрика решения (6.31)-(6.33) имеет вид [7,8]

$$\begin{aligned} ds^2 = & \left(1 - \frac{2\Psi^0(t)r}{r^2 + a^2 \cos^2 \theta}\right) c^2 dt^2 + \frac{4\Psi^0(t)ra}{r^2 + a^2 \cos^2 \theta} \sin^2 \theta 2d\varphi c dt - \\ & - \frac{r^2 + a^2 \cos^2 \theta}{r^2 - 2\Psi^0(t)r + a^2} dr^2 - 2a \sin^2 \theta dr dy - (\rho \bar{\rho})^{-1} dx^2 - \\ & - (r^2 + a^2 \cos^2 \theta) d\theta^2 - \\ & - \left(r^2 + a^2 + \frac{2\Psi^0(t)ra^2}{r^2 + a^2 \cos^2 \theta} \sin^2 \theta\right) \sin^2 \theta d\varphi^2. \end{aligned} \quad (6.34)$$

Решение (6.31)-(6.34) содержит функцию интегрирования источника поля  $\Psi^0(t)$  и константу  $a = const$ . Используя известное решение Вайдя [64], которое описывает гравитационное монопольное излучение источника с переменной массой  $M(t)$ , поэтому в решении (6.31)-(6.34) мы полагаем

$$2\Psi^0(t) = r_g(t) = \frac{2M(t)G}{c^2}. \quad (6.35)$$

Константу Керра  $a$  было предложено называть, по аналогии с гравитационным радиусом  $r_g$ , спиновым радиусом  $r_s$  [66]

$$r_s = a = const. \quad (6.35a)$$

Для вычисления нерелятивистской потенциальной энергии  $U$ , описывающей взаимодействие пробной массы  $m$  с источником решения (6.31)-(6.34), мы воспользуемся формулой [7,8]

$$U = L_\infty - L = -mc \left[ \left( \eta_{ik} \frac{dx^i}{dt} \frac{dx^k}{dt} \right)^{\frac{1}{2}} - \left( g_{ik} \frac{dx^i}{dt} \frac{dx^k}{dt} \right)^{\frac{1}{2}} \right]. \quad (6.36)$$

Отсюда следует простая формула для приближенной оценки потенциальной энергии взаимодействия пробной частицы и источника поля

$$U = \frac{mc^2}{2} (g_{00} - 1). \quad (6.37)$$

Например, из метрики (6.27) с помощью формулы (6.37), находим

$$U = -\frac{mc^2}{2} \left( \frac{r_g}{r} + \frac{\Lambda r^2}{3} \right). \quad (6.38)$$

Применяя формулу (6.37) к метрике (6.34), имеем

$$U = -\frac{mc^2}{2} \frac{r_g(t)r}{r^2 + a^2 \cos^2 \theta} = -\frac{mc^2 r_g(t)}{2r} + \frac{mc^2 r_g(t)}{2r} \frac{(a^2 \cos^2 \theta)}{r^2 + \cos^2 \theta} . \quad (6.39)$$

Мы можем использовать решение (6.31)-(6.34) для описания кулоновского взаимодействия (кулоновского переменного потенциала источника  $\varphi_C = Ze(t)/r$ ,  $Z = \pm 1, \pm 2 \dots \pm n$ ) с удельным отрицательным зарядом  $k = -e/m$  пробной частицы, если введем электромагнитный радиус  $r_e(t)$ , определяемый как [7,8]

$$r_e(t) = \frac{2eZe(t)}{mc^2} . \quad (6.40)$$

В этом случае решение (6.31)-(6.34) будет описывать взаимодействие источника с переменной массой  $M(t)$ , переменным зарядом  $\pm Ze(t)$  и постоянным спиновым радиусом  $r_s$  с пробной частицей, обладающей отрицательным удельным зарядом  $k = -e/m$ . В результате, мы получили возможность объединить гравитационные и электромагнитные взаимодействия естественным образом, не прибегая к феноменологическим теориям объединения. Такой подход представляет собой решение *первой проблемы Эйнштейна*, предполагающей объединение теории гравитации Эйнштейна с электродинамикой Максвелла-Лоренца.

Каждое из решений уравнений Физического Вакуума можно классифицировать по группам изометрий ( группа, которая оставляет инвариантной метрику решения) пространства  $A_4$  (6) .

Калибровочной группой матричных уравнений (A), (B) является полупрямое произведение группы трансляций  $T_4$  на группу вращений  $O(3.1) : T_4 \ltimes O(3.1)$ . Чтобы отличить одно контрактное решение от другого по групповым свойствам, мы используем технику вложения геометрий  $A_4$  (6) конкретного решения в плоское пространство  $E_p$  большего числа измерений  $p > 4$ . Будем рассматривать пространства  $A_4$  (6) различных решения уравнений Физического Вакуума как непрерывную деформацию плоского пространства Минковского  $E_4(3.1)$ . У каждого решения уравнений Физического Вакуума существует минимальное плоское пространство вложения  $E_p(r, s)$  размерности  $p = r + s$ , где сигнатура  $r + s$  означает  $r$  положительных и  $s$  отрицательных диагональных элементов метрического тензора  $\eta_{ik}$ ,  $i, k = 1, 2, \dots, p$  пространства вложения  $E_p(r, s)$  [7]. В таблице 6.1 представлены изометрические группы Ли различных конкретных пространств вложения  $E_p(r, s)$  и их важнейшие спинорные подгруппы. Например, решение де Ситтера (6.27) имеем минимальное плоское пространство вложения  $E_5(4.1)$ , группу Ли  $SO(4.1)$ , спинорную группу  $SL(4.C)$  и важнейшую подгруппу  $SU(2) \times SU(2)$ . Гравитационное решение с метрикой Шварцшильда получаем из метрики (2.27) при  $\Lambda = 0$  имеет минимальное плоское пространство вложения  $E_6(4.6)$ , группу Ли  $O(4.2)$ , спинорную группу  $SU(2.2)$  и важнейшую подгруппу  $SU(2) \times SU(2)$  [7]. Таблица 6.1 может служить важным инструментом при поиске спектра масс элементарных частиц.

Таблица 6.1

$p$	$E_p(r, s)$	$L_p(r, s)$	Спинорные группы	Важнейшие подгруппы
4	$E_4(3.1)$	$SO(3.1)$	$SL(2.C)$	
4	$E_4(2.2)$	$O(3.1)$	$SU(1.1) \times SU(1.1)$	$SU(2) \times SU(2)$
5	$E_5(4.1)$	$SO(4.1)$	$SL(4.C)$	$SU(1.1) \times SU(1.1)$
5	$E_5(3.2)$	$SO(3.2)$	$SU(1.1.1.1)$	
6	$E_6(5.1)$	$O(5.1)$	$SL(4.C)$	$SU(2) \times SU(2)$
6	$E_6(4.2)$	$O(4.2)$	$SU(2.2)$	$SU(1.1) \times SU(1.1)$
6	$E_6(3.3)$	$O(3.3)$	$SL(4.C)$	$SU(4)$
7	$E_7(6.1)$	$SO(6.1)$	$SL(8.C)$	$SU(2.2)$
7	$E_7(5.2)$	$SO(5.2)$	$SU(2.2.2.2)$	$SU(2) \times SU(2)$
7	$E_7(4.3)$	$SO(4.3)$	$SL(8.C)$	$SU(4)$
8	$E_8(7.1)$	$O(7.1)$	$SL(8.C)$	$SU(4)$
8	$E_8(6.2)$	$O(6.2)$	$SU(1.1) \times SU(4.4)$	$SU(2) \times SU(2)$
8	$E_8(5.3)$	$O(5.3)$	$SL(16.C)$	$SU(2) \times SU(2)$
8	$E_8(4.4)$	$O(4.4)$	$SU(1.1) \times SU(2.2.2.2)$	$SU(4)$
9	$E_9(8.1)$	$SO(8.1)$	$SL(16.C)$	$SU(4.4)$
9	$E_9(7.2)$	$SO(7.2)$	$SU(4.4.4.4)$	$SU(4)$
9	$E_9(6.3)$	$SO(6.3)$	$SL(16.C)$	$SU(2) \times SU(2)$
9	$E_9(5.4)$	$SO(5.4)$	$SU(2.2.2.2.2.2.2.2)$	$SU(8)$
10	$E_{10}(9.1)$	$O(9.1)$	$SL(16.C)$	
10	$E_{10}(8.2)$	$O(8.2)$	$SU(8.8)$	$SU(4)$
10	$E_{10}(7.3)$	$O(7.3)$	$SL(16.C)$	
10	$E_{10}(6.4)$	$O(6.4)$	$SU(4.4.4.4)$	
10	$E_{10}(5.5)$	$O(5.5)$	$SL(16.C)$	

## 7. Решение второй проблемы Эйнштейна

Вакуумные уравнения общерелятивистской теории гравитации  $R_{ik} = 0$  А. Эйнштейн рассматривал как единственно правильные (фундаментальные) уравнения гравитационного поля. Это связано с тем, что в уравнениях Эйнштейна

$$R_{ik} - \frac{1}{2}g_{ik}R = \frac{8\pi G}{c^4}T_{ik}, \quad (7.1)$$

где  $T_{ik}$  - тензор энергии-импульса материи, правая часть (тензор энергии-импульса) не имеет геометрической сущности и, фактически, введена «руками». Различные виды  $T_{ik}$  носят феноменологический характер и являются, по мнению А. Эйнштейна, «временным выходом из сложившейся ситуации». По мнению А. Эйнштейна и его ученика Дж. Уиллера эта фундаментальная трудность теории будет снята (решена вторая проблема Эйнштейна), если:

1. Тензор источников поля  $T_{ik}$  в уравнениях (6.40) будет геометризован [67].
2. Этот тензор будет образован спинорными полями, что должно привести к геометризации квантовой электродинамики ( по мнению Дж. Уиллера, к геометризации уравнения Дирака) [68].

Начало решению второй проблемы Эйнштейна было положено в работах [53, 69,70]. В настоящее время, в полностью геометризованных спинорных уравнениях Эйнштейна  $(\overset{+}{B}_{s+}.1)$  геометризованный тензор энергии-импульса  $T_{A\dot{C}B\dot{D}}$  и геометризованный спинорный ток  $J_{A\dot{C}B\dot{D}}$  в полностью геометризованных уравнениях Янга-Миллса  $(\overset{+}{B}_{s+}.2)$  выражаются через матрицы Кармели (6.12) или (6.13). Спинорный тензор энергии-импульса  $T_{A\dot{C}B\dot{D}}$  и спинорный ток  $J_{A\dot{C}B\dot{D}}$  определяются следующим образом [7,8]

$$T_{A\dot{C}B\dot{D}} = \sigma^i_{A\dot{C}}\sigma^k_{B\dot{D}}T_{ik}, \quad (7.2)$$

где тензор энергии-импульса материи  $T_{ik}$  ( $i, k, n... = 0,1,2,3$ ), записанный в неголономном базисе (4.20)-(4.23). Соответственно, запись спинорных уравнений  $(\overset{+}{A}_{s+}.1)$  -  $(\overset{+}{B}_{s+}.2)$  в неголономном векторном базисе (4.20)-(4.23) имеет вид [7,8]

$$\nabla_{[k}e^a_{j]} + T^i_{[kj]}e^a_i = 0, \quad (A)$$

$$R_{jm} - \frac{1}{2}g_{jm}R = \nu T_{jm}, \quad (B.1)$$

$$C^i_{jkm} + 2\nabla_{[k}T^i_{j|m]} + 2T^i_{s[k}T^s_{j|m]} = -\nu J^i_{jkm}, \quad (B.2)$$

$$i, j, k \dots = 0,1,2,3, \quad a, b, c \dots = 0,1,2,3,$$

где уравнения (A) определяют кручение

$$\Omega^i_{jk} = -T^i_{[jk]} = -\frac{1}{2}e^i_a \left( \nabla_k e^a_j - \nabla_j e^a_k \right) = e^i_a \nabla_{[j} e^a_{k]} \quad (7.3)$$

пространства  $A_4(6)$ , уравнения (B.1) - полностью геометризированные уравнения Эйнштейна, уравнения (B.2) – полностью геометризированные уравнения Янга-Миллса. В уравнениях (B.1) тензор энергии-импульса материи  $T_{jm}$  и тензор тока  $J_{ijkm}$

$$T_{jm} = -\frac{2}{v} \left\{ (\nabla_{[i} T_{|j|m]}^i + T_{s[i}^i T_{|j|m]}^s) - \frac{1}{2} g_{jm} g^{pn} (\nabla_{[i} T_{|p|n]}^i + T_{s[i}^i T_{|p|n]}^s) \right\}. \quad (7.4)$$

$$J_{ijkm} = 2g_{[k(i} T_{j)m]} - T g_{i[m} g_{k]j} / 3 \quad (7.5)$$

образованы полями инерции  $T_{jk}^i$  (коэффициентами вращения Риччи) которые физически можно рассматривать как поля материи, поскольку они образуют тензор энергии-импульса (7.4).

Кручение (7.3) пространства  $A_4(6)$  имеет 24 независимых компоненты и разлагается на сумму неприводимых частей следующим образом

$$\Omega^i{}_{.jk} = \frac{2}{3} \delta_{[k}^i \Omega_{j]} + \frac{1}{3} \varepsilon_{jks}^n \widehat{\Omega}^s + \overline{\Omega}^i{}_{.jk}, \quad (7.6)$$

где  $\Omega^i{}_{.jk} = g^{im} g_{ks} \Omega^s{}_{mj}$ , а вектор  $\Omega_j$ , псевдовектор  $\widehat{\Omega}_j$  и бесследовая часть  $\overline{\Omega}^i{}_{.jk}$  кручения (7.3) определяются как

$$\Omega_j = \Omega^i{}_{.ji}, \quad (7.7)$$

$$\widehat{\Omega}_j = \frac{1}{2} \varepsilon_{jins} \Omega^{ins}, \quad (7.8)$$

$$\overline{\Omega}^s{}_{.js} = 0, \quad \overline{\Omega}_{ijs} + \overline{\Omega}_{jsi} + \overline{\Omega}_{sij} = 0. \quad (7.9)$$

При переходе к спинорному  $\Delta$ -базису спинорное представление поля инерции (коэффициентов вращения Риччи  $T_{ijk}$  имеет вид [52]

$$T_{ijk} \leftrightarrow T_{ABC\dot{c}} = \frac{1}{2} \left( A_{ABC\dot{c}} + \frac{1}{3} (\varepsilon_{AC} \alpha_{B\dot{c}} + \varepsilon_{BC} \alpha_{A\dot{c}}) \right), \quad (7.10)$$

где спинор  $A_{ABC\dot{c}}$  полностью симметричен по нештрихованным индексам

$$A_{ABC\dot{c}} = A_{(ABC)\dot{c}}, \quad (7.11)$$

а спинор  $\alpha_{A\dot{c}}$  определяется как

$$\alpha_{A\dot{c}} = A_{AB}{}^B{}_{\dot{c}}. \quad (7.12)$$

Этот спинор может быть разложен на эрмитову  $\kappa_{A\dot{c}}$  и антиэрмитову  $\mu_{A\dot{c}}$  части:

$$\alpha_{A\dot{c}} = \kappa_{A\dot{c}} + i\mu_{A\dot{c}}, \quad (7.13)$$

где

$$\kappa_{A\dot{c}} = \frac{1}{2} (\alpha_{A\dot{c}} + \overline{\alpha}_{A\dot{c}}), \quad \mu_{A\dot{c}} = \frac{1}{2} i (\alpha_{A\dot{c}} - \overline{\alpha}_{A\dot{c}}) \quad (7.14)$$

и

$$\overline{\kappa}_{A\dot{c}} = \overline{\kappa}_{A\dot{c}} = \kappa_{C\dot{A}}, \quad \overline{\mu}_{A\dot{c}} = \overline{\mu}_{A\dot{c}} = -\mu_{C\dot{A}}. \quad (7.15)$$

Между неприводимыми частями кручения (7.7)-(7.9) и спинорами (7.11)-(7.15) имеет место следующее соответствие

$$\Omega_j \leftrightarrow \kappa_{A\dot{C}} , \quad (7.16)$$

$$\widehat{\Omega}_j \leftrightarrow \mu_{A\dot{C}} , \quad (7.17)$$

$$\overline{\Omega}_{js} \leftrightarrow A_{(ABC)\dot{C}} . \quad (7.18)$$

По определению, спинор  $A_{(ABC)\dot{C}}$  преобразуется по  $D(3/2, 1/2)$  неприводимому представлению группы  $SL(2, C)$ . Соответственно, спиноры  $\kappa_{A\dot{C}}$  и  $\mu_{A\dot{C}}$  преобразуются по  $D(1/2, 1/2)$  неприводимым представлениям группы  $SL(2, C)$ .

Через компоненты матрицы Кармели (6.13) спинор (7.10) представляется как [7,8]

$$T_{AB\dot{C}\dot{D}} = AB \begin{pmatrix} 00 \\ 01 \\ 11 \end{pmatrix} \overbrace{\begin{bmatrix} \kappa & \sigma & \rho & \tau \\ \varepsilon & \beta & \alpha & \gamma \\ \pi & \mu & \lambda & \nu \end{bmatrix}}^{c\dot{D}} . \quad (7.19)$$

Используя соотношения (7.10)-(7.19), находим

$$\kappa_{A\dot{C}} = 1/2 \begin{pmatrix} (\rho + \bar{\rho}) - (\varepsilon + \bar{\varepsilon}) & (\tau + \beta) + (\bar{\alpha} - \bar{\pi}) \\ (\bar{\tau} - \bar{\beta}) + (\alpha - \pi) & (\gamma - \bar{\gamma}) - (\mu + \bar{\mu}) \end{pmatrix} , \quad (7.20)$$

$$\mu_{A\dot{C}} = 1/2 \begin{pmatrix} (\rho - \bar{\rho}) - (\varepsilon - \bar{\varepsilon}) & (\tau - \beta) - (\bar{\alpha} - \bar{\pi}) \\ -(\bar{\tau} - \bar{\beta}) + (\alpha - \pi) & (\gamma - \bar{\gamma}) - (\mu - \bar{\mu}) \end{pmatrix} . \quad (7.21)$$

Теперь вспомним, что уравнения квантовой теории, такие как уравнение Шредингера, Паули и Дирака сформулированы в (квази)инерциальной системе отсчета, в которой компоненты (7.16) и (7.18) обращаются в нуль [7,8]. В этом случае тензор энергии-импульса (7.4) принимает вид

$$T_{jm} = \frac{1}{2\nu} \left\{ \widehat{\Omega}_j \widehat{\Omega}_m - \frac{1}{2} g_{jm} \widehat{\Omega}^i \widehat{\Omega}_i \right\} . \quad (7.22)$$

Используя формулы (7.2) и (7.17), получим тензор энергии-импульса материи в виде

$$T_{A\dot{C}B\dot{D}} = \frac{1}{2\nu} \left( \mu_{AB} \mu_{CD} - \frac{1}{2} \varepsilon_{AC} \varepsilon_{BD} \mu_{P\dot{Q}} \mu^{P\dot{Q}} \right) . \quad (7.23)$$

В силу соотношения

$$T = g^{jm} T_{jm} = -\frac{1}{2\nu} \widehat{\Omega}^i \widehat{\Omega}_i = -\frac{1}{2\nu} \mu_{P\dot{Q}} \mu^{P\dot{Q}} = \rho c^2 , \quad (7.24)$$

где  $\rho$  – плотность материи, находим вид  $\rho$  в (квази)инерциальной системе отсчета



$$\rho = -\frac{1}{2\nu c^2} \mu_{P\dot{Q}} \mu^{P\dot{Q}} = \frac{1}{2\nu c^2} \bar{\mu}_{\dot{Q}P} \mu^{P\dot{Q}}. \quad (7.25)$$

Здесь мы использовали свойство спиноров (7.15).

Легко видеть, что, с точностью до множителя, четырехкомпонентный спинор  $\mu_{P\dot{Q}}$  совпадает со спинором Дирака (4.15a), поэтому (7.25) можно рассматривать как плотность поля Дирака.

Подставляя величины поля инерции  $T^i_{jk}$  из решения (6.31)-(6.33) и используя метрику (6.34), находим явный вид геометризованного тензора энергии-импульса (7.4) в полностью геометризованных уравнениях Эйнштейна (B.1)

$$T_{ik} = \frac{1}{\nu} \left( \left[ -\frac{\dot{\Psi}^0}{2} r a^2 \sin^2 \theta (\rho \bar{\rho})^2 - \dot{\Psi}^0 r^2 (\rho \bar{\rho})^2 \right] l_i l_k - \sqrt{2} \dot{\Psi}^0 a \sin \theta \rho \bar{\rho} \operatorname{Im}(l_{(i} \bar{m}_{k)}) \rho \right), \quad (7.26)$$

где

$$l_k l^k = 0, \quad \dot{\Psi}^0 = \frac{\partial \Psi^0}{\partial u}. \quad (7.27)$$

Таким образом, решение уравнений Физического Вакуума ( $\overset{+}{A}_{s+}.1$ ) - ( $\overset{+}{B}_{s+}.2$ ) позволяет вычислить явный вид тензора энергии-импульса (7.4) в полностью геометризованных уравнениях Эйнштейна (B.1) и, соответственно, тензор тока (7.5) в полностью геометризованных уравнениях Янга-Миллса (B.2).

### 7.1 Модель массивной точечной частицы

Покажем, что полностью геометризованные уравнения Эйнштейна (B.1) переходят в уравнения Эйнштейна (7.1) при условии, что источником гравитационного поля является точечная масса.

Действительно, полагая в решении (6.31)-(6.33) параметр  $a = 0$ , получаем из (7.26)

$$T_{ik} = -\frac{1}{\nu} [\dot{\Psi}^0 r^2 (\rho \bar{\rho})^2] l_i l_k, \quad l_k l^k = 0. \quad (7.27)$$

Из определения  $T_{ik} = \rho c^2 l_i l_k$ , находим плотность материи

$$\rho = -2\dot{\Psi}^0(u)/\nu c^2 r^2, \quad \dot{\Psi}^0(u) < 0. \quad (7.28)$$

Рассмотрим предельный переход плотности (7.28)  $\dot{\Psi}^0(u) \rightarrow \Psi^0 = \text{const}$ , когда источник перестает излучать. Для этого введем параметр  $\varsigma$  размерности длины

$$\varsigma = \frac{\pi r^2}{2\Psi^0} |\dot{\Psi}^0(u)| \quad (7.29)$$

и представим плотность (7.28) через этот параметр в виде

$$\rho = \frac{8\pi\Psi^0}{\nu c^2} \frac{1}{2\pi r^2} \frac{\varsigma}{r^2} = \frac{8\pi\Psi^0}{\nu c^2} \frac{1}{2\pi r^2} \frac{\varsigma}{(r^2 + \varsigma^2)} \left( 1 + \frac{\varsigma^2}{r^2} \right). \quad (7.30)$$

Из (7.29) видно, что при  $\dot{\Psi}^0(u) \rightarrow \Psi^0 = \text{const}$  величина  $\varsigma \rightarrow 0$ . Используя известную формулу

$$\frac{1}{2\pi r^2} \frac{1}{\pi} \lim_{\varsigma \rightarrow 0} \frac{\varsigma}{(r^2 + \varsigma^2)} = \frac{1}{2\pi r^2} \delta(r) = \delta(\vec{r}),$$

где  $\delta(\vec{r})$  – трехмерная функция Дирака, запишем (7.30) (полагая  $\nu > 0$ ) как

$$\begin{aligned}\rho &= \lim_{\psi^0(u) \rightarrow \psi^0} \frac{2|\dot{\Psi}^0(u)|}{\nu c^2 r^2} = \frac{8\pi\Psi^0}{\nu c^2} \frac{1}{2\pi r^2} \lim_{\zeta \rightarrow 0} \frac{\zeta}{(r^2 + \zeta^2)} = \\ &= \frac{8\pi\Psi^0}{\nu c^2} \frac{1}{2\pi r^2} \delta(r) = \frac{8\pi\Psi^0}{\nu c^2} \delta(\vec{r}).\end{aligned}\quad (7.31)$$

В это соотношение входят две неопределенные константы: константа интегрирования  $\Psi^0$  и множитель  $\nu$ . Для определения их значений мы имеем два равенства:

1. При условии  $\Psi^0(u) \rightarrow \Psi^0 = \text{const}$  метрика (6.34) совпадает с метрикой Шварцшильда

$$ds^2 = \left(1 - \frac{r_g}{r}\right) c^2 dt^2 - \left(1 - \frac{r_g}{r}\right)^{-1} dr - r^2 (d\theta^2 + \sin^2 \theta d\varphi^2), \quad (7.32)$$

откуда

$$\Psi^0 = \frac{MG}{c^2} = \frac{r_g}{2} = -\frac{\varphi_N r}{c^2}, \quad (7.33)$$

где  $M$  масса центрального тела,  $r_g$  – гравитационный радиус,  $\varphi_N = -MG/r$  – потенциал Ньютона.

2. Из соотношения для плотности материи (7.31) следует, что перед  $\delta(\vec{r})$  стоит масса источника поля

$$M = \frac{8\pi\Psi^0}{\nu c^2}. \quad (7.34)$$

Используя (7.33) и (7.34), находим значение множителя  $\nu$  в виде

$$\nu = \frac{8\pi G}{c^4} \quad (7.35)$$

Теперь уравнения (B.1) запишутся как

$$R_{ik} - \frac{1}{2} g_{ik} R = \frac{8\pi G}{c^4} T_{ik}, \quad T_{ik} = M c^2 \delta(\vec{r}) l_i l_k, \quad l_k l^k = 0. \quad (7.36)$$

Уравнения (7.36) представляют собой предельный случай излучающего точечного источника с массой  $M$ . Именно для этих уравнений выполняется принцип соответствия уравнений Физического Вакуума уравнениям теории гравитации Эйнштейна (7.1) с отличной от нуля правой частью.

## 7.2 Связь поля инерции с волновой функцией квантовой теории

Обратим внимание читателя на два фундаментальных результата, которые мы получили как следствие уравнений Физического Вакуума:

- 1) Во-первых, решения уравнений Физического Вакуума, в общем случае, носят чисто полевой характер, включая источники полей  $T_{jm}$  и  $J_{ijkm}$  уравнениях (B.1) и (B.2), а точечная частица появляется в чисто полевой теории как предельный случай,

описываемый условием  $\Psi^0(u) \rightarrow \Psi^0 = const$ . Для массивной и заряженной частицы это условие имеет вид  $m(t) \rightarrow m = const$  и  $e(t) \rightarrow e = const$  соответственно.

- 2) Во-вторых, в (квази)инерциальной системе отсчета плотность материи (7.25) выражается (с точностью до множителя) через 4х компонентный спинор Дирака  $\mu_{A\dot{C}}$ , который имеет: а) чисто геометрическую природу и порожден кручением (7.3) 10ти мерного пространства  $A_4(6)$ ; б) спинор Дирака  $\mu_{A\dot{C}}$  математически интерпретируется как неприводимая псевдовекторная часть (7.17) кручения  $\Omega^{..i}_{jk}$ , а физически как поле инерции  $T_{ijk}$  в (квази)инерциальной системе отсчета [1-31].

В педагогических целях, рассмотрим простое доказательство связи волновой функции  $\psi$  в уравнении Шредингера с полем инерции  $T^i_{kj}$ . Прежде всего отметим, что в пространстве, содержащем неголономные координаты  $\varphi_1, \varphi_2, \varphi_3, \theta_1, \theta_2, \theta_3$  уравнений Лагранжа обобщаются и имеют вид [7,8]

$$\frac{d}{dt} \left( \frac{\partial L}{\partial \dot{x}^i} \right) - \frac{\partial L}{\partial x^i} + 2\dot{x}^k \frac{\partial L}{\partial \dot{x}^j} \Omega^j_{ki} = 0, \quad \dot{x}^k = dx^k/dt, \quad (7.37)$$

где  $\Omega^j_{ki}$  - кручение пространства  $A_4(6)$ . Для точечной пробной частицы массы эти уравнения можно переписать как

$$m \frac{d^2 x^i}{ds^2} + m \Gamma^i_{jk} \frac{dx^j}{ds} \frac{dx^k}{ds} + m T^i_{jk} \frac{dx^j}{ds} \frac{dx^k}{ds} = 0, \quad (7.38)$$

где, как показывают вычисления [7,8],

$$m T^i_{jk} \frac{dx^j}{ds} \frac{dx^k}{ds} \quad (7.39)$$

- сила инерции. Поэтому поле  $T^i_{jk}$  было названо полем инерции, порождающим силы инерции. Уравнения движения (7.38) совпадают с уравнениями движения пробной частицы теории гравитации Эйнштейна при условии, что сила инерции (3.39) равна нулю

$$m T^i_{jk} \frac{dx^j}{ds} \frac{dx^k}{ds} = 0. \quad (7.40)$$

Соотношение (7.40) можно рассматривать как уравнение относительно  $T^i_{jk}$ , поскольку это поле имеет симметричную  $T^i_{(jk)}$  и антисимметричную  $T^i_{[jk]}$  по индексам  $j$  и  $k$  части

$$T^i_{jk} = -\Omega^{..i}_{jk} + g^{im} (g_{js} \Omega^{..s}_{mk} + g_{ks} \Omega^{..s}_{mj}) = T^i_{[jk]} + T^i_{(jk)},$$

причем

$$T^i_{[jk]} = -\Omega^{..i}_{jk}, T^i_{(jk)} = g^{im} (g_{js} \Omega^{..s}_{mk} + g_{ks} \Omega^{..s}_{mj}) = 2\Omega^i_{.jk}. \quad (7.41)$$

Решая уравнения (7.40), находим

$$T_{ijk} = -T_{jik} = T_{jki} = -\Omega_{ijk}. \quad (7.42)$$

Таким образом, в (квази)инерциальной системе отсчета, в которой силы инерции равны нулю, поле инерции отлично от нуля, антисимметрично по всем трем индексам и совпадает с кручением  $-\Omega_{ijk}$  геометрии абсолютного параллелизма  $A_4(6)$ .

Ранее мы отметили (см. формулу (7.22)), что в (квази)инерциальных системах отсчета тензор энергии-импульса в геометризованных уравнениях поля (B.1), имеет вид

$$T_{jm} = \frac{1}{2\nu} \left\{ \widehat{\Omega}_j \widehat{\Omega}_m - \frac{1}{2} g_{jm} \widehat{\Omega}^i \widehat{\Omega}_i \right\}. \quad (7.42a)$$

Заметим, что в уравнениях (B.1) тензор энергии-импульса (7.4) имеет как симметричную по индексам  $j$  и  $m$   $T_{(jm)}$  часть, так и антисимметричную часть  $T_{[jm]}$ , которая имеет вид

$$T_{[jm]} = \frac{1}{\nu} \left( -\nabla_i \Omega^{..i}_{jm} - \nabla_m A_j - A_s \Omega^{..s}_{jm} \right), \quad (7.43)$$

где

$$A_j = T^i_{ji}. \quad (7.44)$$

В (квази)инерциальной системе отсчета выполняется условие (7.42), поэтому в этой системе отсчета  $A_j = 0$ . Кроме того, необходимо считать, что в уравнениях (B.1) антисимметричная часть тензора энергии-импульса материи (7.4) также равна нулю  $T_{[jm]} = 0$ , тогда из (7.43) следует

$$\nabla_i \Omega^{..i}_{jm} = -\nabla_i T^{..i}_{jm} = 0. \quad (7.45)$$

Подставляя (7.8) в (7.45), получим

$$\widehat{\Omega}_{m,j} - \widehat{\Omega}_{j,m} = 0, \quad , m = \frac{\partial}{\partial x^m} .$$

Эти уравнения имеют два решения: тривиальное  $\widehat{\Omega} = 0$  и

$$\widehat{\Omega}_m = \Psi_{,m}, \quad (7.46)$$

где  $\Psi$  – псевдоскаляр. Через этот псевдоскаляр тензор материи (7.22) записывается как

$$T_{jm} = \frac{1}{2\nu} \left\{ \Psi_{,j} \Psi_{,m} - \frac{1}{2} g_{jm} \Psi_{,n} \Psi^{,n} \right\}. \quad (7.47)$$

В квантовой теории поля тензор (7.47) рассматривается как тензор энергии-импульса псевдоскалярного поля [71], однако в нашем случае псевдовектор (7.46) определяется как *поле инерции*, а псевдоскаляр  $\Psi$  как *потенциал поля инерции*.

В случае, когда псевдовектор  $\widehat{\Omega}_m$  светоподобен, то его можно представить как

$$\widehat{\Omega}_m = \Phi l_m, \quad l_m l^m = 0, \quad \Phi = \Phi(x^i)$$

и записать тензор энергии-импульса (7.47) в виде

$$T_{jm} = \frac{1}{\nu} \Phi^2(x^i) l_j l_m. \quad (7.48)$$

Отсюда получаем плотность материи

$$\rho = \frac{1}{\nu c^2} \Phi^2(x^i). \quad (7.49)$$

Сравнивая это выражение с полученным ранее соотношением (7.25) мы видим, что более общее определение плотности материи  $\rho$  в (квази)инерциальной системе отсчета оказывается формула (7.25).

Рассмотрим решение (6.31)-(6.34) уравнений Физического Вакуума, которое приводит к уравнениям Эйнштейна (7.36) в пределе  $m(t) \rightarrow m = const$ . Согласно (7.27), мы можем ввести комплексное поле инерции  $\psi$

$$\psi(x^m) = \sqrt{\frac{1}{m\nu c^2}} \phi(x^m) \exp\{-i(k_n x^n)\}, \quad (7.50)$$

$$\psi^*(x^m) = \sqrt{\frac{1}{m\nu c^2}} \phi(x^m) \exp\{i(k_n x^n)\}, \quad (7.51)$$

нормированное на единицу

$$\int \psi^* \psi dV = 1, \quad \nu = 8\pi G/c^4 = const. \quad (7.52)$$

Тогда, учитывая (7.36), плотность материи в соотношении (7.49) можно представить как

$$\rho = m\delta(\vec{r}) = m\psi^*\psi. \quad (7.53)$$

Соотношение (7.51) представляет собой аналог квантового дуализма (1.13) «плоская волна (или набор плоских волн) -точечная частица». Если подставить в экспоненту полей (7.50) и (7.51) соотношения Планка-Эйнштейна (1.3), то мы получим волны де Бройля.

Таким образом, мы показали, что в теории Физического Вакуума, в (квази)инерциальной системе отсчета нормированное на единицу поле инерции совпадает с волной де Бройля, для которой выполняется дуализм волна-частица (7.53).

### 7.3 Квантование слабого гравитационного поля точечного источника

Теперь нам осталось найти уравнения движения квантовых гравитационных полей

$$\psi = \psi_0 \exp\left\{-\frac{i}{\hbar}(p_n x^n)\right\}, \quad (7.54)$$

$$\psi^* = \psi_0 \exp\left\{\frac{i}{\hbar}(p_n x^n)\right\}, \quad (7.55)$$

$$\psi_0(x^m) = \sqrt{\frac{1}{8\pi G m}} \phi(x^m). \quad (7.56).$$

Для этого мы используем вторые тождества Бинки для тензора Римана

$$\nabla_{[p} R^i{}_{jk]m} = 0, \quad (7.57)$$

которые позволяют получить закон сохранения тензора энергии-импульса материи в уравнениях (7.36) в виде

$$\nabla_i \left( R^{ik} - \frac{1}{2} g^{ik} R \right) = \nu \nabla_i T^{ik} = 0, \quad (7.58)$$

или

$$\nabla_i T^{ik} = 0. \quad (7.59)$$

Подставляя сюда тензор энергии-импульса  $T^{ik} = \rho c^2 l^i l^k$ ,  $l^k l_k = 0$ , получаем

$$\nabla_i T^{ik} = \nabla_i(\rho c^2 l^i l^k) = 0. \quad (7.60)$$

Поскольку  $\nabla_i g^{ik} = 0$  [7,8] и для плотности  $\rho$  выполняется условие несжимаемости  $\nabla_i \rho = 0$  для «идеальной жидкости», то уравнения (7.60) распадаются на:

1) геометризованное уравнение непрерывности

$$\nabla_i(\rho l^i) = \partial_i(\rho l^i) + \rho l^n \Gamma_{nj}^j = 0; \quad (7.61)$$

2) геометризованные уравнения, подобные гидродинамическим уравнениям Эйлера

$$\rho \frac{Dl^k}{d\lambda} = \rho \frac{dl^k}{d\lambda} + \rho \Gamma_{mn}^k l^m l^n = 0; \quad (7.62)$$

3) геометризованное уравнение для несжимаемой «идеальной жидкости»

$$\nabla_i \rho = \partial_i \rho = 0. \quad (7.63)$$

В соотношениях (7.61) и (7.62)

$$l^k = \frac{dx^k}{d\lambda}$$

- светоподобный ковектор а  $\lambda$  - параметр, меняющийся вдоль дуги, по которой движется светоподобный ковектор  $l^k$ . Уравнения движения (7.61) и (7.62) действуют на поверхности светового конуса, как и спинор (7.21). Они описывают движение объекта, у которого масса покоя  $m$  должна быть равна нулю. Однако, соотношение (7.53) содержит массу  $m$  отличную от нуля. Преодолеть это противоречие можно, если предположить, что псевдовектор  $\hat{\Omega}_m$  времениподобен времениподобен, то его можно представить в виде  $\hat{\Omega}_m = \varphi(x^i) u_m$ , где  $u_m u^m = 1$  и  $\varphi(x^i)$  – скалярная функция. Подставляя эти соотношения в (7.42а), получим

$$T_{jm} = \frac{1}{v} \varphi^2(x^i) \left( u_j u_m - \frac{1}{2} g_{jm} \right) = \rho c^2 u_j u_m + p g_{jm} \quad (7.64)$$

где

$$a) \rho = \frac{1}{vc^2} \varphi^2(x^i) > 0, \quad b) p = -\frac{1}{2} \rho c^2 < 0. \quad (7.65)$$

По своей структуре тензор (7.64) напоминает тензор энергии-импульса «идеальной жидкости» с отрицательным давлением, однако, на самом деле, мы здесь имеем дело с полем протяженным объектом – сгустком поля инерции. Записывая закон сохранения (7.59) для тензора энергии-импульса (7.64), имеем

$$\nabla_i T^{ik} = \nabla_i(\rho c^2 u^i u^k + p g^{ik}) = \nabla_i(\rho c^2 u^i u^k) + \nabla_i(p g^{ik}) = 0. \quad (7.66)$$

Условие несжимаемости «жидкости» в этом случае запишется подобно (7.63)  $\nabla_i \rho = \partial_i \rho = 0$ , поэтому второй член в правой части (7.66) обращается в нуль

$$\nabla_i(p g^{ik}) = p \nabla_i g^{ik} + g^{ik} \nabla_i p = 0, \quad (7.67)$$

поскольку  $\nabla_i g^{ik} = 0$  по определению, а  $p$  определяется согласно (7.65b). Учитывая (7.67), получаем из закона сохранения (7.66) уравнения движения плотности  $\rho$ , а именно:

- геометризованное уравнение непрерывности

$$\nabla_i(\rho u^i) = \partial_i(\rho u^i) + \rho u^n \Gamma_{nj}^j = 0; \quad (7.68)$$

- геометризованные уравнения, подобные гидродинамическим уравнениям Эйлера

$$\rho \frac{Du^k}{ds} = \rho \frac{du^k}{ds} + \rho \Gamma_{mn}^k u^m u^n = 0. \quad (7.69)$$

Здесь  $ds = \sqrt{g_{ik} dx^i dx^k}$ , при этом плотность материи  $\rho$ , а также плотность в соотношениях (7.65), является функцией не только трех пространственных координат, но и времени  $t$ .

Дополнительный член  $\rho u^n \Gamma_{nj}^j$  в обобщенных уравнениях неразрывности (7.68) указывает на то, что, в общем случае, масса источника не сохраняется. Для постоянных масс это уравнение принимает вид

$$\partial_i(\rho u^i) = 0 \quad (7.70)$$

Полагая, что для поля инерции справедливы соотношения дуализма волна-частица (7.53) и, используя обратную процедуру Э. Маделунга [72], покажем, что уравнение (7.70) распадается на два уравнения Шредингера для функций  $\psi$  и  $\psi^*$ . В самом деле, подставляя плотность поля инерции  $\rho = m \psi^* \psi$  в (7.70), получим

$$\frac{\partial \rho}{\partial t} + \text{div}(\rho \mathbf{v}) \rightarrow \frac{\partial \psi^* \psi}{\partial t} + \text{div}(\psi^* \psi \mathbf{v}) = 0. \quad (7.71)$$

Это нелинейное по  $\psi$  уравнение линеаризуется с помощью подстановок [72]

$$\mathbf{v} = \tilde{C} \text{grad} \ln \frac{\psi}{\psi^*} = \tilde{C} \left( \frac{\text{grad} \psi}{\psi} - \frac{\text{grad} \psi^*}{\psi^*} \right), \quad \psi^* \psi \mathbf{v} = \tilde{C} (\psi^* \text{grad} \psi - \psi \text{grad} \psi^*),$$

$$\tilde{C} = \text{const}.$$

В результате из (7.71) имеем

$$\psi \left( \frac{\partial \psi^*}{\partial t} - \tilde{C} \Delta \psi^* \right) + \psi^* \left( \frac{\partial \psi}{\partial t} + \tilde{C} \Delta \psi \right) = 0 \quad \text{или} \quad \frac{\frac{\partial \psi}{\partial t} + \tilde{C} \Delta \psi}{\frac{\partial \psi^*}{\partial t} - \tilde{C} \Delta \psi^*} = -\frac{\psi}{\psi^*}. \quad (7.72)$$

Равенство (7.72) распадается на два уравнения

$$\frac{\partial \psi}{\partial t} + \tilde{C} \Delta \psi - f \psi = 0 \quad \text{и} \quad \frac{\partial \psi^*}{\partial t} - \tilde{C} \Delta \psi^* + f \psi^* = 0, \quad (7.73)$$

где  $f(\vec{r}, t)$  – некоторая функция. Поскольку мы показали, что поле инерции  $\psi$  при условиях (7.52 – 7.55) совпадает с волной де Бройля, то мы получим из (7.73) уравнение Шредингера (в.1) и комплексно-сопряженное ему, при этом

$$2m\tilde{C} = \hbar/i, \quad 2m\tilde{C}f = U, \quad (7.74)$$

где

$$U = U_g = -\frac{mc^2 r_g}{2 r} = -\frac{mMG}{r} \quad (7.74a)$$

- ньютоновская потенциальная энергия внешнего гравитационного источника.

Таким образом, исходя из уравнений Физического Вакуума, мы привели простое доказательство связи волновой функции  $\psi$  в уравнениях Шредингера с нормированным на единицу полем инерции, которое отлично от нуля в (квази)инерциальной системе и описывается псевдовектором (7.8).

В ускоренной системе отсчета плотность материи  $\rho$  имеет более общий, чем соотношение (7.25), вид и записывается как

$$\rho = \frac{g^{jm} T_{jm}}{c^2} = \frac{2g^{jm}}{vc^2} \{ \nabla_{[i} T_{j|m]}^i + T_{s[i}^i T_{j|m]}^s \}. \quad (7.75)$$

В этом случае плотность материи образована всеми неприводимыми частями (7.7)-(7.9) кручения пространства  $A_4(6)$  [7,8], при этом уравнения движения плотности (7.75) обобщают уравнения движения (7.67), (7.68), принимая следующий вид:

1) геометризованное уравнение непрерывности

$$\nabla^*_{i}(\rho u^i) = \partial_i(\rho u^i) + \rho u^n \Gamma^j_{nj} + \rho u^n T^j_{nj} = 0; \quad (7.76)$$

2) геометризованные уравнения, подобные гидродинамическим уравнениям Эйлера

$$\rho \frac{D^* u^k}{ds} = \rho \frac{du^k}{ds} + \rho \Gamma^k_{mn} u^m u^n + \rho T^k_{mn} u^m u^n = 0. \quad (7.77)$$

Здесь ковариантная производная  $\nabla^*_i$  и абсолютный дифференциал  $D^*$  берутся относительно и связности абсолютного параллелизма  $\Delta^i_{jk} = \Gamma^i_{jk} + T^i_{jk}$  геометрии  $A_4(6)$ . Если ускорения не слишком велики, что можно определить неравенством

$$\left| r_0 \frac{D^* u^k}{ds} \right| \ll 1, \quad (7.78)$$

где  $r_0$  -характерный радиус взаимодействия, то приближенно можно использовать уравнения движения (7.76), (7.77) при исследовании движения нерелятивистских объектов, считая взаимодействия слабыми. Например, из уравнений движения (7.77) следуют уравнения движения для пробной массы  $m$

$$m \frac{D^* u^k}{ds} = m \frac{du^k}{ds} + m \Gamma^k_{mn} u^m u^n + m T^k_{mn} u^m u^n = 0. \quad (7.79)$$

Вычисляя движение  $m$  в метрике Шварцшильда (7.32), находим из уравнений (7.79) в нерелятивистском приближении [7,8]

$$\frac{d^2 x^\alpha}{dt^2} = -mc^2 \Gamma^\alpha_{00} - mc^2 T^\alpha_{00} = \frac{mMG}{r^3} x^\alpha - \frac{mMG}{r^3} x^\alpha = 0. \quad (7.80)$$

$$\alpha, \beta \dots = 1.2.3.$$

Легко видеть, что эти уравнения описывают компенсацию гравитационной силы



$$F^{\alpha}_g = \frac{mMG}{r^3} x^{\alpha}, \quad (7.81)$$

действующей на пробную частицу в ускоренной системе отсчета (в свободно падающем лифте Эйнштейна) *силой инерции*

$$F^{\alpha}_{iner} = -\frac{mMG}{r^3} x^{\alpha}, \quad (7.82)$$

которая равна силе (7.81), но направлена противоположно ей

$$m \frac{d\vec{v}}{dt} = -\frac{\partial U_g}{\partial \vec{r}} - m\vec{W}. \quad (7.83)$$

Уравнения (7.80) справедливы локально внутри *космического корабля, движущегося по стационарной орбите*, но в этом случае они имеют вид

$$m \frac{d\vec{v}}{dt} = -\frac{\partial U_g}{\partial \vec{r}} - m[\vec{\omega}[\vec{\omega}\vec{r}']] = 0, \quad (7.84)$$

где  $\vec{\omega}$  – орбитальная угловая скорость. Именно силы инерции  $-m\vec{W}$  и  $-m[\vec{\omega}[\vec{\omega}\vec{r}']]$  обеспечивают внутри космического корабля состояние невесомости для массивных тел. Сравнивая уравнения (7.80) с уравнениями движениями классической механики

$$m \frac{d^2 x^{\alpha}}{dt^2} = mg^{\alpha} - mW^{\alpha} = 0, \quad (7.85)$$

описывающими свободное падение движение массы  $m$  в ускоренной системе отсчета, получим

$$g^{\alpha} = -c^2 \Gamma^{\alpha}_{00}, \quad W^{\alpha} = c^2 T^{\alpha}_{00}. \quad (7.86)$$

Поскольку уравнения (7.85) так же описывает состояние невесомости на стационарной орбите, причем в (7.85)  $g^{\alpha}$ - гравитационное поле, а  $W^{\alpha}$  - поле инерции, то разумно утверждать, что в уравнениях (7.80) символы Кристоффеля  $\Gamma^i_{jk}$  описывают гравитационные поля, а *коэффициенты вращения Риччи*  $T^i_{jk}$  *поля инерции*.

Известно, что в теории гравитации Эйнштейна в качестве уравнений движения «материальной точки» используются уравнения геодезических риманова пространства, умноженные на массу  $m$

$$m \frac{du^k}{ds} + m\Gamma^k_{mn} u^m u^n = 0. \quad (7.87)$$

В слабых полях и при малых скоростях эти уравнения принимают вид уравнений теории гравитации Ньютона

$$m \frac{d^2 x^{\alpha}}{dt^2} = -mc^2 \Gamma^{\alpha}_{00} = \frac{mMG}{r^3} x^{\alpha} = F^{\alpha}_g. \quad (7.89)$$

Это уравнение, как известно, записано в (квази)инерциальной системе отсчета, в то время как уравнения (7.84) и (7.85) записаны в ускоренной системе отсчета, поскольку содержат поля инерции, и вызываемыми ими силы инерции. Отсюда можно сделать вывод, что

теория гравитации Эйнштейна неполна – ее уравнения движения (7.87), декларируемые как уравнения инвариантные относительно произвольно ускоренных систем отсчета, в действительности *не содержат в явном виде силы и поля инерции*. Следовательно, *они не могут быть инвариантными относительно преобразований между ускоренными системами отсчета*.

#### 7.4 Физическая интерпретация потенциальной энергии Маделунга

Используя уравнения (3.11) и (3.12), полученные в результате применения прямой процедуры Маделунга [37] к уравнению Шредингера (в.1)

$$\frac{\partial \rho_m}{\partial t} + \nabla(\rho_m \vec{v}) = 0, \quad \rho_m = m\psi^* \psi = m\rho_w, \quad \rho_w = \psi^* \psi, \quad (7.90)$$

$$\rho_m \frac{d\vec{v}}{dt} = -\frac{\rho_m}{m} \nabla U_g - \frac{\rho_m}{m} \nabla Q \quad (7.91)$$

и сравнивая (7.91) с нерелятивистским уравнениями (7.77), и учитывая (7.84) находим

$$Q = -\frac{m}{2} [\vec{\omega} \vec{r}]^2. \quad (7.92)$$

Из формулы (7.92) следует, что вакуумная энергия Маделунга в уравнениях Маделунга (3.11) и (3.12) *оказывается потенциальной энергией центробежной силы инерции*.

На рис. 8 представ лены кривая отрицательной потенциальной энергии  $U = -mMG/r$  массы  $m$  в гравитационном поле, созданном массой  $M \gg m$  и отрицательная потенциальная энергия  $Q = -m[\vec{\omega} \vec{r}]^2 / 2$  центробежной силы инерции. Точка пересечения этих энергий

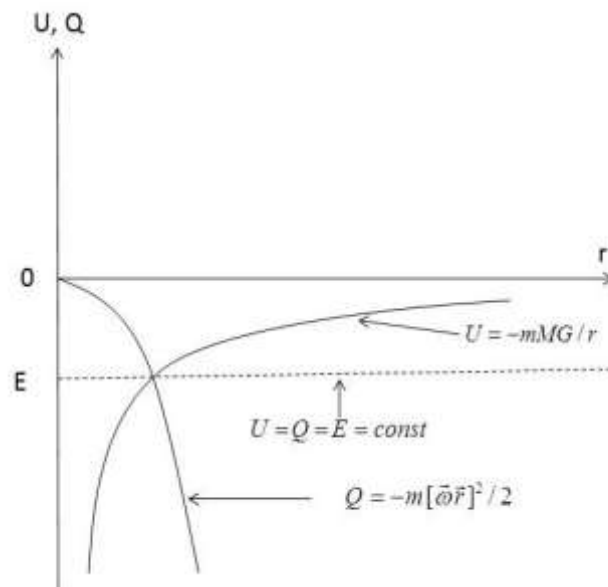


Рис. 8. Условия образования стационарных траекторий в поле центральных сил

определяет энергию  $E = U = Q = \text{const}$  стационарной траектории движения в гравитационном поле. Таким образом:

- 1) *стационарность траекторий массы  $m$  в гравитационном поле массы  $M \gg m$  обеспечивается действием на массу  $m$  локального поля инерции, компенсирующего локально гравитационное поле;*
- 2) *прямая процедура Маделунга, применяемая к уравнению Шредингера, которое не содержит сил инерции, означает запись уравнений квантовой теории в ускоренной системе отсчета, где действуют силы инерции.*

Обратимся теперь к уравнению Шредингера для заряженной частицы, движущейся в электромагнитно поле кулоновского заряда  $Ze$ . В этом случае мы получим такое же условие стационарности существует для траекторий электрона в атоме, когда кулоновская сила, действующая локально на электрон, скомпенсирована силой инерции. Иными словами, известный принцип Бора, постулирующий существование стационарных орбит в атоме, оказывается следствием теории поля, в которой *поле инерции играет важную роль, наравне с гравитационными и электромагнитными полями.*

## 8. Вакуумная электродинамика

Надо отметить, что квантовая теория возникла в результате появления аномальных экспериментов в классической электродинамике, поэтому развитие квантовой теории поля необходимо связать с развитием классической электродинамики. Именно это утверждение подтверждает новую квантовую электродинамику, которая следует из уравнений Физического Вакуума.

### 8.1 Тензорный потенциал электромагнитного поля в электродинамике сильных полей

С позиций Всеобщего принципа относительности линейные уравнения электродинамики Максвелла-Лоренца

$$\frac{\partial F^{ik}}{\partial x^k} = -\frac{4\pi}{c} j^i, \quad j^i = \rho \frac{dx^i}{dt}, \quad \rho = e\delta(\vec{r}), \quad (8.1)$$

$$\frac{\partial F_{ik}}{\partial x^i} + \frac{\partial F_{kl}}{\partial x^i} + \frac{\partial F_{li}}{\partial x^k} = 0, \quad (8.2)$$

$$\frac{du^i}{ds_0} = \frac{e}{mc^2} F^{ki} u_k, \quad (8.3)$$

$$ds_0 = cdt \left\{ 1 - \frac{1}{c^2} \left[ \left( \frac{dx}{dt} \right)^2 + \left( \frac{dy}{dt} \right)^2 + \left( \frac{dz}{dt} \right)^2 \right] \right\}^{1/2} = cdt \left( 1 - \frac{v^2}{c^2} \right)^{1/2}, \quad (8.3a)$$

$$i, k \dots = 0, 1, 2, 3,$$

$$F_{ik} = A_{k,i} - A_{i,k} = \frac{\partial A_k}{\partial x_i} - \frac{\partial A_i}{\partial x_k} = \begin{pmatrix} 0 & E_x & E_y & E_z \\ -E_x & 0 & -H_z & H_y \\ -E_y & H_z & 0 & -H_x \\ -E_z & -H_y & H_x & 0 \end{pmatrix} \quad (8.3b)$$

неверны уже потому, что они «инвариантны» только относительно инерциальных систем отсчета, которые в природе отсутствуют. Уравнения (8.1) – (8.3) частично верны только в ускоренных (квази)инерциальных системах отсчета [7,8,30,73] (или слабых электромагнитных полях), которые в электродинамике определяются неравенством

$$\left| \frac{e^3}{m^2 c^4} F^{ik} \frac{dx_k}{ds_0} \right| \ll 1. \quad (8.4)$$

Это неравенство следует из уравнений движения (8.3) после умножения его на характерную константу классической электродинамики

$$r_{кл} = \frac{e^2}{mc^2} \quad (8.5)$$

- классический радиус электрона.

Проще всего получить уравнения электродинамики сильных полей, если исходить из уравнений Физического Вакуума, записанных в виде расширенной, полностью геометризированной системы уравнений Эйнштейна-Янга-Миллса

$$\nabla_{[k} e_{j]}^a + T_{[kj]}^i e_i^a = 0, \quad (A)$$

$$R_{jm} - \frac{1}{2} g_{jm} R = \nu T_{jm}, \quad (B.1)$$

$$C_{jkm}^i + 2\nabla_{[k} T_{|j|m]}^i + 2T_{s[k}^i T_{|j|m]}^s = -\nu J_{jkm}^i, \quad (B.2)$$

$$i, j, k \dots = 0, 1, 2, 3, \quad a, b, c \dots = 0, 1, 2, 3.$$

Используя решение (6.31)-(6.34) этих уравнений, можно получить, в приближении  $\Psi^0(u) \rightarrow \Psi^0 = \text{const}$ , трансляционную метрику вида (7.32),

$$ds^2 = \left(1 - \frac{r_e}{r}\right) c^2 dt^2 - \left(1 - \frac{r_e}{r}\right)^{-1} dr - r^2 (d\theta^2 + \sin^2 \theta d\varphi^2), \quad (8.6)$$

где

$$r_e = -\frac{2e\varphi_c r}{mc^2}, \quad (8.7)$$

- электромагнитный радиус [73,74] и  $\varphi_c = Ze/r$ ,  $Z = \pm 1, \pm 2 \dots \pm n$  - потенциал Кулона.

Для точечного заряженного источника вместо уравнений Максвелла (8.1) мы имеем полностью геометризированные уравнения Эйнштейна вида

$$R_{ik} - \frac{1}{2} g_{ik} R = \frac{8\pi e}{mc^4} T_{ik}, \quad T_{ik} = Zec^2 \delta(\vec{r}) l_i l_k, \quad l_k l^k = 0, \quad (8.8)$$

подобные уравнениям (7.36), но описывающие сильные электромагнитные поля.

Пространство событий электродинамики сильных полей представляет собой точечное многообразие со структурой параметрического риманова пространства и на котором задана трансляционная риманова метрика [74]

$$ds^2 = g_{ik} dx^i dx^k, i, k, \dots = 0, 1, 2, 3 \quad (8.9)$$

с метрическим тензором

$$g_{ik}(x^i, k) = \eta_{ik} + k a_{ik}, \quad (8.10)$$

зависящим от координат  $x^i$  и от удельного заряда пробной частицы  $k = e/m$ . В общем случае потенциал сильного электромагнитного поля представляет собой симметричный тензор

$$a_{ik} = a_{ki}. \quad (8.11)$$

Для вывода уравнений движения пробного заряда (уравнений геодезических) в этом пространстве запишем функцию действия в виде

$$S = -mc \int ds = -mc \int (g_{ik} dx^i dx^k)^{1/2}. \quad (8.12)$$

Решая вариационную задачу с действием (313), получим уравнения движения заряженной пробной частицы с массой  $m$  и зарядом  $e$  в сильном электромагнитном поле в виде уравнений геодезических [74]

$$\frac{d^2 x^i}{ds^2} = -\Gamma^i_{jk} \frac{dx^j}{ds} \frac{dx^k}{ds} = \frac{e}{mc^2} E^i_{jk} \frac{dx^j}{ds} \frac{dx^k}{ds}, \quad (8.13)$$

параметрического риманова пространства с метрическим тензором (8.10). Здесь напряженность сильного электромагнитного поля  $E^i_{jk}$  определяется как

$$E^i_{jk} = -\frac{c^2}{2} g^{im} (a_{jm,k} + a_{km,j} - a_{jk,m}) = -\frac{mc^2}{e} \Gamma^i_{jk} \quad (8.14)$$

и, подобно символам Кристоффеля  $\Gamma^i_{jk}$ , имеет не как тензорный закон преобразования относительно трансляционных координатных  $x^i$

$$E^{i'}_{j'k'} = \frac{\partial^2 x^i}{\partial x^{j'} \partial x^{k'}} \frac{\partial x^{i'}}{\partial x^i} + \frac{\partial x^j}{\partial x^{j'}} \frac{\partial x^k}{\partial x^{k'}} \frac{\partial x^{i'}}{\partial x^i} E^i_{jk}. \quad (8.15)$$

Умножая (8.13) на классический радиус электрона (8.5), получим условие слабости поля  $E^i_{jk}$  в виде

$$\left| \frac{e^3}{m^2 c^4} E^i_{jk} \frac{dx^j}{ds} \frac{dx^k}{ds} \right| \ll 1. \quad (8.16)$$

Напряженность сильных электромагнитных полей мы описываем величинами (8.14), через которые тензор Римана определяется как [74]

$$R^i_{jkm} = -2 \frac{e}{mc^2} \partial_{[k} E^i_{|j|m]} + 2 \frac{e^2}{m^2 c^4} E^i_{s[k} E^s_{|j|m]}. \quad (8.17)$$

Свертывая этот тензор по индексам  $i$  и  $k$ , получим тензор Риччи  $R_{jm} = R^i_{jim}$

$$R_{jm} = -2 \frac{e}{mc^2} \partial_{[i} E^i{}_{|j|m]} + 2 \frac{e^2}{m^2 c^4} E^i{}_{s[i} E^s{}_{|j|m]}, \quad (8.18)$$

Для точечного источника с плотностью заряда  $\rho = Ze\delta(\vec{x})$  и времениподобного вектора  $u_i$  уравнения поля запишутся как уравнения (8.8)

$$R_{ik} - \frac{1}{2} g_{ik} R = \frac{8\pi k}{c^4} T_{ik}. \quad (8.19)$$

$$T_{ik} = \rho c^2 u_i u_k = e\delta(\vec{x}) c^2 u_i u_k, \quad u^i u_i = 1. \quad (8.20)$$

Мы теперь можем видеть, что метрика (8.6) может быть получена как решение вакуумных  $R_{ik} = 0$ , следующих из уравнений (8.19). Это решение подобно сферически-симметричному решению подобно решению Шварцшильда, но зависящее от кулоновского потенциала источника  $\varphi_C = Ze/r$  и от удельного заряда  $k = e/m$  пробной частиц

## 8.2 Уравнения поля Максвелла как нерелятивистский предел электродинамики сильных полей

Для дальнейших рассуждений удобно представить метрику (8.6) в (квази)декартовых координатах

$$ds^2 = \left(1 + \frac{e}{m} \frac{2\varphi_C}{c^2}\right) c^2 dt^2 - \left(1 - \frac{e}{m} \frac{2\varphi_C}{c^2}\right) (dx^2 + dy^2 + dz^2), \quad (8.21)$$

где

$$a_{00} = \frac{2\varphi_C}{c^2}, \quad a_{\alpha 0} = 0, \quad a_{\alpha\beta} = \frac{2\varphi_C}{c^2}, \quad (8.22)$$

$$\alpha, \beta, \dots = 1, 2, 3.$$

Для заряда, движущегося со скоростью  $u_\alpha$ , вместо метрики (8.21), мы имеем метрику следующего вида (формула 55.44 в книге А. Фока [75])

$$ds^2 = \left(1 + \frac{e}{m} \frac{2\varphi_C}{c^2}\right) c^2 dt^2 - \left(1 - \frac{e}{m} \frac{2\varphi_C}{c^2}\right) (dx^2 + dy^2 + dz^2) + \frac{8}{c^2} \frac{e}{m} (\varphi_c^x dx + \varphi_c^y dy + \varphi_c^z dz) dt. \quad (8.23)$$

$$a_{00} = \frac{2\varphi_C}{c^2}, \quad a_{\alpha 0} = \frac{2}{c^2} a_{00} u_\alpha, \quad a_{\alpha\beta} = a_{00} \delta_{\alpha\beta}. \quad (8.24)$$

Введем обозначения

$$A_0 = \frac{c^2}{2} a_{00} = \varphi_C = \frac{Ze}{r}, \quad (8.25)$$

$$A_\alpha = \frac{c^2}{2} a_{\alpha 0} = \frac{c^2}{2} 2a_{00} u_\alpha = 2\varphi_C u_\alpha = \frac{2Ze}{r} u_\alpha, \quad (8.26)$$

$$A_{\alpha\beta} = \frac{c^2}{2} a_{\alpha\beta} = \varphi_C \delta_{\alpha\beta} = \frac{Ze}{r} \delta_{\alpha\beta}. \quad (8.26a)$$

В слабых электромагнитных полях вакуумные уравнения общерелятивистской электродинамики  $R_{ik} = 0$  представляются как [75]

$$R_{ik} = -\frac{k}{2} \left( \Delta - \frac{1}{c^2} \frac{\partial^2}{\partial t^2} \right) a_{ik} = 0, \quad (8.27)$$

где  $a_{ik}$  – тензорный потенциал сильного гравитационного поля (8.11). Используя нерелятивистское приближение векторного потенциала (8.25), (8.25) несложно показать, что из уравнений (8.27) следуют уравнения для 4D потенциала  $A_i = A_i(A^0, A^\alpha)$  вида

$$\left( \Delta - \frac{1}{c^2} \frac{\partial^2}{\partial t^2} \right) A_i = 0, \quad (8.28)$$

Представим уравнения (8.19) в виде

$$R_{ik} = \frac{8\pi k}{c^4} \left( T_{ik} - \frac{1}{2} g_{ik} T \right). \quad (8.29)$$

Следуя А. Фоку [75], мы потребуем для уравнений поля (8.29) выполнения следующих условий:

1. Условия слабости поля (8.16) для тензора кривизны  $R^i_{jkm}$ .
2. Условие гармоничности для (квази)декартовых  $x^i$  координат

$$\left( \Delta - \frac{1}{c^2} \frac{\partial^2}{\partial t^2} \right) x^i = 0. \quad (8.30)$$

В этом приближении для  $R_{ik}$  находим

$$R_{ik} = -\frac{k}{2} \left( \Delta - \frac{1}{c^2} \frac{\partial^2}{\partial t^2} \right) a_{ik}. \quad (8.31)$$

Расписывая уравнения (8.29) покомпонентно, имеем

$$R_{00} = -\frac{1}{2} \left( \Delta - \frac{1}{c^2} \frac{\partial^2}{\partial t^2} \right) k a_{00} = \frac{8\pi k}{c^4} \left( T_{00} - \frac{1}{2} g_{00} T \right), \quad (8.32)$$

$$R_{\alpha 0} = -\frac{1}{2} \left( \Delta - \frac{1}{c^2} \frac{\partial^2}{\partial t^2} \right) k a_{\alpha 0} = \frac{8\pi k}{c^4} \left( T_{\alpha 0} - \frac{1}{2} g_{\alpha 0} T \right), \quad (8.33)$$

$$R_{\alpha\beta} = -\frac{1}{2} \left( \Delta - \frac{1}{c^2} \frac{\partial^2}{\partial t^2} \right) k a_{\alpha\beta} = \frac{8\pi k}{c^4} \left( T_{\alpha\beta} - \frac{1}{2} g_{\alpha\beta} T \right). \quad (8.34)$$

где

$$T_{00} - \frac{1}{2} g_{00} T = \frac{1}{2} \rho c^2, \quad (8.35)$$

$$T_{\alpha 0} - \frac{1}{2} g_{\alpha 0} T = \rho c^2 v^\alpha, \quad (8.36)$$

$$T_{\alpha\beta} - \frac{1}{2} g_{\alpha\beta} T = \frac{1}{2} \rho c^2 \delta_{\alpha\beta}. \quad (8.37)$$

Подставляя (8.35) в (8.32), находим

$$\left(\Delta - \frac{1}{c^2} \frac{\partial^2}{\partial t^2}\right) \frac{a_{00}}{2} = -\frac{4\pi}{c^2} \rho, \quad (8.38)$$

Умножая это соотношение слева на  $c^2 u^0 = c^2 dx^0 / ds_0$ , получим

$$\left(\Delta - \frac{1}{c^2} \frac{\partial^2}{\partial t^2}\right) A_0 = -\frac{4\pi}{c} j_0, \quad (8.39)$$

где в нерелятивистском приближении порядка  $v/c$  компонента  $A_0$ , с учетом решения имеет вид

$$A_0 = \frac{c^2}{2} a_{00} = \varphi_c = \frac{Ze}{r}, \quad (8.40)$$

что совпадает с компонентой  $A_0$  потенциала (8.25), а  $j_0$  определяется как

$$j_0 = j^0 = \rho c u^0 = \rho \frac{dx^0}{dt}. \quad (8.41)$$

Здесь  $\rho$  — плотность источника поля в системе отсчета, где он покоится. Таким образом, потенциал  $A_0$  для слабых электромагнитных полей удовлетворяет уравнению (8.39).

Подставляя в уравнения (8.33), (8.34) потенциалы (8.26), (8.26а) и учитывая (8.36), (8.37), получим, кроме (8.39) уравнения

$$\left(\Delta - \frac{1}{c^2} \frac{\partial^2}{\partial t^2}\right) A_\alpha = -\frac{4\pi}{c} j_\alpha, \quad (8.42)$$

$$\left(\Delta - \frac{1}{c^2} \frac{\partial^2}{\partial t^2}\right) \varphi_c \delta_{\alpha\beta} = -\frac{4\pi}{c} \rho \delta_{\alpha\beta}. \quad (8.43)$$

Объединяя уравнения (8.39) и (8.42), получим 4D уравнения Максвелла, записанные через 4D потенциал  $A_i$

$$\left(\Delta - \frac{1}{c^2} \frac{\partial^2}{\partial t^2}\right) A_i = -\frac{4\pi}{c} j_i, \quad j^i = (\rho c, \rho u^\alpha), \quad i = 0, 1, 2, 3, \quad (8.44)$$

что, с учетом формулы

$$F_{ik} = A_{k,i} - A_{i,k} = \frac{\partial A_k}{\partial x_i} - \frac{\partial A_i}{\partial x_k}, \quad (8.45)$$

эквивалентно уравнениям Максвелла (8.1).



### 8.3 Уравнения движения Лоренца как следствие уравнений движения электродинамики сильных полей

В слабых электромагнитных полях условия (8.4) и (8.16) дают приблизительно одинаковые результаты. Запишем известное соотношение [76]

$$\Gamma^i_{jk} = \eta^{im} \Gamma_{m,jk} = \pm \Gamma_{i,jk} \begin{pmatrix} i = 1,2,3 \\ i = 0 \end{pmatrix}.$$

Разделяя в уравнениях движения пробного заряда (8.13) пространственную и временную части, находим

$$\frac{d^2 x^0}{ds^2} = \Gamma_{0,jk} \frac{dx^j}{ds} \frac{dx^k}{ds} = -\frac{e}{mc^2} E_{0,jk} \frac{dx^j}{ds} \frac{dx^k}{ds}, \quad (8.46)$$

$$\frac{d^2 x^\alpha}{ds^2} = -\Gamma_{\alpha,jk} \frac{dx^j}{ds} \frac{dx^k}{ds} = \frac{e}{mc^2} E_{\alpha,jk} \frac{dx^j}{ds} \frac{dx^k}{ds}, \quad (8.47)$$

$$\alpha, \beta, \gamma \dots = 1,2,3, i, j, k \dots = 0,1,2,3.$$

Используя условие слабости поля (8.16), заменим в уравнениях (8.46), (8.47)  $ds$  на интервал пространства Минковского (8.3а). Кроме того, в нерелятивистском приближении выполняются приближенные равенства

$$ds_0 \approx cdt, \frac{dx^0}{ds_0} \approx 1, \frac{dx^\alpha}{ds_0} \approx \frac{1}{c} \frac{dx^\alpha}{dt}, \frac{dx^i dx^k}{ds_0 ds_0} \approx \frac{v^2}{c^2} \ll 1. \quad (8.48)$$

Используя формулу для перехода от параметра  $ds_0$  к параметру  $dx^0$  [76, стр. 634]

$$\frac{d^2 x^\alpha}{dx^{0^2}} = \frac{\frac{d^2 x^\alpha}{ds_0^2} \frac{dx^0}{ds_0} - \frac{d^2 x^0}{ds_0^2} \frac{dx^\alpha}{ds_0}}{\left(\frac{dx^0}{ds_0}\right)^3} \approx \frac{d^2 x^\alpha}{ds_0^2} - \frac{d^2 x^0}{ds_0^2} \frac{dx^\alpha}{ds_0},$$

запишем (8.47) в виде

$$\frac{d^2 x^\alpha}{dx^{0^2}} = \frac{e}{mc^2} \left\{ E_{\alpha,jk} \frac{dx^j}{ds_0} \frac{dx^k}{ds_0} + E_{0,jk} \frac{dx^j}{ds_0} \frac{dx^k}{ds_0} \frac{dx^\alpha}{ds_0} \right\}. \quad (8.49)$$

В силу условий (8.48) сохраним во втором члене справа компоненты  $E_{0,jk}$  с  $j = k = 0$ , а в первом члене компоненты с  $j = k = 0$ ,  $j = 0, \kappa = \beta, j = \beta, \kappa = 0$ , тогда из (8.49) имеем

$$\frac{d^2 x^\alpha}{dx^{0^2}} = \frac{e}{mc^2} \left\{ E_{\alpha,00} \frac{dx^0}{ds_0} \frac{dx^0}{ds_0} + 2E_{\alpha,\beta 0} \frac{dx^\beta}{ds_0} \frac{dx^0}{ds_0} + E_{0,00} \frac{dx^0}{ds_0} \frac{dx^0}{ds_0} \frac{dx^\alpha}{ds_0} \right\}. \quad (8.50)$$

Используя формулу

$$E_{i,jk} = -\frac{c^2}{2} (a_{ij,k} + a_{ik,j} - a_{jk,i}),$$

находим

$$\begin{aligned}
E_{\alpha,00} &= c^2 \left( \frac{1}{2} \frac{\partial a_{00}}{\partial x^\alpha} - \frac{1}{c} \frac{\partial a_{\alpha 0}}{\partial t} \right), \quad 2E_{\alpha,\beta 0} = -c^2 \left( \frac{\partial a_{\alpha 0}}{\partial x^\beta} - \frac{\partial a_{\beta 0}}{\partial x^\alpha} \right) - c^2 \frac{1}{c} \frac{\partial a_{\alpha\beta}}{\partial t}, \quad E_{0,00} = \\
&= -c^2 \frac{1}{2c} \frac{\partial a_{00}}{\partial t}, \quad \alpha \neq \beta.
\end{aligned} \tag{8.51}$$

Введем обозначения

$$A_0 = \frac{c^2}{2} a_{00}, \quad A_\alpha = c^2 a_{\alpha 0}. \tag{8.52}$$

Поскольку в нашем приближении  $dx^0/ds_0 \approx 1$ , то вместо (8.52) мы можем записать

$$A_0 = \frac{c^2}{2} a_{00} \frac{dx^0}{ds_0}, \quad A_\alpha = a_{\alpha 0} c^2 \frac{dx^0}{ds_0}, \quad \alpha, \beta = 1, 2, 3. \tag{8.53}$$

В принятых обозначениях уравнения (8.50) принимают вид

$$\begin{aligned}
\frac{d^2 x^\alpha}{ds_0^2} &= -\frac{e}{mc^2} \left\{ (A_{\alpha,0} - A_{0,\alpha}) \frac{dx^0}{ds_0} + (A_{\alpha,\beta} - A_{\beta,\alpha}) \frac{dx^\beta}{ds_0} + c^2 \frac{1}{c} \frac{\partial a_{\alpha\beta}}{\partial t} \frac{dx^\beta}{ds_0} \frac{dx^0}{ds_0} \right. \\
&\left. + c^2 \frac{1}{2c} \frac{\partial a_{00}}{\partial t} \frac{dx^0}{ds_0} \frac{dx^0}{ds_0} \frac{dx^\alpha}{ds_0} \right\}
\end{aligned}$$

или

$$\frac{du^\alpha}{ds_0} = \frac{e}{mc^2} \left\{ F^{\alpha 0} u_0 + F^{\alpha\beta} u_\beta - c^2 \frac{1}{c} \frac{\partial a_{\alpha\beta}}{\partial t} \frac{dx^0}{ds_0} u^\beta - \frac{1}{c} \frac{\partial A_0}{\partial t} \frac{dx^0}{ds_0} u^\alpha \right\}, \tag{8.54}$$

где

$$F_{\alpha k} = A_{k,\alpha} - A_{\alpha,k}, \quad \alpha, \beta, \gamma \dots = 1, 2, 3, \quad i, j, k \dots = 0, 1, 2, 3. \tag{8.55}$$

Используя (8.55), запишем (8.54) как

$$\frac{du^\alpha}{ds_0} = \frac{e}{mc^2} \left\{ F^{k\alpha} u_k - \frac{1}{c} \frac{\partial A_0}{\partial t} \frac{dx^0}{ds_0} u^\alpha - c^2 \frac{1}{c} \frac{\partial a_{\alpha\beta}}{\partial t} u^\beta \right\}, \tag{8.56}$$

- где  $F^{k\alpha}$  компоненты тензора электромагнитного поля (8.3b). Уравнения (8.56), как легко видеть, совпадают с пространственной частью уравнений движения (8.3) электродинамики Максвелла-Лоренца, если пренебречь последними двумя членами в правой части (8.56). Второй член в правой части (8.56) исчезает, как известно, при выборе кулоновской калибровки потенциала  $A_k$ . Как будет показано ниже, учет этого слагаемого позволяет описывать системы с переменным зарядом, в которых лоренцова, а с ней и кулоновская калибровки нарушаются.

Далее, расписываем временную часть (8.46) в виде

$$\frac{du^0}{ds_0} = -\frac{e}{mc^2} E_{0,jk} u^j u^k = -\frac{e}{mc^2} \{ E_{0,00} u^0 u^0 + E_{0,\beta 0} u^\beta u^0 \}, \tag{8.57}$$

где

$$E_{0,\beta 0} = -\frac{c^2}{2} (a_{0\beta,0} + a_{00,\beta} - a_{\beta 0,0}) = -\frac{c^2}{2} \frac{\partial a_{00}}{\partial x_\beta} \tag{8.58}$$

или

$$E_{0,\beta 0} \frac{dx^0}{ds_0} \frac{dx^\beta}{ds_0} = -c^2 \frac{\partial a_{00}}{\partial x_\beta} \frac{dx^0}{ds_0} u^\beta = -\frac{\partial A_0}{\partial x_\beta} u^\beta. \quad (8.59)$$

Учитывая (8.59), имеем для (8.57) соотношение

$$\frac{du^0}{ds_0} = \frac{e}{mc^2} \left\{ \frac{1}{c} \frac{\partial A_0}{\partial t} u^0 + \frac{\partial A_0}{\partial x_\beta} u^\beta \right\}. \quad (8.60)$$

Первый член в правой части (8.60) равен нулю в силу постоянства заряда (кулоновская калибровка), а второй можно записать как

$$\frac{\partial A_0}{\partial x_\beta} u^\beta = -F^{0\alpha} u_\alpha. \quad (8.61)$$

Таким образом, при условии кулоновской калибровки, (8.61) совпадает с временной частью уравнений движения (8.3) электродинамики Максвелла-Лоренца,

$$\frac{du^0}{ds_0} = -\frac{e}{mc^2} F^{0\alpha} u_\alpha. \quad (8.62)$$

Мы видим, что уравнения (8.62) и (8.56) объединяются в уравнения Лоренца (8.3) при выборе кулоновской калибровки и при условии слабых электромагнитных полей (8.16).

Подводя итог, мы приходим к заключению, что:

1) Геометризированные уравнения движения Лоренца

$$m \frac{d\vec{v}}{dt} = e\vec{E} + \frac{e}{c} [\vec{v}\vec{H}] \quad (8.63)$$

и геометризированные уравнения Максвелла

$$\operatorname{div}\vec{E} = 4\pi\rho, \quad \operatorname{rot}\vec{H} = \frac{1}{c} \left( \frac{\partial\vec{E}}{\partial t} + 4\pi\rho\vec{u} \right), \quad \operatorname{div}\vec{H} = 0, \quad \operatorname{rot}\vec{E} + \frac{1}{c} \frac{\partial\vec{H}}{\partial t} = 0 \quad (8.64)$$

следуют из уравнений (8.13) и (8.8) общерелятивистской электродинамики сильных полей при условии а) постоянства заряда  $e = \text{const}$ ; б) слабости поля (8.16) и с точностью до релятивистских членов порядка  $v^2/c^2 \ll 1$ .

2) Уравнения электродинамики (8.63) и (8.64) допускают четырехмерную запись (8.1)-(8.3b) при условии (квази)инерциальности (8.16) системы отсчета, связанной с зарядом.

#### 8.4 Геометризированная электродинамика переменных зарядов и скалярные электромагнитные поля

Уравнения (B.1) вакуумной электродинамики для переменного заряда запишутся как

$$R_{ik} - \frac{1}{2} g_{ik} R = \nu T_{jm}, \quad (8.65)$$

где тензор энергии-импульса  $T_{jm}$  принимает вид (7.27)

$$T_{jm} = \rho c^2 l_j l_m = -\frac{\dot{r}_e(t)}{vr^2} l_j l_m, \dot{r}_e(t) < 0, \quad (8.66)$$

причем

$$r_e(t) = \frac{2eZe(t)}{mc^2} = \frac{e}{m} \frac{2Ze(t)}{c^2} \neq const \quad (8.67)$$

- переменный электромагнитный радиус (8.7), порождаемый переменным зарядом  $Ze(t)$ .

Записывая плотность заряженной материи  $\rho$  в (8.66) в пределе

$$\dot{r}_e(t) \rightarrow r_e = const, \quad (8.68)$$

получаем

$$\rho = \frac{4\pi r_e}{vc^2} \delta(\vec{r}) = \frac{8\pi Ze^2}{\mu c^4} \delta(\vec{r}) = Ze \delta(\vec{r}), \quad (8.69)$$

где  $\delta(\vec{r})$  - 3D функция Дирака и  $Ze = const$ . Из (8.69) следует, что в этом предельном случае в уравнениях (8.65) константа  $\nu$  определяется как

$$\nu = \frac{8\pi e}{mc^4}, \quad (8.70)$$

что совпадает с множителем в уравнениях (8.8).

С учетом (8.67) и метрики (8.21), описывающей источник электромагнитного поля с переменным зарядом

$$ds^2 = \left(1 + \frac{e}{m} \frac{2\varphi_c(t)}{c^2}\right) c^2 dt^2 - \left(1 + \frac{e}{m} \frac{2\varphi_c(t)}{c^2}\right)^{-1} dr^2 - r^2(d\theta^2 + \sin^2 \theta d\varphi^2), \quad (8.71)$$

запишем трехмерную часть уравнений движения (8.56) в метрике (8.71) как

$$\frac{du^\alpha}{ds_0} = \frac{e}{mc^2} \left\{ F^{k\alpha} u_k - \frac{1}{c} \frac{\partial A_0}{\partial t} \frac{dx^0}{ds_0} u^\alpha \right\}, \quad (8.72)$$

откуда следует скалярное поле

$$S_E = A_{0,0} = \frac{1}{r} \cdot \frac{\partial Ze(t)}{c \partial t} = -\frac{1}{c} \frac{\partial \varphi(t)}{\partial t}, \quad (8.73)$$

порожденное переменным зарядом  $Ze(t)$ . С учетом (8.73), 3D уравнения движения (8.72) в нерелятивистском приближении принимают вид

$$\mu \frac{d\vec{v}}{dt} = e\vec{E} + \frac{e}{c} \{ [\vec{v}\vec{H}] + S_E \vec{v} \}. \quad (8.74)$$

В общем случае, в общерелятивистской электродинамике уравнение непрерывности для плотности заряженной материи запишется как

$$\nabla_i(\rho u^i) = \partial_i(\rho u^i) + \rho u^n \Gamma^n_j = 0. \quad (8.75)$$

Используя метрику (8.71), находим в нерелятивистском приближении

$$\partial_i(\rho u^i) = -\rho u^n \Gamma^j_{nj} = -(\rho u^0 \Gamma^j_{0j} + \rho u^\alpha \Gamma^j_{\alpha j}) \approx -\rho u^0 \Gamma^j_{0j} \quad (8.76)$$

или, учитывая (8.51) и (8.52), имеем

$$E_{0,00} = -c^2 \frac{1}{2c} \frac{\partial a_{00}}{\partial t},$$

$$\partial_j(\rho u^j) = \rho \frac{e}{\mu c^2} u^0 E_{0,00} = -\rho \frac{e}{\mu r c} \frac{\partial Z e(t)}{\partial t}. \quad (8.77)$$

Очевидно, что для случая переменного заряда источника электромагнитного поля уравнение неразрывности  $\partial_j(\rho u^j) = 0$  нарушается, в результате в электродинамике возникает *монопольное скалярное излучение* (8.73).

Требование зависимости зарядов от координат и времени приводит к фундаментальному обобщению электродинамики Максвелла-Лоренца. Однако, более подробный анализ этого нововведения, показывает, что ограничение электродинамики Максвелла-Лоренца, связанное с описанием постоянных зарядов, нарушает ее релятивистскую инвариантность [73]. Действительно, условие сохранения заряда  $e' = e = \text{const} = inv$  при преобразованиях Лоренца представляют собой искусственное ограничение на плотность заряда  $\rho$ . Пусть, например, заряд движется со скоростью  $v_x$  вдоль оси  $x$ . В работах А. Пуанкаре и А. Эйнштейна [77,78], использующих преобразования Лоренца, показано, что плотность заряда  $\rho$  при переходе из системы отсчета  $S$ , в которой заряд покоится, в движущуюся инерциальную систему отсчета  $S'$  преобразуется в соответствии с формулой [78]

$$\rho' = \rho \left(1 - \frac{v_x v}{c^2}\right) \beta = \rho \left(1 - \frac{v_x v}{c^2}\right) \beta, \quad \beta = \left(1 - \frac{v^2}{c^2}\right)^{-1/2}. \quad (8.78)$$

Здесь  $v_x$  – скорость движения заряда, которая (при движении во внешнем поле) всегда переменна, а  $v$  – скорость инерциальной системы отсчета, которая всегда постоянна. Точечный заряд с плотностью  $\rho = e\delta(\vec{r})$  в системе отсчета  $S'$  определяется из соотношения

$$e' = \int \rho' dV' = \text{const}, \quad dV' = dx' dy' dz' = \beta dx dy dz$$

или

$$e'(x, t) = \int \rho \left(1 - \frac{v_x v}{c^2}\right) \beta^2 dx dy dz = e \beta^2 \left(1 - \frac{v_x(x, t) v}{c^2}\right). \quad (8.79)$$

Из этой формулы видно, что, в общем случае, заряд всегда зависит от скорости частицы, которая, вообще говоря, при движении заряда во внешних полях электромагнитных полей переменна. Из этой же формулы следует, что инвариантность заряда

$$e' = e = \text{const} = inv \quad (8.80)$$

имеет место при условии

$$\beta^2 \left(1 - \frac{v_x v}{c^2}\right) = 1. \quad (8.81)$$

Очевидно, что это равенство выполняется, если только

$$v_x = v = \text{const}. \quad (8.82)$$

Итак, условие постоянства точечного заряда в электродинамике Максвелла-Лоренца при преобразованиях Лоренца выполняется если:

- 1) заряд  $e$  связан с системой отсчета  $S'$ ;
- 2) система отсчета  $S'$  движется прямолинейно и равномерно (или покоится) относительно инерциальных систем отсчета.

Условия 1) и 2) выполнимы только тогда, когда внешние электромагнитные поля равны нулю, т.е. для свободных зарядов, а мы ведем расчеты для зарядов, движущихся во внешних полях  $\vec{E}$  и  $\vec{H}$ . Это противоречие снимается А. Пуанкаре и А. Эйнштейном предположением, что ускорение зарядов мало и в этом приближении можно считать, что система отсчета, связанная с ускоренно движущимся зарядом, является «почти инерциальной» [77,78]. Именно этот факт лишает уравнения (8.1) и (8.3) релятивистской инвариантности, которая выполняется всегда лишь приближенно и только для слабых полей, удовлетворяющих неравенству (8.7)[79]. Таким образом, уравнения вакуумной электродинамики (8.8) и (8.13) дополнительно описывают монополярное излучение источника электромагнитного поля, которое в электродинамике Максвелла-Лоренца отсутствует в силу закона сохранения заряда. Свободные векторные электромагнитные поля  $\vec{E}$  и  $\vec{H}$  представляют собой дипольное излучение и их свойства хорошо изучены. Они используются во многих технологических приложениях.

Впервые скалярное излучение (8.73) наблюдалось в экспериментах Николой Тесла еще в конце 19 века [80-85], когда не были построены такие основополагающие теории как специальная, общая теории относительности и квантовая механика. Особенно впечатляют эксперименты Тесла по беспроводной передаче электроэнергии [85,86], повторенные автором экспериментально в Таиланде и описанные теоретически в работах [11, 13,14,30].

## 8.5 О двух видах скалярного электромагнитного поля и их связь с квантовой теорией

Как было показано выше, в классической электродинамике Максвелла-Лоренца выполняется закон сохранения заряда  $e = const$  и, как следствие этого закона, сохраняется четырехмерный ток  $J^i$

$$\frac{\partial J^i}{\partial x^i} = \frac{\partial \rho}{\partial t} + \text{div} \vec{J} = 0. \quad (8.83)$$

Напомним, что 4D ток имеет следующие компоненты  $J^i = (J^0 = \rho c, \vec{J} = \rho \vec{v})$ . В свою очередь, следствием закон сохранения (8.83) является условие калибровки Лоренца

$$\frac{\partial A^i}{\partial x^i} = \frac{1}{c} \frac{\partial \varphi}{\partial t} + \text{div} \vec{A} = 0, \quad (8.84)$$

при этом 4D потенциал имеет следующие компоненты  $A^i = (A^0 = \varphi, \vec{A})$   $A_i = (A_0 = \varphi, -\vec{A})$ . Соответственно, для переменного заряда  $e = e(\vec{x}, t) \neq const$ , законы (8.83) и (8.84) нарушаются. В этом случае, дополнительно к векторным электромагнитным полям  $\vec{E}$  и  $\vec{H}$ , появляется скалярное поле  $S$ , которое, в общем случае, мы определим как

$$S = S_E + S_H = -\frac{\partial A^i}{\partial x^i} = -\left(\frac{1}{c}\frac{\partial \varphi}{\partial t} + \text{div}\vec{A}\right) \neq 0, \quad (8.85)$$

где мы обозначили «электромагнитное» скалярное поле

$$S_E = -\frac{1}{c}\frac{\partial \varphi(t)}{\partial t} \quad (8.86)$$

и «магнитное» скалярное поле

$$S_H = -\text{div}\vec{A}. \quad (8.87)$$

С учетом скалярного электромагнитного поля (8.85) уравнения Максвелла принимают вид

$$\square \varphi - \frac{1}{c}\frac{\partial S}{\partial t} = -4\pi\rho, \quad (8.88)$$

$$\square \vec{A} + \text{grad} S = \frac{4\pi}{c}\vec{j}, \quad (8.89)$$

где  $\square = \Delta - \frac{1}{c^2}\frac{\partial^2}{\partial t^2}$  - оператор Даламбера.

Легко видеть, что при  $S = 0$  уравнения (8.88) и (8.89) переходят в обычные уравнения Максвелла с источниками. Через векторные поля  $\vec{E}$  и  $\vec{H}$  уравнения (8.88) и (8.89) запишутся как

$$\text{div}\vec{E} - \frac{1}{c}\frac{\partial S}{\partial t} = 4\pi\rho, \quad (8.90)$$

$$\text{rot}\vec{H} - \frac{1}{c}\frac{\partial \vec{E}}{\partial t} + \text{grad} S = \frac{4\pi}{c}\vec{j}. \quad (8.91)$$

Из этих уравнений видно, что они могут быть получены из уравнений Максвелла заменой

$$\rho \rightarrow \rho' = \rho + \frac{1}{4\pi c}\frac{\partial S}{\partial t}, \quad (8.92)$$

$$\vec{j} \rightarrow \vec{j}' = \vec{j} - \frac{c}{4\pi}\text{grad} S. \quad (8.93)$$

Согласно квантовой модели Маделунга, описываемой уравнениями (3.16) и (3.17), суть квантования связана с движением плотность материи  $\rho$ , определяемой, в нашем случае, полем инерции. Поэтому, вместо уравнений (8.74) необходимо использовать уравнения (7.61), (7.62). Для простоты, мы используем уравнения движения классической электродинамики (8.63), записанные в представлении Маделунга

$$m\rho\frac{d\vec{v}}{dt} = e\left\{\rho\vec{E} + \frac{1}{c}[\vec{j}\vec{H}]\right\}, \quad (8.94)$$

где  $\rho = \psi^*\psi = |\psi|^2 > 0$  и  $\vec{j} = \rho\vec{v}$ .

Используя (8.92) и (8.93), преобразуем правую часть уравнений (9.84) как

$$\begin{aligned} \rho \vec{E} + \frac{1}{c} [\vec{J}\vec{H}] &\rightarrow \left( \rho + \frac{1}{4\pi c} \frac{\partial S}{\partial t} \right) \vec{E} + \frac{1}{c} \left[ \left( \vec{J} - \frac{c}{4\pi} \text{grad } S \right) \vec{H} \right] = \\ &= \left( \rho \vec{E} + \frac{1}{c} [\vec{J}\vec{H}] \right) + \frac{1}{4\pi c} \frac{\partial S}{\partial t} \vec{E} - \frac{1}{4\pi} [\text{grad} S \vec{H}]. \end{aligned} \quad (8.95)$$

Далее представим здесь

$$\frac{1}{4\pi c} \frac{\partial S}{\partial t} \vec{E} = \frac{1}{4\pi c} \frac{\partial (S\vec{E})}{\partial t} - \frac{1}{4\pi c} S \frac{\partial \vec{E}}{\partial t}$$

и используем тождество  $[\text{grad} S \vec{H}] = \text{rot} (S\vec{H}) - S \text{rot} \vec{H}$ . Тогда из (8.95) имеем из (8.94)

$$\begin{aligned} m \left( \rho + \frac{1}{4\pi c} \frac{\partial S}{\partial t} \right) &= \left( \rho \vec{E} + \frac{1}{c} [\vec{J}\vec{H}] \right) + \frac{1}{4\pi c} \frac{\partial (S\vec{E})}{\partial t} - \frac{1}{4\pi} \text{rot} (S\vec{H}) + S \frac{1}{4\pi} \text{rot} \vec{H} - \frac{1}{4\pi c} S \frac{\partial \vec{E}}{\partial t} \\ &= \left( \rho \vec{E} + \frac{1}{c} [\vec{J}\vec{H}] \right) + \frac{1}{4\pi c} \frac{\partial (S\vec{E})}{\partial t} - \frac{1}{4\pi} \text{rot} (S\vec{H}) + S \frac{1}{4\pi} \left( -\frac{1}{c} \frac{\partial \vec{E}}{\partial t} + \text{rot} \vec{H} \right) \\ &= \left( \rho \vec{E} + \frac{1}{c} [\vec{J}\vec{H}] \right) + \frac{1}{4\pi c} \frac{\partial (S\vec{E})}{\partial t} - \text{rot} (S\vec{H}) + S \frac{1}{4\pi} \left( \frac{4\pi}{c} \vec{J} - \text{grad } S \right) \\ &= \left( \rho \vec{E} + \frac{1}{c} [\vec{J}\vec{H}] + \frac{1}{c} \vec{J} S \right) + \frac{1}{4\pi c} \frac{\partial (S\vec{E})}{\partial t} - \text{rot} (S\vec{H}) - \frac{1}{4\pi} S \text{grad} S. \end{aligned} \quad (8.96)$$

В правой части соотношения (9.96) сила  $\vec{F}_S = \vec{J}S/c$ , дополнительная к силе Лоренца, порождена скалярным полем  $S$ , направлена вдоль скорости движения плотности  $\rho$  (продольная сила). Эта сила отсутствует в уравнениях движения электродинамики Максвелла-Лоренца и была нами впервые получена ранее, исходя из метрики (8.71), которая описывает поле переменного во времени заряда (системы зарядов). Остальные дополнительные члены в (8.86) имеют нелинейный характер по электромагнитному полю, описывающая взаимодействие скалярного поля  $S$  с векторными полями  $\vec{E}$  и  $\vec{H}$ , а также самодействие поля  $S$ . Весь этот разнообразный арсенал дополнительных сил в уравнениях движения вполне может претендовать на объяснение аномального поведения электродинамических нерелятивистских систем, наблюдаемых в экспериментах Н. Тесла [80-66] и других многочисленных исследователей [7-13, 17, 18, 80-91]. В этих экспериментах наблюдались отклонения от законов как классической, так и квантовой электродинамики. В экспериментах исследовалось поведение системы распределенных в пространстве и времени системы зарядов с нерелятивистским потенциалом  $\varphi(\vec{x}, t) = -Q(\vec{x}, t)/r$ , при этом экспериментальное наблюдение полей (8.85) происходило в системах с большим потенциалом  $\varphi(\vec{x}, t)$ , который быстро меняется с течением времени. Именно такие процессы наблюдали Н. Тесла и его последователи [в экспериментах с заряженной сферой, на которую от генератора подается высоковольтный потенциал  $\varphi(\vec{x}, t)$  с большой частотой]. С другой стороны, «магнитное» скалярное поле (8.87) может существовать независимо от «электромагнитного» скалярного поля (8.86) и действительно наблюдается в сильных магнитных системах с большой пространственной неоднородностью векторного потенциала  $\vec{A}(\vec{x}, t)$  (например, эффект Аронова-Бома).



## Заключение

В настоящее время все большее число здравомыслящих физиков приходят к выводу, что *современная теоретическая физика находится в глубоком кризисе*. Наука физика дошла до такого состояния по нескольким причинам. Я назову четыре основных причины, которые отмечены не только мной, но и другими исследователями:

1. Игнорирование заветов «пророка» физики А. Эйнштейна и отсутствие в современной физике «пророков» уровня А. Эйнштейна. Переизбыток на ключевых позициях в современной науке ученых с мышлением «ремесленника» (Ли Смолин [93]).
2. Современные физики-теоретики упустили из вида («прозевали») что-то очень важное для понимания и дальнейшего развития теоретической физики (Рожер Пенроуз [94]).
3. Преимущественное развитие теоретической физики по «горизонтали» после революции в физике в начале 20 го века, при этом с середины 20 го века начали сказываться последствия забвения первых двух пунктов, необходимых для развития физики по «вертикали». В результате в обществе появились основания не доверять широко разрекламированным в науке результатам, полученным в Стандартной модели и в теории струн (Сабина Хоссенфельд [95]).
4. Полное игнорирование экспериментов «на столе» (например, экспериментов Н. Тесла), которые не описываются уравнениями Стандартной модели или теории струн и противоречат современной научной парадигме (Геннадий Шипов [20,27, 29,30, 96]).

В настоящей работе было представлено решение первой и второй проблем Эйнштейна, а именно, геометризация уравнений электродинамики (см. раздел 8 – «Вакуумная электродинамика») и геометризация квантовой механики (см. раздел 7 – «Решение второй проблемы Эйнштейна») в соответствии с идеями и мечами А. Эйнштейна. В окончательном виде, решения первой и второй проблем Эйнштейна привели к созданию теории Физического Вакуума [6-8]. Результаты этой теории, опубликованы в многочисленных работах [1-31,53,61,66,69,70,73,74] и доложены на международных конференциях в Южной Корее, Германии, Бельгии, Америки и других зарубежных странах [98,99].

Начиная со времен Л. Эйлера (примерно 250 лет назад) физики «упустили из вида» неголомные вращательные координаты (углы Эйлера)

$$\varphi = \angle \vec{e}_1 \vec{e}_\xi, \quad \theta = \angle \vec{e}_3 \vec{e}'_3, \quad \psi = \angle \vec{e}_\xi \vec{e}',$$
$$0 \leq \varphi \leq 2\pi, \quad 0 \leq \theta \leq \pi, \quad 0 \leq \psi \leq 2\pi$$

как элементы пространства событий, на котором задан бесконечно малый поворот Эйлера [97]

$$d\vec{\chi} = d\chi \vec{e}_\chi = \vec{e}_3 d\varphi + \vec{e}_\xi d\theta + \vec{e}'_3 d\psi$$

и на котором действует динамическая группа вращений  $O(3)$ . Со временем, это «упущение» привело к тому, что физика 250 лет развивалась как теория *трансляционной относительности* и ее фундаментальные уравнения формулировались ковариантными относительно трансляционных координат  $x, y, z, ct$ , при этом была *полностью игнорирована*

*вращательная относительность уравнений*, подразумевающая ковариантность уравнений физики относительно неголономных вращательных координат (в четырехмерном пространстве  $x, y, z, ct$  существует 6 неголономных вращательных координат: три пространственных угла  $\varphi_1, \varphi_2, \varphi_3$  и три пространственно-временных угла  $\theta_1, \theta_2, \theta_3$ ). Это и есть то важное, что, как предполагал Р. Пенроуз, «прозевали» физики. В результате этого «зевка» физики «не заметили» существование в природе третьего (после гравитационного и электромагнитного) фундаментального физического поля – поля инерции [27], которое дано каждому из нас в повседневных ощущениях. Более того, как было показано в работах автора [9-31] и в данной работе, существует квантовая механика, в которой геометризованные уравнения Шредингера, Дирака и т.д. описывает простейшую динамику реального физического поля – поля инерции. Волновая функция  $\psi$  в этих уравнениях представляет собой поле инерции, нормированное на единицу, и аналитически описывается кручением пространства абсолютного параллелизма  $A_4(6)$ . Этот результат согласуется с идеями А. Эйнштейна относительно релятивистской природы квантовых явлений, порожденных в физике вращательной относительностью [3,9,10,13,26].

Открытие поля инерции и установленная связь этого фундаментального поля с волновой функцией  $\psi$  квантовой теории материи представляет собой результат мирового уровня и, безусловно, нуждается в поддержке научного сообщества России. Принимать эти работы или продолжать умалчивать полученные результаты научным сообществом России – решать не мне, а тем, кто отвечает в России за науку и политику. Так что, господа, выбор за Вами.

## Литература

1. *Шунов Г.И.*// Проблемы теории элементарных взаимодействий. Часть I. Элементарные частицы как инерционы. М., МГУ, Химфак, 1979, с. 144.
2. *Шунов Г.И.*// Квантовая механика, о которой мечтал Эйнштейн, следует из теории Физического Вакуума. М., МНТЦ ВЕНТ, 1992, с. 63.
3. *Шунов Г.И.*// Торсионная природа квантовой механики // «Академия Тринитаризма», М., Эл № 77-6567, публ.15902, 02.05.2010.  
<http://www.trinitas.ru/rus/doc/0231/003a/1021-sh.pdf>
4. *Шунов Г.И.* // Программа Всеобщей относительности и теория Физического Вакуума. ВИНТИ, № 6948-B88, Москва, 1988, сс. 1-131.
5. *Шунов Г.И.* // Математические основы калибровочной модели Физического Вакуума. ВИНТИ, № 5326-B87, Москва, 1987, сс. 1-159.
6. *Шунов Г.И.*// Теория физического вакуума. М.: Н-Т Центр, 1993. 362~с.
7. *Шунов Г.И.*// Теория физического вакуума, теория эксперименты и технологии, М., Наука, 1997. с.450
8. *Shipov G.* // A theory of Physical Vacuum, М.: ST-Center, 1998. P. 312.
9. *Шунов Г.И.*// Всеобщая относительность и квантовая механика // «Академия Тринитаризма», М., Эл № 77-6567, публ.12464, 29.09.2005.  
<http://www.trinitas.ru/rus/doc/0231/003a/02310011.pdf>
10. *Шунов Г.И.*// Связь между инерцией и квантовой теорией в механике Декарта // «Академия Тринитаризма», М., Эл № 77-6567, публ.14047, 01.12.2006.  
<http://www.trinitas.ru/rus/doc/0231/003a/1016-shipov.pdf>

11. *Шунов Г.И.*// Физический вакуум, торсионные поля, квантовая механика и эксперименты Н. Тесла // «Академия Тринитаризма», М., Эл № 77-6567, публ.15740, 07.01.2010. <http://www.trinitas.ru/rus/doc/0231/008a/1081-sh.pdf>
12. *Шунов Г.И.*// Об экспериментальном измерении волновой функции квантовой механики // «Академия Тринитаризма», М., Эл № 77-6567, публ.15879, 10.04.2010. <http://www.trinitas.ru/rus/doc/0016/001c/1635-sh.pdf>
13. *Шунов Г.И.*// Квантовая механика как динамика полевых гироскопов // «Академия Тринитаризма», М., Эл № 77-6567, публ.16483, 13.04.2011. <http://www.trinitas.ru/rus/doc/0231/008a/1087-sh.pdf>
14. *Шунов Г.*// Электродинамика Тесла в теории физического вакуума // «Академия Тринитаризма», М., Эл № 77-6567, публ.16470, 05.04.2011. <http://www.trinitas.ru/rus/doc/0231/008a/1086-shp.pdf>
15. *Шунов Г.И.*// Квантовая механика в Теории Физического Вакуума // «Академия Тринитаризма», М., Эл № 77-6567, публ.17352, 10.03.2012. <http://www.trinitas.ru/rus/doc/0231/003a/1024-shp.pdf>
16. *Шунов Г.И., Подаровская М.И.* // Спин-торсионная формулировка квантовой механики и поля инерции // «Академия Тринитаризма», М., Эл № 77-6567, публ.17418, 14.04.2012. <http://www.trinitas.ru/rus/doc/0231/008a/1110-sh.pdf>
17. *Шунов Г.И.*// Программа Всеобщей относительности и Теория Физического Вакуума. 25 лет спустя // «Академия Тринитаризма», М., Эл № 77-6567, публ.18170, 02.09.2013. <http://www.trinitas.ru/rus/doc/0231/003a/1030-shp.pdf>
18. *Шунов Г.И., Подаровская М.И.* // О Спин - Торсионных Полях в Уравнениях Дирака-Такабаяши // «Академия Тринитаризма», М., Эл № 77-6567, публ.18245, 11.10.2013. <http://www.trinitas.ru/rus/doc/0231/003a/1032-sp.pdf>
19. *Шунов Г.И.*// Уравнения движения спина и торсионные поля // «Академия Тринитаризма», М., Эл № 77-6567, публ.18265, 19.10.2013. <http://www.trinitas.ru/rus/doc/0231/003a/1033-shp.pdf>
20. *Шунов Г.И.*// О зависимости массы от угловой скорости в классической механике // «Академия Тринитаризма», М., Эл № 77-6567, публ.18361, 10.12.2013. <http://www.trinitas.ru/rus/doc/0231/008a/1122-shp.pdf>
21. *Шунов Г.И.*// Застой в теоретической физике и пути выхода из него. Квантовая механика // «Академия Тринитаризма», М., Эл № 77-6567, публ.19717, 01.11.2014. <http://www.trinitas.ru/rus/doc/0231/008a/1131-shp.pdf>
22. *Шунов Г.И.*// Эфир Тесла, вакуум Эйнштейна и теория физического вакуума // «Академия Тринитаризма», М., Эл № 77-6567, публ.20635, 25.05.2015. <http://www.trinitas.ru/rus/doc/0231/008a/1137-shp.pdf>
23. *Шунов Г.И.*// Физико-математические основы теории физического вакуума и торсионных полей // «Академия Тринитаризма», М., Эл № 77-6567, публ.21349, 27.10.2015. <http://www.trinitas.ru/rus/doc/0231/008a/1140-shp.pdf>
24. *Шунов Г.И.*// . Вакуумная энергия и торсионные поля // «Академия Тринитаризма», М., Эл № 77-6567, публ.21942, 30.03.2016. <http://www.trinitas.ru/rus/doc/0231/008a/1142-shp.pdf>
25. *Шунов Г.И.*// . Вакуумная механика и поля инерции // «Академия Тринитаризма», М., Эл № 77-6567, публ.22131, 27.05.2016. <http://www.trinitas.ru/rus/doc/0231/008a/1144-shp.pdf>
26. *Шунов Г.И.*// Вращение материи как источник квантования в природе // «Академия Тринитаризма», М., Эл № 77-6567, публ.23330, 04.05.2017. <http://www.trinitas.ru/rus/doc/0231/003a/1036-shp.pdf>
27. *Шунов Г.И.*// Открытие в России поля инерции и сумма торсионных технологий // «Академия Тринитаризма», М., Эл № 77-6567, публ.24354, 18.03.2018. <http://www.trinitas.ru/rus/doc/0231/008a/1158-shp.pdf>

28. *Шунов Г.И.* // О 50 летней работе в фундаментальной физике // «Академия Тринитаризма», М., Эл № 77-6567, публ.24760, 08.09.2018.  
<http://www.trinitas.ru/rus/doc/0231/008a/1160-shp.pdf>
29. *Шунов Г.И., Подаровская М.И.* // Поля и силы инерции в механике и гравитинамике // «Академия Тринитаризма», М., Эл № 77-6567, публ.26384, 11.05.2020.  
<http://www.trinitas.ru/rus/doc/0231/003a/1038-shpd.pdf>
30. *Шунов Г.И., Подаровская М.И.* // Электродинамика больших ускорений и переменных зарядов // «Академия Тринитаризма», М., Эл № 77-6567, публ.26439, 01.06.2020. <http://www.trinitas.ru/rus/doc/0231/008b/1171-shpp.pdf>
31. *Шунов Г.И.* // Физический Вакуум - парадигма науки XXI века // «Академия Тринитаризма», М., Эл № 77-6567, публ.26851, 25.12.2020.  
<http://www.trinitas.ru/rus/doc/0231/008b/1172-shp.pdf>
32. *Дирак П.* // Пути физики. М.: Энергаториздат, 1983.
33. *Эйнштейн А.* // Собр. науч. тр. М.: Наука, 1966. Т. 3, с. 617-622.
34. *Ландау Л.Д., Лифшиц Е.М.* // Теория поля. М.: Наука, 1973.
35. *Блохинцев Д.И.* // Основы квантовой механики, Высшая школа, М.: 1963.
36. *Schrödinger E.* // Naturwissenschaften. 1926. Jg. 14, № 28. S. 664-666.
37. *Madelung E.* // Quantum Theory in Hydrodynamic Form, Z. Physik, **40** (1926), p.p. 332 - 336.
38. *Barnett S.J.* // Science, **30**, 413, 1909, **42**, 163, 459, 1915.
39. *Procopiu S.* // Sur les éléments d'énergie Annales scientifiques de l'Université de Jassy. (1911-1913). Т. 7. С. 280.
40. *Einstein A., De Haas W.J.* // Verh. Deutsch. Phys. Ges. **17**, 152, (1915).
41. *Gerlach W., Stern O.* // Das magnetische Moment des Silberatoms. Zeit. Fur Phys. **9**. (1922), p. 352-355.
42. *Uhlenbeck G.E., Goudsmit S.* // Spinning Electrons and Structure of Spectra, Nature **177** № 2988 (1925), p. 264-265.
43. *Пенроуз Р., Риндлер В.* // Спиноры и пространство-время. Т.1. М.: Мир, 1987.
44. *Takabayasi T.* // Progr. Theor. Phys. 1955. Vol. 14. № 4. P.283.
45. *Takabayasi T., Vigier J.P.* // Progr. Theor. Phys. 1957. Vol. 18. № 6. P.573.
46. *Takabayasi T.* // Progr. Theor. Phys. 1983. Vol. 69. № 5. P.1323.
47. *Takabayasi T.* // Progr. Theor. Phys. 1983. Vol. 70. № 1. P.1.
48. *Takabayasi T.* // Progr. Theor. Phys. 1981. Vol. 66. № 2. P.736.
49. *Bloch F.* // Physics Review. 1946, **70**, P. 460-473.
50. *Альфорт Л.* // Преобразования Мебиуса в многомерном пространстве. М.: Мир, 1986.
51. *Fock V., Iwanenko D.* // Géometrie quantique linéaire et déplacement parallèle, Compt. Rend. Acad Sci. Paris, v.188, p.1470-1472, 1929.
52. *Newman E., Penrose R.* // J. Math. Phys. 1962. Vol. 3, \No 3. P.566 -587.
53. *Шунов Г.И.* // Уравнения поля тетрад в пространстве абсолютного параллелизма. Известия вузов, Физика, 1976, № 6, с. 132.
54. *Heisenberg W.* // Rev. Mod. Phys. 1957. Vol. 29. P. 269.
55. *Duerr H.P., Heisenberg W., Mitter H., et al.* // Ztschr. Naturforsch. A. 1959. Bd. 14. S. 441.
56. *Carmeli M.* // J. Math. Phys. 1970. Vol.2. P.27-28.
57. *Carmeli M.* // Lett. nuovo cim. 1970. Vol.4. P.40-46.
58. *Carmeli M.* // Phys. Rev. D. 1972. Vol.5. P.5-8.
59. *Carmeli M.* // Classical Fields. General Relativity and Gauge Theory. World Scientific Publish. 2001. P. 650.

60. *Carmeli M.* // Group Theory and General Relativity. World Scientific Publish. 2000. P. 391.
61. *Шупов Г.И.* // Поля Янга-Миллса в геометрической модели Вакуума. Труды 6 Всесоюзной конференции по общей теории относительности и гравитации, Москва, Изд-во МГПИ им. Ленина, 1984, с.333. (*Впервые предложены уравнения физического вакуума*).
62. *Schwarzschild K.* // Sitzungsber. Preuss. Akad. Wiss., 1916, Bd. 189. S. 195.
63. *De Sitter W.* // Proceedings of Nederlandse Akademie van Wetenschappen (1917) **19** 1217-1225.
64. *Vaidya P.* // Tensor. 1972. Vol. 24. P. 1.
65. *Kerr R.P., Schild A.* // Atti del Covegno sulla Relativita Generale. G. Barbera (Hrsg.). Firenze, 1965, p. 173.
66. *Шупов Г.И.* // Физический вакуум, торсионные поля, квантовая механика и эксперименты Н. Тесла, «Академия Тринитаризма», М., Эл № 77-6567, публ.15740, 07.01.2010, <http://www.trinitas.ru/rus/doc/0231/008a/1081-sh.pdf> .
67. *Шупов Г.И.* // О решении второй проблемы Эйнштейна. М.: Кириллица, 2007, с.59.
68. *Уилер Дж.* // Гравитация нейтрино и Вселенная. ИЛ, 1962, 153 с.
69. *Шупов Г.И.* // Общерелятивистские нелинейные спинорные уравнения. Известия вузов, Физика, 1977, № 3, с. 121.
70. *Шупов Г.И.* // Теория гравитации в пространстве абсолютного параллелизма. Известия вузов, Физика, 1977, № 6, с. 142.
71. *Боголюбов Н.Н., Ширков Д.В.* // Введение в теорию квантовых полей. М.: Наука, 1976. С. 29.
72. *Маделунг Э.* // Математический аппарат физики, М., Наука, 1961, с.618.
73. *Шупов Г.И.* // Застой в теоретической физике и пути выхода из него. Классическая электродинамика // «Академия Тринитаризма», М., Эл № 77-6567, публ.18636, 09.03.2014, <http://www.trinitas.ru/rus/doc/0231/008a/1125-shp.pdf>
74. *Шупов Г.И.* // Общерелятивистская нелинейная электродинамика с тензорным потенциалом. Известия вузов, Физика, 1972, № 10, с. 98- 102.
75. *Фок В.А.* // Теория пространства, времени и тяготения. М., ГИТТЛ, 1955, сс. 238-241, 245-251, 295-297.
76. *Рашевский П.К.* // Риманова геометрия и тензорный анализ. 1964. М.: Наука, с. 664.
77. *Пуанкаре А.* // В сб. статей «Принцип относительности». М.: Атомиздат. 1973, сс.90-97.
78. *Einstein A.* // Ann. Phys. 1905. Vol. 17. P.891.
79. *Ландау Л.Д., Лифшиц Е.М.* // Теория поля. Т.2. М.: Наука, 1988.
80. *Tesla N.* // Coil for electro-magnets, United States Patent 512,340, January 9 1894.
81. *Tesla N.* // Apparatus for producing electric currents of high frequency and potential, United States Patent 568,176, September 22 1896.
82. *Tesla N.* // The one-wire transmission system. U.S. Patent 0,593,138, "Electrical Transformer" 1897.
83. *Tesla N.* // Means for increasing the intensity of electrical oscillations, United States Patent 685,012, October 22 1901.

84. *Tesla N.* // Method of intensifying and utilising effects transmitted through natural media, United States Patent 685,953, November 5 1905.
85. *Tesla N.* "The True Wireless". Electrical Experimenter (May 1919).
86. *Tesla N.* // "World System of Wirelsss Trasmission of Energy", Telegraph and Telephon Age, Oct. 16, 1927, p. 457.
87. *Николаев Г.В.*// Тайны электромагнетизма. Томск. 2001.С.77.
88. *Заев Н.Е., Авраменко С. В., Лусин В.Н.* // Измерение тока проводимости, возбуждаемого поляризационным током // Журнал «ЖРФМ», 1991, № 2, стр. 68 – 81.
89. *Стребков Д.С.* // Резонансные методы передачи и применения электрической энергии. – М.: ГНУ ВИЭСХ, 2008 – 352с.
90. *Monstein C., Wesley J.P.*// Europhys. Lett., 59 (4), pp. 514-520 (2002).
91. *Henriksson M. and all.*// Laser guiding of Tesla coil high voltage discharges. OPTICS EXPRESS, 2012 / Vol. 20, No. 12.
92. *Ампер А.М.* Электродинамика. - М.: АН СССР, 1954.
93. *Смолин Л.* // Неприятности с физикой: взлет теории струн, упадок науки и что за этим следует. Бостон, 2006, 1955 с. (См. перевод с английского на русский на сайте <http://www.rodon.org/sl/nsfvtsunichzes/>).
94. *Пенроуз Р.* // Путь к Реальности. Из-во: Институт компьютерных исследований, НИЦ "Регулярная и хаотическая динамика" 2007 г., *Penrose R.* // The Road to Reality. Alfred F. Knopf - New York, 2005. P.1099.
95. *Hossenfelder S.* //Science needs reason to be truste. Nature Physics. (2017), **13**, pp 316–31.   
*Хоссенфельдер С.*// У народа есть все основания не доверять науке. Nature Physics. (2017), **13**, pp 316–31, 5 апреля.
96. *Шипов Г.И.* // Теоретические и экспериментальные предпосылки для смены научной парадигмы // «Академия Тринитаризма», М., Эл № 77-6567, публ.12844, 20.01.2006. <http://www.trinitas.ru/rus/doc/0231/003a/02310014.pdf>
97. *Ольховский И.И.*// *Курс теоретической механики для физиков.* М.: Наука, 1970. с. 359.
98. *Шипов Г.И.* // О международных конференциях в Южной Корее, посвященных новой научной парадигме // «Академия Тринитаризма», М., Эл № 77-6567, публ.26210, 17.03.2020 . <http://www.trinitas.ru/rus/doc/0231/008b/02311169.htm>
99. *Shipov G.* // Decartes' Mechanics – Fourth Generalization of Newton's Mechanics. In "7th Intern. Conference Computing Anticipatory Systems " ~ НЕС - ULg, Liege, Belgium, 2005, ISSN 1373-5411 ISBN 2-930396-05-9 P. 178 .